

بِسْمِ اللّٰهِ الرَّحْمٰنِ الرَّحِيْمِ

عَلَى شِرَاعِي



موسسه آموزش عالی انرژی

دانشکده فنی و مهندسی

پایان نامه دوره کارشناسی ارشد

مهندسی مکانیک - تبدیل انرژی

عنوان:

بررسی راهکارهای عملی بهینه سازی حرکت پیگ در لوله حاوی سیال به منظور عدم توقف آن در سه راهی قبل از ورود به قله دریافت

استاد راهنما:

دکتر احمد قریب گرانی - دکتر حسین تمیم

استاد مشاور:

دکتر حیدر مداح

پژوهشگر:

فاضل قمری

زمستان ۱۳۹۶

	تاریخ صورتجلسه گروه آموزشی	با اسمه تعالی
	شماره دانشجویی	
	کد دفاع	این فرم باید توسط دانشجو تایپ شده به تعداد خواسته شده، در روز دفاع تحويل داده شود.
	تاریخ صورتجلسه شورای پژوهشی	صورتجلسه دفاع

فاضل قمری		با تأییدات خداوند متعال جلسه دفاع از پایان نامه کارشناسی ارشد خانم / آقای
		تحت عنوان:
		مهندسی مکانیک - تبدیل انرژی
با حضور استاد راهنمای، استاد (استادان) مشاور و هیأت داوران در مؤسسه آموزش عالی انرژی ساوه در تاریخ		در رشته:
تشکیل گردید.		
در این جلسه، پایان نامه: <input type="checkbox"/> با موفقیت مورد دفاع قرار گرفت <input type="checkbox"/> نیازمند اصلاحات است <input type="checkbox"/> مردود اعلام گردید.		
(بدون احتساب نمره مقاله) دریافت نمود.	با امتیاز	نامبرده نمره

محل امضا	دکتر احمد قریب گرانی	نام و نام خانوادگی استاد راهنمای
محل امضا	دکتر حسین تمیم	نام و نام خانوادگی استاد مشاور
محل امضاء	دکتر حیدر مداد	نام و نام خانوادگی استاد مشاور
محل امضاء ۲	محل امضاء ۱	هیأت داوران: -۱ -۲
معاون پژوهشی و فناوری مؤسسه آموزش عالی انرژی ساوه	مدیر گروه یا رئیس تحصیلات تکمیلی واحد: دکتر یوسف یاسی نام و نام خانوادگی محل امضاء	***** (اطلاعات این قسمت حتماً توسط کارشناس پژوهشی تکمیل گردد)

***** (اطلاعات این قسمت حتماً توسط کارشناس پژوهشی تکمیل گردد)

نمره حاصل از ارزشیابی مقاله / مقالات دانشجو برابر ضوابط (از سقف آنمره) محاسبه و نمره نهایی پایان نامه (مجموع نمره دفاع و مقاله)
) به عدد به حروف به تصویب رسید. / موارد اصلاحیه جهت اجرا به اطلاع دانشجو رسید.

تأیید معاون پژوهشی و فناوری مؤسسه

تأیید کارشناس حوزه پژوهشی

آموزش عالی انرژی ساوه



حوزهٔ معاونت آموزشی و تحصیلات تکمیلی موسسه آموزش عالی انرژی

تعهدنامه اصالت پایان‌نامه

اینجانب فاضل قمری دانش آموخته مقطع کارشناسی ارشد ناپیوسته در رشته مکانیک که در تاریخ پایان نامه خواه عنوان بررسی راهکارهای عملی بهینه سازی حرکت پیگ در لوله حاوی سیال به منظور عدم توقف آن در سه راهی قبل ازورود به تله دریافت) با کسب نمره و درجه دفاع نموده ام بدین وسیله اعتراف می‌کنم:

- (۱) این پایان‌نامه حاصل تحقیق و پژوهش اینجانب بوده و در مواردی که از دستاوردهای علمی و پژوهشی دیگران (اعم از پایان‌نامه، کتاب، مقاله و) استفاده کرده‌ام، مطابق ضوابط موجود، نام منبع مورد استفاده و سایر مشخصات آن را در فهرست منابع ذکر و درج نموده‌ام.
- (۲) این پایان‌نامه قبل از دریافت هیچ مدرک تحصیلی (هم سطح، پایین‌تر یا بالاتر) در سایر دانشگاه‌ها و مؤسسات آموزش عالی داخلی و خارجی ارائه نشده‌است.

ضمناً متعهد می‌شوم:

- (۳) چنانچه بعد از فراغت از تحصیل، قصد استفاده و هر گونه بهره‌برداری اعم از چاپ مقاله، کتاب، ثبت اختراع و ... از این پایان‌نامه را داشته باشم، از استاد محترم راهنما و گروه آموزشی مربوطه مجوزهای لازم را اخذ نمایم.
- (۴) چنانچه در هر مقطع زمانی خلاف موارد فوق ثابت شود، عواقب ناشی از آن را بپذیرم و موسسه آموزش عالی انرژی مجاز است با اینجانب مطابق ضوابط و مقررات رفتار نموده و در صورت ابطال مدرک تحصیلی‌ام، هیچ‌گونه ادعایی نخواهم داشت.

نام و نام خانوادگی: فاضل قمری
تاریخ و امضاء:

سپاس و قدردانی

اکنون که با استعانت از دگاه احادیث، تحقیق و تکارش این پایان نامه به اتمام رسیده؛ بر خودمی دانم که به رسم ادب از زحمات جناب آقایان دکترا حمید قریب کرکانی، دکترا یوسف یاسی، دکترا حسین تمیم و دکترا حیدر ملاح که در کمال سعد صدروبا حسن خلق و فروتنی، از بیچ لطف در این عرصه بر بندۀ دروغ ننمودند و زحمت راهنمایی و مشاوره این رساله را بر عده کردند که فتنه‌ها صیغه‌انداز شکر کنند.

تعددیم به ۰۰۰

✓ همسر عزیزم که در خلق این اثیریار و یاورم بود و با فراموش کردن محیطی همراه با آرامش، گاک بزرگی در این محیم ایفا نمود.

✓ اساتید بزرگوارم دکتر احمد قریب کرکانی، دکتر یوسف یاسی، دکتر حسین تمیم و دکتر جیدر ملاح که باید آوری مکات لازم دهند پر بار ترشدن این پیمان نامه نقشی بر جسته داشتهند.

✓ همه دانشجویان عاشق علم و دانش و عرصه نفت و گاز.

چکیده

پیگ رانی ضامن دوام و افزایش بازده و طول عمر خطوط لوله ، تأمین کننده اینمی جوامع و صنایع همچو راه حفاظت محیط زیست در این زنجیره انتقال متناسب با نوع فرآورده ارسالی به طور دوره ای همراه با زمان بندی می باشد.

((گیر کردن پیگ)) متأسفانه برخلاف مزایای مورد اشاره، چالشی عمدہ و مؤلفه توقف کامل جریان و نیز منشاء سربار کردن هزینه های زیاد و غیر قابل قبول به مجموعه است و با دستیابی به نتایج عملیاتی و علمی، احتمال وقوع آن به صفر می رسد.

در این پژوهش اطلاعات میدانی حادثه گیر کردن پیگ پس از جمع آوری در نرم افزار انسیس فلوینت مورد واکاوی قرار گرفت و در ادامه خروجی نرم افزار با شرائط حاکم براساس اصل ((حفظ مراحل استاندارد پیگ رانی)) در چارچوب مکانیکال همپوشانی شد و در نهایت برآیندهای واپسین منجر به ارایه نوآوری هایی به طور کامل مکانیکال و نیز دستیابی به سرعت و دبی بهینه گردید.

خروچی نرم افزار طی سه مرحله مورد بررسی قرار گرفت و شرایط ده درصدی باز بودن شیر سمت منی فولد به عنوان راهکار نخست معرفی شد. سپس با طرح صدرصد مکانیکی ((مسیر جایگزین)) با هدف حفظ شرایط استاندارد پیگ رانی و تقسیم نیرو در پشت کاپ جلویی پیگ، معادل سازی گردید. در پایان با توجه به دبی و سرعت واقعی در شرائط قبل و لحظه گیر کردن آن، راه حلی محاسباتی برای دبی و سرعت بهینه پیشنهاد شد.

کاربست لوله های هدایت کننده خط جریان در سیلندر پیگ می تواند به عنوان راهکاری برای تقویت نیروی رانش در پشت کاپ جلویی و رفع توقف بررسی گردد.

کاربست لایه پوششی نانو در سطحی از کاپ که با دیواره در تماس است می تواند پدیده سایش را در این فصل مشترک به طور قابل ملاحظه ای کاهش داده و از توقف پیگ دراثر و قوع اصطکاک سایشی جلوگیری نماید.

واژه های کلیدی:

پیگ رانی، سه راهه، دینامیک حرکت پیگ، گیر کردن پیگ، سیال، دریافت کننده، ارسال کننده

فهرست مطالب

عنوان		صفحه
مقدمه	۱	۱
فصل اول : کلیات		
۱-۱ بیان مسأله	۱	۵
۱-۱-۱ آشنایی با محل وقوع حادثه	۱	۵
۱-۱-۲ ابعاد پیگ در زمان وقوع حادثه و درحال نرمال (بدون سایش کاپ)	۱	۵
۱-۱-۳ حالت کلی تله ورودی	۱	۷
۱-۱-۴ ابعاد واقعی تله ورودی	۱	۸
۱-۱-۵ فرایند پیگرانی درحال کلی	۱	۹
۱-۱-۵-۱ فرایند ارسال	۱	۹
۱-۱-۵-۲ فرایند دریافت	۱	۹
۱-۱-۶ فرایند های مختلف دریافت پیگ در فشار شکن (محل وقوع حادثه)	۱	۱۰
۱-۱-۷ آشنایی با نرم افزار تحلیل انسیس فلوئنت	۱	۱۱
۱-۱-۸ مقدار فشار ورودی و خروجی و دبی در لحظه وقوع حادثه	۱	۱۴
۱-۲ فرایند پیگرانی	۱	۱۵
۱-۲-۱ مزایا	۱	۱۵
۱-۲-۲ نکات پیگرانی	۱	۱۵
۱-۲-۳ اهداف اصلی پیگرانی	۱	۱۵
۱-۲-۴ نکات طراحی تله های ارسال و دریافت	۱	۱۵
۱-۲-۵ روابط مربوط به اتصالات تله های اسکریپر(گیرنده و فرستنده)	۱	۱۷
۱-۲-۵-۱ گیرنده	۱	۱۷
۱-۲-۵-۲ فرستنده	۱	۱۷
۱-۲-۵-۳ تله گیرنده	۱	۱۷
۱-۲-۵-۴ تله فرستنده	۱	۱۷
۱-۲-۶ نمونه لوله کشی یک منی فولد با تله دریافت و ارسال	۱	۱۸
۱-۲-۷ تحقیق	۱	۱۸
۱-۷-۲-۱ بیان مسأله	۱	۱۸

۱۸	۲-۷-۲-۱	تاریخچه ای از موضوع تحقیق
۱۸	۳-۷-۲-۱	تعريف موضوع تحقیق
۱۹	۱-۸-۲-۱	بررسی مکانیکال و تحلیل نرم افزاری حادثه همراه با بهینه سازی نتایج
۱۹	۲-۸-۲-۱	نواوری، اهمیت و ارزش تحقیق
۱۹	۹-۲-۱	تعریف واژه ها
۱۹	۱-۹-۲-۱	پیگ
۱۹	۲-۹-۲-۱	پیگ جداسازی
۱۹	۳-۹-۲-۱	پیگ تمیزکاری
۲۰	۴-۹-۲-۱	تله
۲۰	۵-۹-۲-۱	دربافت کننده
۲۰	۶-۹-۲-۱	ارسال کننده

فصل دوم : آشنایی با پیگ و پیگرانی

۲۲	۱-۲	آشنایی با پیگ
۲۲	۱-۲	تعريف
۲۲	۲-۱-۲	سازوکار
۲۲	۳-۱-۲	ساختار
۲۳	۱-۳-۱-۲	مزایای بدنی
۲۳	۱-۴	طبقه بندی
۲۳	۱-۴-۱-۲	بر اساس ساختمان
۲۴	۱-۴-۲-۱-۲	بر اساس عملکرد
۲۴	۱-۲-۴-۱-۲	پیگ های مطلوب (عمومی)
۲۴	۱-۲-۴-۱-۲	أ. پیگ های تمیز کننده (خراشنده ها)
۲۵	۱-۲-۴-۱-۲	ب. پیگ های آب بندی (جدا کننده یا لوله پاک کن)
۲۶	۱-۲-۴-۱-۲	پیگ های بازیاب یا هوشمند
۲۶	۱-۲-۴-۱-۲	پیگ های خاص یا استثنایی
۲۶	۱-۲-۴-۱-۲	پیگ های نشت یاب
۲۶	۱-۲-۴-۱-۲	پیگ های دیگر

۲۶	براساس سیر تکاملی ۳-۴-۱-۲
۲۶	۱-۴-۳-۱ از نگاه تولید ۲-۱-۲
۲۶	ا. نسل اول ۱-۲
۲۷	ب. نسل دوم ۲
۲۷	ج. نسل سوم ۲
۲۷	د. نسل چهارم (هوشمند) ۲
۲۷	۲-۳-۴-۱ از نگاه کلی ۲
۲۷	آ. به لحاظ جهت حرکت ۲
۲۷	ب. به لحاظ مکانیک حرکت (با حرکت آرام خزیدن) ۲
۲۷	۴-۱-۲ تناسب پیگ با نوع ماده جابجا شده ۲
۲۸	۵-۱-۲ مزايا ۲
۲۸	۶-۱-۲ کاربرد ۲
۲۸	۷-۱-۲ قابلیت های هم زمان پیگ های چند منظوره بجای پیگ های هوشمند ۲
۲۸	۸-۱-۲ شرائط عبور پیگ از لوله ای با قطر کم ۲
۲۸	۲-۲ پیگ رانی ۲
۲۹	۱-۲-۲ تعریف ۲
۲۹	۲-۲-۲ سازوکار ۲
۲۹	۳-۲-۲ اهداف ۲
۳۰	۲-۲-۲ نتایج عدم انجام پیگ رانی (عدم پشتیبانی و حمایت خط لوله) ۲
۳۰	۲-۲-۲ نتایج تکرار زیاد فرایند پیگ رانی ۲
۳۰	۲-۲-۲ عدم توانایی انجام فرایند پیگ رانی ۲
۳۰	۷-۲-۲ تحلیل کاهش راندمان جریان نفت خام به دلیل فرایند پیگ رانی ۲
۳۱	۲-۲-۲ انکات منی فولد پیگ رانی ۲
۳۱	۹-۲-۲ ایده (تله بلندتر با قطر لوله کمتر) ۲
۳۱	۱۰-۲-۲ افاضله مناسب برای ارسال و دریافت پیگ ۲
۳۱	۱۱-۲-۲ مقررات ایمنی در فرایند پیگ رانی ۲
۳۱	۱۱-۲-۲-۱ منابع اصلی خطر ۲
۳۲	۱۱-۲-۲-۲ خاموش کننده ۲

فصل سوم : مباحث تخصصی پیگرانی

۳-۱-۳ دینامیک حرکت پیگ ۳۴
۳-۱-۳-۱ تحلیل سازوکار حرکت پیگ ۳۴
۳-۱-۳-۲ آیا حرکت پیگ وابسته به فشار است؟ ۳۵
۳-۱-۳-۳ سرعت پیگ ۳۶
۳-۱-۳-۱-۳ دلایل اهمیت کنترل سرعت ۳۶
۳-۱-۳-۲-۳ روش کنترل سرعت ۳۶
۳-۱-۳-۴ نیروی رانش ۳۶
۳-۱-۳-۵ محاسبه زمان پیمودن مسافت بین دو پیگ سیگنال به وسیله پیگ ۳۷
۳-۱-۳-۶ محاسبه مدت زمان پیمودن مسافت بین دو مرکز به وسیله پیگ ۳۸
۳-۱-۳-۷ بررسی حرکت پیگ در شعاع D_5 و D_7 ۳۸
۳-۱-۳-۸ مدل سازی پیگرانی ۳۹
۳-۱-۳-۹ سرعت ۴۰
۳-۱-۳-۱۰ نیروی دیواره ۴۰
۳-۲-۱ جستاری بر مفاهیم مکانیک سیالات با رویکرد افت فشار ۴۲
۳-۲-۱-۱ عوامل تأثیرگذار بر رژیم سیال ۴۲
۳-۲-۱-۲ فشار ۴۳
۳-۲-۱-۲-۱ تعریف فشار و هد خط لوله (شیب گرادیان هیدرولیکی) ۴۳
۳-۲-۱-۲-۲ انواع فشار ۴۴
۳-۲-۱-۲-۳ رابطه بین فشار، دبی و سرعت ۴۴
۳-۲-۱-۴ دلیل نصب شیرکنترل در فشارشکن ۴۵
۳-۲-۱-۵ افت فشار در لوله ها ۴۵
۳-۱-۵-۲-۲-۳ مفاهیم ۴۵
۳-۲-۱-۶-۲-۲-۳ روش های محاسبه ضریب اصطکاک و افت فشار ۴۶
۳-۲-۱-۶-۲-۲-۳-۱ افت فشار ناشی از شیرهای کشوئی، توبی و اتصالات فرایند پیگرانی ۴۷
۳-۲-۱-۶-۲-۲-۳-۲ آشنایی با شیر کشوئی (دروازه ای) ۴۸

۴۹	۳-۶-۲-۲-۳ آشنایی با شیرتوبی
۵۰	۴-۶-۲-۲-۳ محاسبه افت فشار ناشی از شیرهای کشونی و توبی
۵۱	۵-۶-۲-۲-۳ محاسبه افت فشار ناشی از اتصالات

فصل چهارم : نتایج

۴۵	۴-۱-۱-۲-۳ بررسی علل زمانی و مکانی توقف پیگ و راهکارها
۵۵	۴-۱-۱-۱-۴ حالت اول توقف در محل نامعلوم
۵۶	۴-۱-۱-۲-۴ حالت دوم توقف حین فرایند
۵۶	۴-۱-۲-۱-۴ دلیل اول : عدم سیالیت کافی در لوله
۵۷	۴-۱-۲-۲-۴ دلیل دوم : عدم آب بندی پیگ و مسائل جدار داخلی لوله
۵۸	۴-۱-۲-۳-۳ دلیل سوم: انباشتگی رسوبات و مواد(عامل کاهش شدید نیروی محرکه رانش)
۵۹	۴-۲-۴ بررسی علل مکانیکال توقف پیگ و راهکارها
۶۶	۴-۳-۴ نتایج بررسی نرم افزاری راهکار مکانیکال اندازه بازبودن شیرمنی فولد برای رفع توقف
۶۷	۴-۳-۱ کانتورهای فشار
۶۹	۴-۳-۲ کانتورهای سرعت
۷۱	۴-۳-۳ سهم هر کدام از فرآورده ها (کسر حجمی) در سه حالت
۷۳	۴-۳-۴ دبی عبوری(خروجی)
۷۶	۴-۴ h_f اتصالات پیگرانی و افت فشار مایع در جریان آشفته ($\Delta P_{f..}$)
۷۷	۴-۵ پیشنهاد مسیر جایگزین برای رفع توقف پیگ در سه راهه
۷۹	۴-۶ بهینه سازی سرعت و دبی
۷۹	۴-۶-۱ سرعت بهینه
۸۰	۴-۶-۲ دبی بهینه
۸۰	۴-۷ راهکارهای پیشنهادی برای حذف عوامل توقف

فصل پنجم : پیشنهادات و دستاوردها

۸۲	۱-۵ پیشنهادات برای دریافت بی اشکال پیگ در تله
۸۳	۲-۵ دستاوردها

فهرست منابع و پیوست ها

پیوست الف ۸۸

۸۹	پیوست ب
۹۱	پیوست ج
۹۳	پیوست د
۹۵	پیوست ذ
۹۶	پیوست ر
۱۰۳	پیوست ز
۱۰۴	چکیده انگلیسی

فهرست جدول ها

صفحه

عنوان

جدول ۱-۳ رابطه قطر لوله با نیروی رانش پیگ ۳۷	جدول ۲-۳ زمان پیمودن مسافت بین دوپیگ سیگنال بهوسیله پیگ ۳۷
جدول ۳-۳ مدت زمان پیمودن مسافت بین دو مرکز ۳۸	جدول ۴-۳ زبری متوسط لوله های تجاری ۵۲
جدول ۴-۱ کمینه و بیشینه افت قشار درسه حالت ۶۹	جدول ۴-۲ مقدار فشار در محل برخورد لبه ها با کاپ های عقب و جلو در زمان توقف ۶۹
جدول ۴-۳ کمینه و بیشینه سرعت درسه حالت ۷۱	جدول ۴-۴ مقدار سرعت در محل برخورد لبه ها با کاپ های عقب و جلو در زمان توقف ۷۱
جدول ۴-۵ مقدار کسر حجمی در محل برخورد لبه ها با کاپ های عقب و جلو در زمان توقف ۷۲	جدول ۴-۶ دبی عبوری (خروجی) شیر سمت منی فولد در زمان توقف ۷۴
جدول ۴-۷ در حالت آشفته ، طول معادل ، $\frac{L}{D}$ و ضریب مقاومت k ۷۶	جدول ۴-۸ افت فشار در هر صد فوت (ΔP_{f}) در حالت جریان آشفته ۷۶
جدول ۴-۹ سرعت متناظر با دبی (محاسباتی) در شرائط مختلف بهره برداری ۷۹	جدول ب-۱ خصوصیات پلی اورتان ها ۸۹
جدول ذ-۱ روابط افت فشار کاربردی در خطوط لوله و مشتقات آن ۹۵	جدول ر-۱ طول معادل اتصالات (D= قطر داخلی) ۱۰۰

فهرست شکل ها

صفحه

عنوان

..... ۵	شکل ۱-۱ نمایی از محل وقوع حادثه
..... ۶	شکل ۲-۱ ابعاد پیگ گیر کرده در سه راهه قبل از تله ورودی
..... ۶	شکل ۳-۱ ابعاد واقعی پیگ بر اساس مستندات شرکت SAYAI (شرکت تولید پیگ)
..... ۶	شکل ۴-۱ ابعاد واقعی پیگ بر اساس مستندات شرکت SAYAI (شرکت تولید پیگ)
..... ۷	شکل ۵-۱ حالت کلی تله ورودی
..... ۸	شکل ۶-۱ ابعاد واقعی تله ورودی
..... ۹	شکل ۷-۱ فرایند ارسال
..... ۱۰	شکل ۸-۱ فرایند دریافت
..... ۱۱	شکل ۹-۱ جریان عادی سیال در تله (نارنجی) و تله آماده برای دریافت پیگ (آبی)
..... ۱۱	شکل ۱۰-۱ لحظه گیر کردن پیگ در سه راهه (سبز) ورفع توقف آن (قرمز)
..... ۱۶	شکل ۱۱-۱ تله ارسال
..... ۱۶	شکل ۱۲-۱ تله دریافت
..... ۱۷	شکل ۱۳-۱ طراحی مسیر های دریافت و ارسال
..... ۱۸	شکل ۱۴-۱ نمونه لوله کشی یک منی فولد با تله دریافت و ارسال
..... ۲۴	شکل ۱-۲ پیگ های عمومی
..... ۲۴	شکل ۲-۱ پیگ های تمیز کننده (پاک سازی)
..... ۲۵	شکل ۳-۱ پیگ های جدا کننده (لوله پاک کن)
..... ۲۶	شکل ۴-۱ پیگ هوشمند
..... ۲۶	شکل ۵-۱ پیگ نشت یاب
..... ۳۲	شکل ۶-۱ تعیین نواحی خطر در پیگ گیر و پیگ ران بر اساس استاندارد API ۵۰۵
..... ۳۴	شکل ۱-۲ حرکت پیگ در لوله
..... ۳۵	شکل ۲-۲ نیروهای تأثیر گذار بر حرکت پیگ
..... ۳۸	شکل ۳-۱ تغییرات نشت بندها در نرم افزار سالیدورک برای شعاع های D۷ و D۵
..... ۳۸	شکل ۳-۲ شبیه سازی حرکت پیگ در نرم افزار سالیدورک برای شعاع D۷ و D۵
..... ۳۹	شکل ۳-۳ نیروهای وارد بر پیگ
..... ۳۹	شکل ۳-۴ پیگ کنار گذرد و طرفه

.....	شکل ۷-۳ آب بند آب بندی	۴۰
.....	شکل ۸-۳ تأثیر طول تماس و زاویه β بر لبه آب بند آب بند	۴۰
.....	شکل ۹-۳ عوامل وارد بر سطح آب بند آب بند	۴۱
.....	شکل ۱۰-۳ تأثیر جاذبه بر حرکت سیال در حالت نیمه پر و پر	۴۴
.....	شکل ۱۱-۳ شرائط حاکم بر تنگنا	۴۴
.....	شکل ۱۲-۳ شرائط شیروخروجی آن به لحاظ سرعت و فشار	۴۵
.....	شکل ۱۳-۳ طرح کلی تعیین نقاط کم فشار در شیر کنترل	۴۵
.....	شکل ۱۴-۳ Conduit Gate valve	۴۹
.....	شکل ۱۵-۳ شیرکشوئی با ساقه های بالارونده و ثابت	۴۹
..... شکل ۱۶-۳ Full Bore Ball Valve	۵۰
.....	شکل ۱۷-۳ تفاوت ساختار داخلی شیرهای کشوئی و توپی	۵۰
.....	شکل ۱۸-۳ کاهنده ناگهانی و تدریجی	۵۱
.....	شکل ۱۹-۳ افزاینده ناگهانی و تدریجی	۵۱
.....	شکل ۲۰-۳ سه راهه	۵۳
.....	شکل ۲۱-۳ تغییرات شکل پروفایل جریان در برخی ادوات مکانیکی	۵۳
.....	شکل ۱-۴ توقف پیگ استاندارد، انسداد و گلابی شکل شدن منطقه نفوذ	۵۹
.....	شکل ۲-۴ توقف پیگ در کاهنده ها	۵۹
.....	شکل ۳-۴ کوچک گرفتن شعاع کم خم (به طور اشتباه) برای پیگ های بزرگتر	۵۹
.....	شکل ۴-۴ توقف پیگ در لوله	۶۰
.....	شکل ۵-۴ پدیده چسیدن پیگ ها به یکدیگر	۶۰
.....	شکل ۶-۴ شکستن یک پیگ به وسیله پیگ دیگر	۶۰
.....	شکل ۷-۴ پدیده شکست پیگ با اصطکاک بالا	۶۰
.....	شکل ۸-۴ سرعت کم جریان کنار گذرا و افزایش سطح آسیب دیدگی پیگ	۶۱
.....	شکل ۹-۴ ذخیره شدن مو مرجلوی پیگ	۶۱
.....	شکل ۱۰-۴ توقف پیگ به دلیل فرایند نادرست	۶۱
.....	شکل ۱۱-۴ عدم جریان سیال و توقف پیگ استاندارد	۶۱
.....	شکل ۱۲-۴ ازدست دادن رانش یک پیگ	۶۲
.....	شکل ۱۳-۴ معکوس شدن پیگ ها	۶۲

.....	شکل ۱۴-۴ توقف پیگ به خاطر بالا رفتن احتمال خطر کنارگذر	۶۲
.....	شکل ۱۵-۴ کار کرد نادرست تمام آب بند ها و توقف پیگ	۶۲
.....	شکل ۱۶-۴ توقف پیگ به دلیل چفت و بست نامناسب آب بندها	۶۳
.....	شکل ۱۷-۴ فشار ناشی از یک بار نامتعادل جانبی و تأثیر آن بر خم شدگی پیگ	۶۳
.....	شکل ۱۸-۴ تأثیرنشته گاز اطراف پیگ با مدول دوتایی	۶۳
.....	شکل ۱۹-۴ متلاشی شدن بدنه پیگ به دلیل وجود حفره زانویی	۶۴
.....	شکل ۲۰-۴ آسیب پیگ در اثر نفوذ گاز طی قراییند هیدروتست	۶۵
.....	شکل ۲۱-۴ کانتور فشار در حالتی که شیر منی فولد Full Close است	۶۷
.....	شکل ۲۲-۴ کانتور فشار در حالتی که شیر منی فولد Open ۱۰٪ است	۶۸
.....	شکل ۲۳-۴ کانتور فشار در حالتی که شیر منی فولد Full Open است	۶۸
.....	شکل ۲۴-۴ کانتور سرعت در حالتی که شیر منی فولد Full Close است	۷۰
.....	شکل ۲۵-۴ کانتور سرعت در حالتی که شیر منی فولد Open ۱۰٪ است	۷۰
.....	شکل ۲۶-۴ کانتور سرعت در حالتی که شیر منی فولد Full Open است	۷۱
.....	شکل ۲۷-۴ کانتور اندازه کسر حجمی در حالتی که شیر منی فولد Full Close است	۷۲
.....	شکل ۲۸-۴ کانتور اندازه کسر حجمی در حالتی که شیر منی فولد Open ۱۰٪ است	۷۳
.....	شکل ۲۹-۴ کانتور اندازه کسر حجمی در حالتی که شیر منی فولد Full Open است	۷۳
.....	شکل ۳۰-۴ محل دقیق مسیر جایگزین	۷۸
.....	شکل ۱-۵ میله های استحفاظی	۸۲
.....	شکل ب-۱ حلقه زنجیره اورتان در پلی اورتان	۸۹
.....	شکل ب-۲ ساختار پلی اورتان	۹۰
.....	شکل ج-۱ نیروهای خارجی و فشاری ایجاد شده به طور لحظه ای	۹۱
.....	شکل ج-۲ شعاع ها و ضخامت کاپ	۹۱
.....	شکل ج-۳ مومتوом فشردگی درجهت μ یا M_μ	۹۲
.....	شکل ر-۱ یافتن زاویه θ برای کاهنده	۹۶
.....	شکل ر-۲ مشخصات زانوی ۱۲ اینچ	۹۷

فهرست نمودار ها

صفحه	عنوان
۹	نمودار ۱-۱ فرایند ارسال پیگ طبق شکل (۷-۱)
۹	نمودار ۲-۱ فرایند دریافت پیگ طبق شکل (۸-۱)
۱۰	نمودار ۳-۱ فرایند مختلف دریافت پیگ
۱۴	نمودار ۱-۴ مقدار فشار ورودی و خروجی و دبی در لحظه وقوع حادثه
۲۳	نمودار ۲-۱ دسته بندی پیگ‌ها بر اساس ساختمان
۳۰	نمودار ۲-۲ سازوکار کاهش راندمان جریان نفت خام به خاطر انجام فرایند پیگ‌رانی
۴۲	نمودار ۳-۱ تأثیرات ضریب اصطکاک
۴۴	نمودار ۳-۲ رابطه بین دبی ، فشار، ρ ، دما و ضریب اصطکاک
۴۶	نمودار ۳-۳ روابط جریان لایه ای
۴۶	نمودار ۳-۴ رابطه جریان آشفته با ضریب اصطکاک
۵۱	نمودار ۳-۵ افت هد ضریب K برای یک کاهنده
۵۲	نمودار ۳-۶ ضریب افت جریان در زانویی 90° آن ها
۵۵	نمودار ۴-۱ توقف پیگ در محل نامعلوم
۵۶	نمودار ۴-۲ توقف پیگ به دلیل عدم سیالیت کافی در لوله
۵۷	نمودار ۴-۳ توقف پیگ به دلیل عدم آب بندی پیگ و مسائل دیواره داخلی لوله
۵۸	نمودار ۴-۴ توقف پیگ به دلیل انباشتگی رسوبات و مواد
۶۹	نمودار ۴-۵ بررسی مقدار افت قشار درسه حالت
۷۲	نمودار ۴-۶ مقدار سهم هر کدام از فرآورده ها(کسر حجمی)
۷۴	نمودار ۴-۷ اندازه دبی عبوری(خروجی) در حالتی که شیر سمت منی فولد Full Close است
۷۵	نمودار ۴-۸ مقدار دبی عبوری(خروجی) در حالتی که شیر سمت منی فولد Open ۱۰٪ است
۷۵	نمودار ۴-۹ مقدار دبی عبوری(خروجی) در حالتی که شیر سمت منی فولد Full Open است ..
۸۰	نمودار ۴-۱۰ تغییرات سرعت حرکت پیگ ، بر اساس مقدار دبی(منتج از محاسبات دستی)...
۸۰	نمودار ۴-۱۱ تغییرات سرعت حرکت پیگ ، طبق ΔP دوطرف آن (منتج از حل CFD)
۹۳	نمودار ۵-۱ نمودارمودی و ضریب اصطکاک فانینگ
۹۴	نمودار ۵-۲ نمودارمودی و ضریب اصطکاک دارسی
۹۹	نمودار - اطوال های معادل L ، نسبت L/D و ضریب مقاومت K

- نمودار ر-۲- زبری نسبی و ضریب اصطکاک لوله در جریان به طور کامل آشفته ۱۰۱
- نمودار ر-۳- افت فشار در خط لوله برای مایعات در جریان آشفته ۱۰۲

فهرست علائم و اختصارات

واحد	علامت	عنوان
ft	V	فاصله عمودی خم نسبت به راستای لوله در راستای لوله در زیر زمین
ft	VR	فاصله عمودی اتصال تله گیرنده
ft	R	شعاع خم
Degre	β	زاویه تله
ft	T	طول مماسی تله
ft	HR	طول افقی لوله تا اتصال تله گیرنده
ft	H	طول افقی اتصال تله گیرنده
ft	LR	طول خط لوله تا اتصال تله گیرنده
ft	L	طول لوله خمیده تا قبل از اتصال تله گیرنده و بعد از اتصال تله فرستنده
ft	VL	فاصله عمودی اتصال تله فرستنده
ft	HL	طول افقی لوله تا اتصال تله فرستنده
ft	LL	طول خط لوله تا اتصال تله فرستنده
ft	VRT	فاصله عمودی انتهای لوله اتصال تله گیرنده تا راستای لوله در زیر زمین
ft	LRT	طول لوله تله گیرنده
ft	HRT	فاصله افقی انتهای لوله اتصال تله گیرنده تا تله
ft	VLT	فاصله عمودی انتهای لوله اتصال تله فرستنده تاراستای لوله در زیر زمین
ft	LLT	طول لوله تله فرستنده
ft	HLT	فاصله افقی انتهای لوله اتصال تله فرستنده تا تله
$\frac{million \ ft^3}{day}$ یا BP $\frac{D}{m^3}$ $\frac{hr}{hr}$	Q	جريان(دبی)
$^{\circ}f$	t	دما
(PSI) $\frac{lb}{in^2}$	P	فشار
in	d	قطر داخلی لوله
kg	M	جرم پیگ
ft/s	a	شتاب پیگ
psig	ΔP	تفاوت بین فشار در پیگ
ft^2	A	مساحت پیگ
-	B	ضریب اصطکاک چسبندگی

عنوان	علامت	واحد
سرعت پیگ	S	ft/s یا m/s
نیروی فشاری ناشی از اختلاف فشار بر بدن پیگ	F_g	lb_f
فشار	P	$\frac{lb}{ft^2}$ یا (PSI) $\frac{lb}{in^2}$ $(P_a) \frac{N}{m^2}$
انرژی سینماتیک سیال	$\frac{V^2}{2g}$	M
ضریب افت هد در انرژی سینماتیک سیال	k	-
ضریب اصطکاک	f	-
زیری نسبی	$\frac{\varepsilon}{D}$	-
زیری مطلق	ε	mm
افت هد	h_f	ft
ارتفاع افت فشار	h_L	ft
افت فشار در واحد	P_G	$\frac{k_g}{m^3}$
فشار	P	Bar
افت در فشار واحد بار به ازای یکصد متر طول لوله	$\Delta P_{1..}$	$\frac{kpa}{100\ m}$
ضریب افت فشار یا مقاومت (از سازنده شیر دریافت می شود)	K	-
دبی عبور مایع یا فلو	Q	$\frac{m^3}{hr}$ یا $\frac{ft^3}{hr}$ یا $\frac{gallon}{min}$
سطح ظاهری شیر	A	in^2
دانسیته	ρ	$(\frac{lb}{ft^3})$ یا $(\frac{kg}{m^3})$
قطر لوله	d	in
ثابت گرانش	g	$\frac{kgm}{s^2 kg\ force}$ $\frac{lb ft}{s^2 lb_f}$
زمان تلاقي پیگ	T	hr
حجم	V	m^3

مقدمة

مقدمه

با عنایت به چشم انداز پیام نوروزی سال ۱۳۹۶ مقام عظمای ولایت یعنی تحقق اقتصاد مقاومتی و نیز تأکید مدیریت محترم خطوط لوله و مخابرات نفت ایران بر اجرای برنامه ها به صورت پیشگیرانه^۱ عنوان یک فرصت سرمایه گذاری نه هزینه، نویسنده تصمیم به نگارش این پژوهش بر اساس این برنامه ها نمود.

با توجه به نگاه ویژه آن مدیریت محترم به موضوع (حفظ سرمایه های اصلی شرکت) یعنی کارکنان؛ می توان دستیابی به این نگرش را منوط به کاربست ابزار مناسب و شکوفایی روحیه تحقیق و پژوهش با رویکرد عملیاتی ایده های نو و ایمن (هر چند کوچک و کم هزینه) نمود و نیز شرکت انتقال مؤثر، مستمر و قابل اطمینان یک یا چند محصول از طریق خط لوله به شرط فراهم بودن شرائط اقتصادی مطلوب در مقایسه با دیگر روش ها مانند انتقال از طریق تانکر و بالآخره صرفه جوئی و کاهش قیمت تمام شده تولید را سر لوحه کار خود قرار داده است.

دستیابی به یک فرایند مطابق اصل PM همراه با رعایت همه نکات ایمنی تنها با اصلاح عملیات، بازسازی تجهیزات مرتبط و نگاه ویژه به راهکارهای جایگزین همراه با سرعت عمل بهره بردار در انتخاب بهترین روش در مدیریت شرائط بحرانی امکان پذیر است.

تصمیم دوام، افزایش بازده و طول عمر خطوط لوله، تأمین ایمنی جوامع و صنایع همچوار و حفظ محیط زیست در این زنجیره انتقال مناسب با نوع فرآورده ارسالی به طور دوره ای همراه با زمان بندی از مزایای فرایند پیگرانی است.

موضوع گیرکردن پیگ متأسفانه برخلاف مزایای بالا یک چالش عمدی، مؤلفه توقف کامل جریان بوده و نیز منشاء سربارکردن هزینه های زیاد و غیرقابل قبول به مجموعه است و با دستیابی به نتایج علمی و عملیاتی، احتمال وقوع آن به صفر می رسد.

بیش از نیم قرن، اجزاء پیگ ها با بدنه فولادی مجهز به کاپ^۲ و آب بند ها^۳ از جنس لاستیک، چرم و پلی اورتان^۴ به کار می رفت. تا سال ۱۹۶۰ تمیز کاری خطوط لوله نفت و گاز با محدودیت فراوان

^۱ Preventing Method

^۲ Cups

^۳ Discs

^۴ Polyurethane

همراه بوده است که با گذر از این زمان یک نوع پیگ اسفنجی گلوله‌ای از جنس اسفنج(پلی اورتان) به نام پلی پیگ^۱ معرفی و به خدمت گرفته شد و اگر چه صنایع نفت و گاز بزرگترین مصرف کننده آن هستند؛ ولی بیشتر صنایع جدید از جمله آب و فاضلاب شهری، فرایند تولید، پتروشیمی، معدن و... استفاده کنندگان آن هستند. بدین ترتیب در انتقال سیالات از طریق خطوط لوله [ضمون جلوگیری از مصرف انرژی اضافی] بر جریان سیال افزوده شده و در پایان فشار پمپ، کاهش یافته و علاوه بر تولید محصولی تمیزتر، از هدر رفت آن نیز ممانعت می‌شود.

اولین تحقیقات در زمینه پیگرانی و یافتن معادلات حرکت مربوط به آن را رامک دونالد و بیکر^۲ در سال ۱۹۶۴ انجام دادند و به این نتیجه رسیدند که انجام این فرایند در لوله افزایش ۳۰-۷۰ درصدی کارائی انتقال سیال را موجب می‌شود. در ادامه آزادو^۳ و همکاران در سال ۱۹۹۶ حرکت مکانیکی پیگ را در خطوط لوله افقی با فرض پایا بودن و سیال تک فاز تراکم ناپذیر بررسی کردند.

نیکله^۴ و همکارانش در سال ۲۰۰۱ به بررسی و شبیه سازی حرکت پیگ دارای جریان کنار گذر داخل لوله های گاز و مایع مستقیم پرداختند. و در همین سال نگوین^۵ و همکاران به بررسی و تحلیل دینامیکی حرکت پیگ داخل لوله های گاز مستقیم افقی اقدام نمودند. شش سال بعد شبیه سازی عددی حرکت پیگ با جریان کنار گذر در خطوط لوله گاز را حسینعلی پور و همکاران ارائه نمودند و در سال ۲۰۰۹ علاوه بر این که اسماعیل پورو همکاران مدل سازی ریاضی و شبیه سازی پیگرانی را در این نوع خطوط انجام دادند؛ برای اولین بار مدل سازی دینامیکی پیگ‌های کوچک در خط لوله فضایی به وسیله سعید بخش و همکاران بررسی شد.

در سال ۲۰۱۳ رضا کاوه و همکاران با شبیه سازی جریان سیال اطراف پیگ متحرک در لوله دریافتند که ابتدا نیروی وارد بر پیگ از اطراف سیال زیاد بوده و با گذشت زمان رو به کاهش می‌گذارد. در این حالت شتاب پیگ به سمت صفر میل نموده و سرعت پیگ ثابت می‌ماند. با جلو رفتن پیگ، به علت کاهش شتاب آن، تغییرات سرعت و فشار در طول لوله افت کرده و شرائط جریان به سمت حالت دائم پیش می‌رود. بیشترین تأثیر وجود پیگ بر روی سرعت جریان خروجی خود است و در فواصل دورتر از آن تغییرات سرعت کمتر هستند.(۱)

^۱ Polly pig

^۲ McDonald and Baker

^۳ Azevedo

^۴ Nieckele

^۵ Nguyen

فصل اول

کلیات

۱-۱ بیان مسئله

۱-۱-۱ آشنايی با محل وقوع حادثه

مبداء خط لوله ۲۶ اينچي مرکز انتقال نفت خام شهرستان اهواز بوده و پس از طى مسافت ۷۵۰ کيلومتری به شهرستان ری متنه می شود. در ساعت ۲۰:۳۰ هشتم آبان ماه سال ۱۳۸۴ با راه اندازی يك خط جديد با همين قطر؛ به جای خط قدیم، مواد انتقالی از مرکز انتقال نفت پائین دستی در مدت زمان تقریبی ۳۴ ساعت به محل وقوع حادثه رسید.

اين فشار شکن زير نظر يكى از مناطق دوازده گانه شركت خطوط لوله و مخابرات نفت ايران است که پس از تقلیل فشار نفت خام دریافتی از مرکز انتقال نفت پائین دستی به وسیله شیر كترل آن را به تأسیسات بالا دستی انتقال می دهد .

طبق محاسبات رياضي حجم يك کيلو متراللوله اي به قطر ۲۶ اينچ ۳۲۳ ليتراست. (پيوست الف) ظرفیت و طول اين خط لوله (به طور تقریبی) حد فاصل مرکز انتقال نفت پائین دستی و محل وقوع حادثه به ترتیب ۴۵۱۴۴ متر مکعب و ۱۴۸ کيلومتر می باشد.



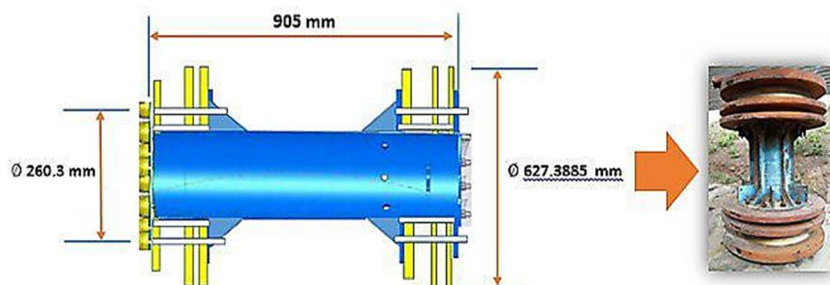
شكل (۱-۱) نمایی از محل وقوع حادثه (۲)

۱-۱-۲ ابعاد پیگ در زمان وقوع حادثه و در حالت نرمال (بدون سایش کاپ)

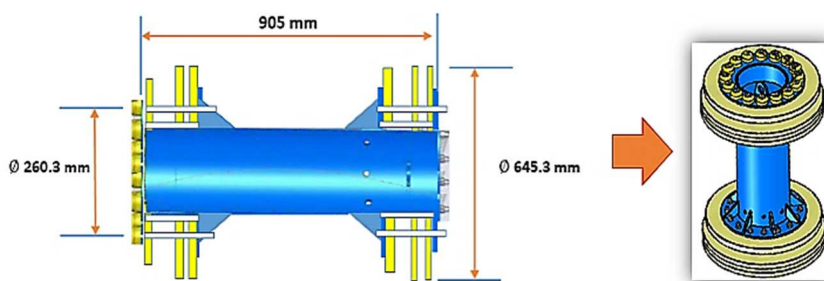
پیگ مورد استفاده در فرایند پیگرانی (تمیز کاری دیواره داخلی و جداسازی محصولات) از نوع BI-DI^۱ با قابلیت حرکت دو طرفه روی خط لوله است. (۳)

با توجه به شکل های (۲-۱) و (۳-۱) تفاوت ابعادی در قطر کاپ به ترتیب نشان دهنده وقوع پدیده سایش و عدم ساییدگی در آن می باشد که ابعاد شکل (۳-۱) اندازه های واقعی ارائه شده به وسیله شرکت سازنده (شرکت ساوا) طبق شکل (۴-۱) است.

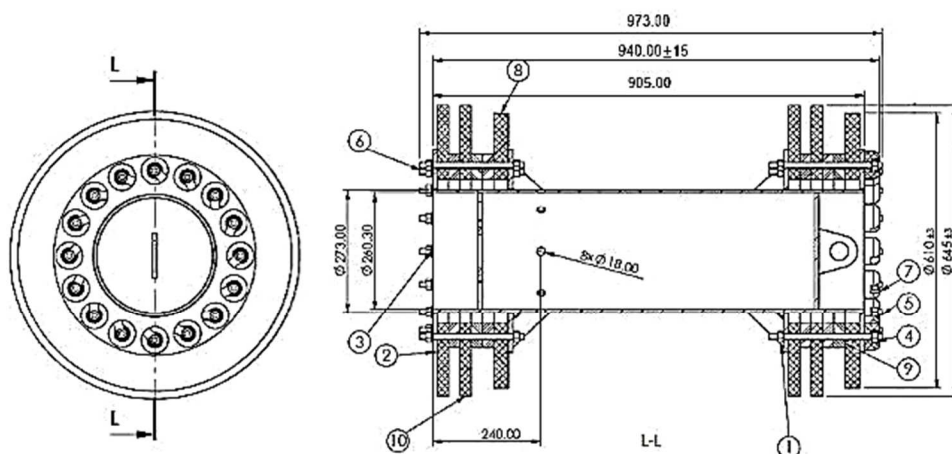
^۱ Bi-Directional



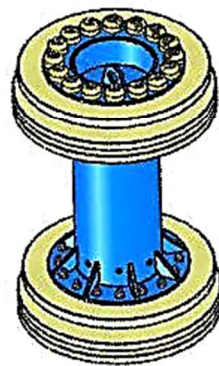
شکل (۲-۱) ابعاد پیگ گیر کرده در سه راهه قبل از تله ورودی(نویسنده)



شکل (۳-۱) ابعاد واقعی پیگ بر اساس مستندات شرکت SAYAI (شرکت تولید پیگ)



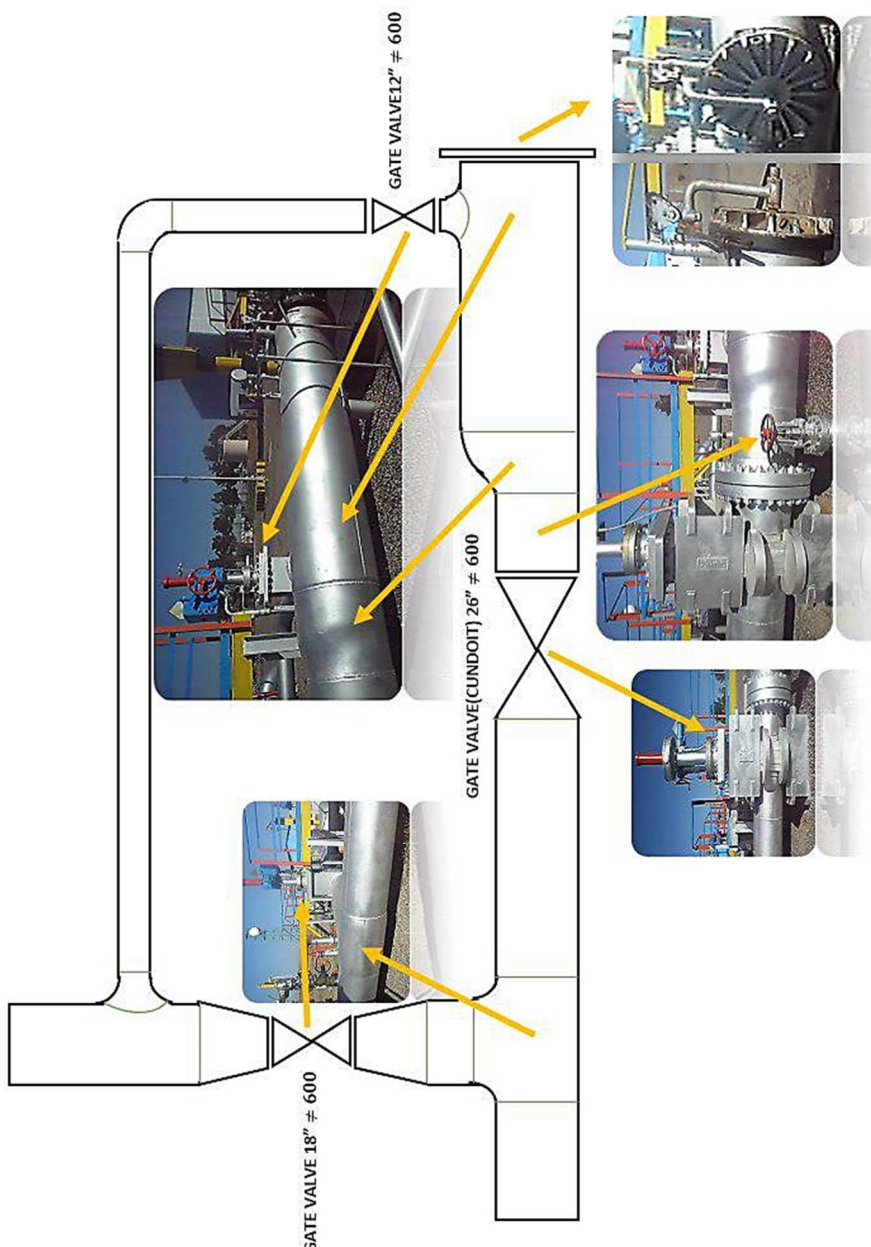
BOM Table			
ITEM NO.	Title	Material	QTY.
1	-	Carbon Steel	1
2	-	Carbon Steel	2
3	-		64
4	Nut M12	Carbon Steel	64
5	-	Carbon Steel	16
6	-	Carbon Steel	16
7	Bumper	PU 85 Shore A	16
8	-		2
9	-		6
10	-		4



SR 26"(Bi - Di)

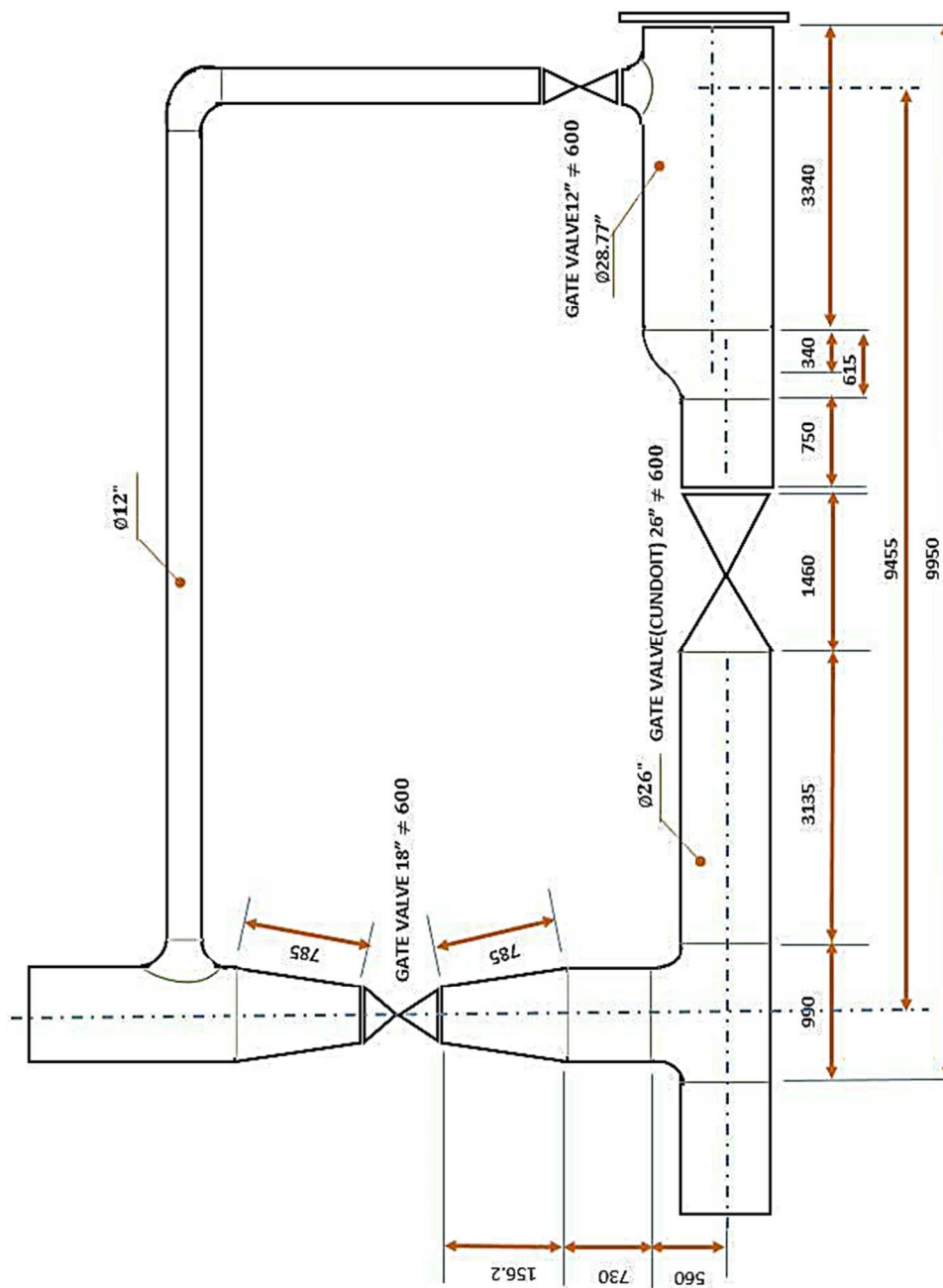
شکل (۴-۱) ابعاد واقعی پیگ بر اساس مستندات شرکت SAYAI (شرکت تولید پیگ)

۱-۱-۳ حالت کلی تله ورودی



شکل (۱-۵) حالت کلی تله ورودی (نویسنده)

۱-۱-۴ ابعاد واقعی تله ورودی



شکل (۱-۳) ابعاد واقعی تله ورودی (نویسنده)

۱-۱-۵ فرایند پیگرانی حالت کلی

۱-۱-۵-۱ فرایند ارسال

مرحله یکم (قراردادن پیگ پس از انداختن فشار تله ارسال و هدایت آن تا بعد از نقطه G)

بازکردن شیر های E و D (به ترتیب) ← بستن شیر های D و E (به ترتیب)

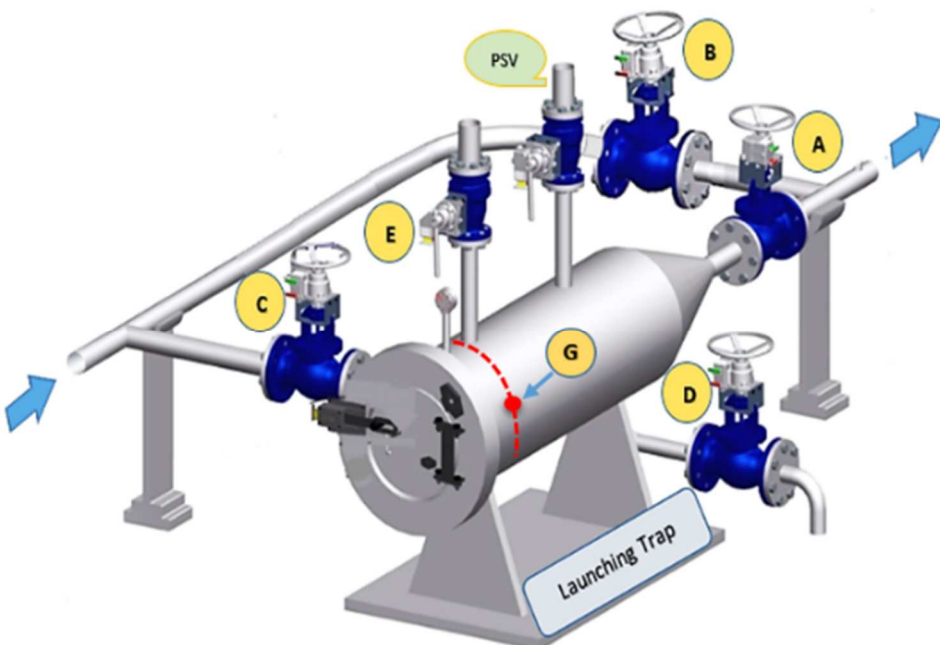
مرحله دوم (تحت فشار قرار دادن تله برای ارسال پیگ)

بازکردن شیر C ← هدایت پیگ تا پشت شیر A ← بازکردن شیر A ← بستن شیر B

مرحله سوم (انداختن فشار تله و تغییر مسیر)

بازکردن شیر B ← بستن شیر های A و C (به ترتیب) ← بازکردن شیر های E و D (به ترتیب) ← بستن شیر های D و E (به ترتیب)

نمودار (۱-۱) فرایند ارسال پیگ طبق شکل (۷-۱) (نویسنده)



شکل (۱-۷) فرایند ارسال (۴)

۱-۱-۵-۲ فرایند دریافت

مرحله یکم (تحت فشار قرار دادن تله)

بازکردن شیر E ← پر نمودن تله با باز کردن شیر F ← بستن شیر های E و F (به ترتیب)

مرحله دوم (آماده کردن مسیر دریافت)

بازکردن شیر های C و A (به ترتیب) ← بستن شیر

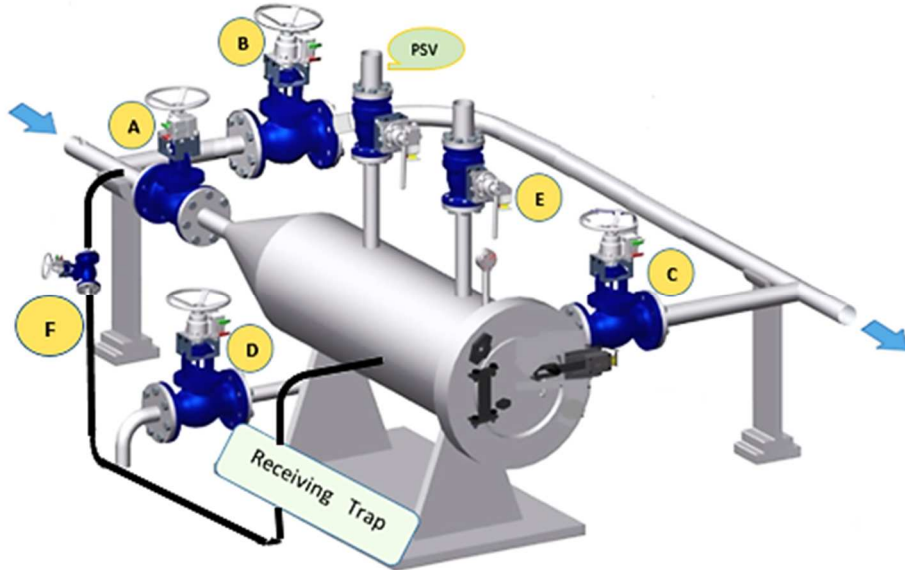
مرحله سوم (هدایت سیال به سمت منی فول و غیرفعال کردن تله پس از دریافت پیگ)

بازکردن شیر B ← بستن شیر های A و C (به ترتیب)

مرحله چهارم (خارج نمودن پیگ با انداختن فشار تله)

بازکردن شیر های D و E (به ترتیب) ← خارج نمودن پیگ

نمودار (۲-۱) فرایند دریافت پیگ طبق شکل (۸-۱) (نویسنده)



شکل (۸-۱) فرایند دریافت (۴)

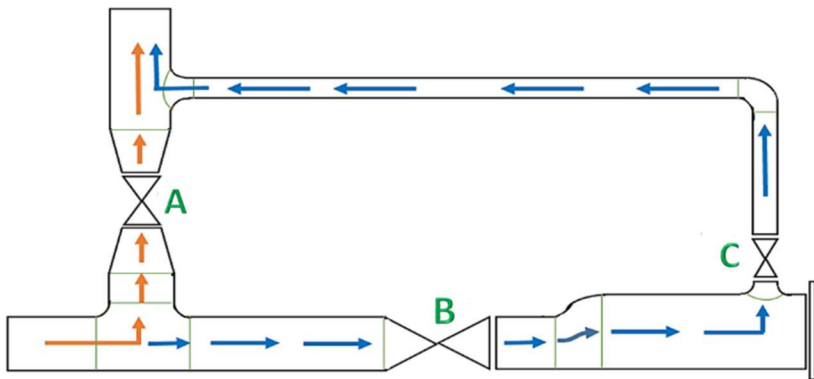
۱-۱-۶ فرایندهای مختلف دریافت پیگ در فشار شکن (محل وقوع حادثه)

سیال انتقالی از مرکز انتقال نفت پائین دستی با عبور از تله پیگ گیر فشارشکن (محل وقوع حادثه) پس از کاهش فشار در منی فولد، از طریق تله خروجی به تأسیسات بالا دستی منتقل (شکل ۹-۱) و سپس مسیر دریافت (۵ ساعت قبل از دریافت) آماده می شود. (شکل ۹-۱)

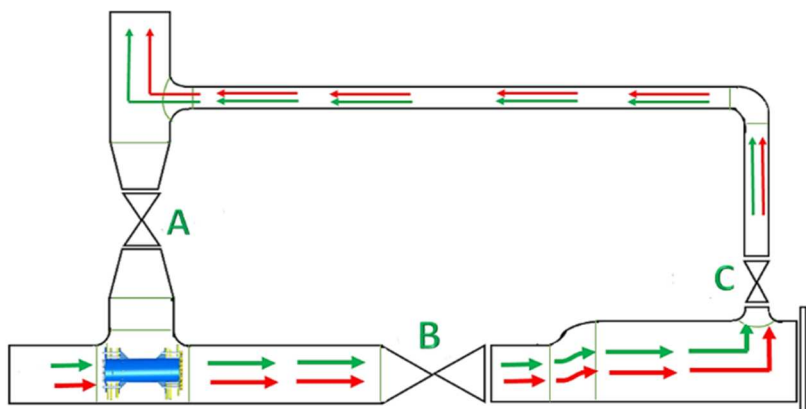
با رسیدن پیگ به نزدیکی تله، به دلیل وقوع پدیده کاهش فشار (منفی شدن فشار جلو)، درسه راهه متوقف شده که با افت جریان و افزایش ناگهانی دبی همراه است. (شکل ۱۰-۱) با تنظیم ده درصدی شیر منی فولد (۵ ساعت قبل از دریافت)، در هنگام رسیدن پیگ به محل تفسیم جریان (سه راهه) سرعت سیال و فشار در دو طرف پیگ تعديل و از توافق آن جلوگیری می شود. (شکل ۱۰-۱)

شرح	درصد باز بودن	مشخصات شیر	
		قطع خارجی (اینج)	کد
جریان عادی سیال در تله (شکل ۹-۱)	۱۰۰	۱۸	A
	صفرا	۲۶	B
	صفرا	۱۲	C
تله ورودی در حالت آمادگی برای دریافت پیگ (شکل ۹-۱)	صفرا	۱۸	A
	۱۰۰	۲۶	B
	۱۰۰	۱۲	C
لحظه گیر کردن پیگ در سه راهه (شکل ۱۰-۱)	صفرا	۱۸	A
	۱۰۰	۲۶	B
	۱۰۰	۱۲	C
رفع گیر کردن پیگ در سه راهه (شکل ۱۰-۱)	۱۰	۱۸	A
	صفرا	۲۶	B
	صفرا	۱۲	C

نمودار (۳-۱) فرایند مختلف دریافت پیگ (نویسنده)



شکل (۹-۱) جریان عادی سیال در تله(نارنجی) و تله آماده برای دریافت پیگ (آبی) (نویسنده)



شکل (۱۰-۱) لحظه گیر کردن پیگ در سه راهه (سبز) و رفع توقف آن (قرمز) (نویسنده)

۱-۱-۷ آشنایی با نرم افزار تحلیل انسیس فلوئنت^۱

پیشنهاد مکانیکال برای رفع توقف پیگ در سه راهه قبل از تله دریافت (باز بودن ده درصدی شیر ۱۸ اینچ منی فولد و تحلیل کمینه، پیشینه و متوسط سرعت) در نرم افزار انسیس فلوئنت همراه با بررسی نتایج بر اساس یک استدلال عملیاتی ارائه خواهد شد.

این نرم افزار بدون اغراق قوی ترین و محبوب ترین نرم افزار محاسبات دینامیک سیالات بر پایه زبان برنامه نویسی C است که با بهره گیری از امکانات ارزشمند انسیس در تمام مؤسسات و محیط های مهم صنعتی دنیا به عنوان یک ابزار تحقیقاتی مناسب برای طراحی، المان بندی و شبیه سازی مکانیکی پدیده های فیزیکی در حوزه سیالات مطرح می باشد.

با نگاهی بر مقالات معتبر در زمینه مهندسی مکانیک، هوافضا و شیمی به نقش مهم این محیط طراحی پی برده می شود.

تا پیش از نسخه ۱۱ نرم افزار، که در ماه های پایانی سال ۲۰۰۳ به بازار آمد، محیط اصلی آن به زعم امکانات گسترده دارای قالبی قدیمی، امکانات گرافیکی و مدل سازی هندسی ضعیف با

^۱ ANSYS Fluent

گزین فهرست های بسیار پیچیده و تودرتو، کاربران رادردسترنسی به دستورها سردرگم می کرد و اغلب از نرم افزارهای دیگر مثل گمبیت^۱ برای تهیه مدل هندسی استفاده می شد. در سال ۲۰۰۳ زمینه تولد محیط طراحی، شبیه سازی و تحلیل انسیس ورک بنچ^۲ با محیط کاربری پیشرفت و منطبق با نرم افزارهای روز جهان فراهم گردید که امروزه با محیط طراحی هندسی پیشرفت^۳ و تحلیل سازه ای^۴ و امکاناتی از جمله کدنویسی^۵، نرم افزار انسیس را به مجموعه ای بی نظیر برای تحلیل انواع مسائل صنعتی و دانشگاهی تبدیل کرده است.

ویژگی های نرم افزار انسیس :

أ. وارد کردن مدل مورد نظر از دیگر نرم افزارهای تولید مدل سازگار با آن
ب. امکان تغییر مش بندي به صورت کامل، تحلیل جریان با مش بندي های پیچیده
ج. پشتیبانی از مش های با المان های مثلثی و چهار ضلعی (برای هندسه های دو بعدی) و چهار وجهی، هرمی یا گوه ای (برای هندسه های سه بعدی)
د. امکان دستکاری و فراهم آوری شرائط ایجاد مش دقیقت در نواحی با گرادیان های بزرگ مثل لایه مرزی به وسیله کاربر

قابلیت های نرم افزار انسیس :

أ. تحلیل جریان تراکم پذیر و تراکم ناپذیر
ب. تحلیل جریان های پایا و گذرا
ج. تحلیل جریان های لزج، آرام و متلاطم
د. مدل کردن سیالات نیوتونی و غیر نیوتونی
ه. انتقال حرارت جابه جایی شامل جابه جایی آزاد یا اجباری
و. ترکیب انتقال حرارت جابه جایی / هدایتی
ز. انتقال حرارت تشعشعی
ح. مدل جریان های گردابه ای
ط. مدل کردن واکنش های شیمیایی شامل احتراق و موارد دیگر
ی. محاسبات لاغرانژی برای تغییر فاز ذرات
ک. افزودن ترم های اختیاری حجمی از گرما، جرم، ممتوم، اغتشاش و ترکیبات شیمیایی

^۱ Gambit

^۲ ANSYS Workbench

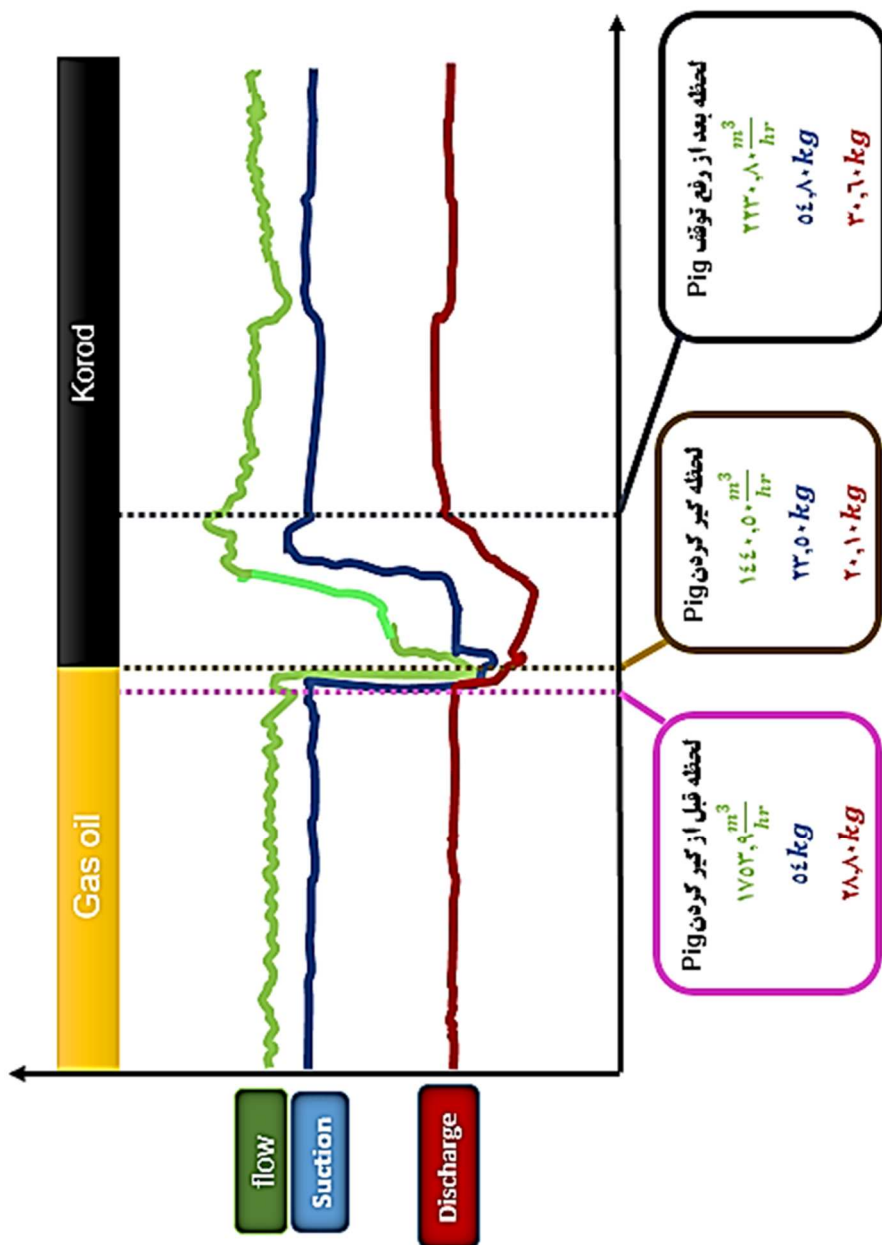
^۳ Design Modeler

^۴ Mechanical

^۵ Mechanical APDL

- ل. مدل کردن جریان های مولتی فاز (چند فازی)
- م. مدل جریان درهندسه های پیچیده دو بعدی و سه بعدی با محاسبات غیرساختار یافته الگوریتم کلی برای برقرار کردن شرائط مسئله در نرم افزار انسیس فلوئنت :
- أ. تعیین هندسه جریان در محیط ANSYS design modeler
- ب. تولید شبکه یا المان : از نسخه پانزدهم انسیس امکان کاربست ابزارهای مش به وسیله کاربر در خود محیط فلوئنت فراهم شده است.
- ج. اعمال شرائط مرزی
- د. حل : مرحله انجام تنظیم های مربوط به حل
- ه. پردازش نتایج : مشاهده کانتورهای مختلف، خطوط جریان، بردارهای نرمال، استخراج آنیمیشن از مدل جریان واستفاده از خود نرم افزار فلوئنت، انسیس ورک بنچ و CFD – Post (۵)

۱-۱-۸ مقدار فشار ورودی و خروجی و دبی در لحظه وقوع حادثه



نمودار (۱-۸) مقدار فشار ورودی و خروجی و دبی در لحظه بروز حادثه (نوبنده)

۲-۱ فرایند پیگرانی

۱-۲-۱ مزایا

۱-۱-۲-۱ صرفه جویی بدون نیاز به شستن با جریان سریع

۲-۱-۲-۱ ایجاد قابلیت نمونه برداری

۳-۱-۲-۱ استفاده از برآیند های فرایند به منظور کنترل کیفیت خط لوله

۴-۱-۲-۱ عدم نیاز به قطع جریان سیال

۱-۲-۲ نکات پیگرانی

أ. پیگرانی مستمر به خط لوله آسیب می رساند .

ب. ابعاد ناحیه دچار خوردگی در یک متر از طول لوله براساس قاعده FFS^۱ (همخوانی برای عملکرد)

با دخالت دقیق هندسه خوردگی تعیین می شود که علاوه بر ارائه فشار مجاز برای طولانی تر شدن عمر خط لوله، نشان می دهد که با این فشار لوله برای ۱۰ سال آینده جوابگوست یا نه.

ج. هشتاد درصد انرژی های فسیلی با خط لوله ای به طول $10^7 \text{ km} \times 3$ درجهان منتقل می شود که این مقدار در ایران برای انتقال نفت و گاز به ترتیب $10^3 \text{ km} \times 4/10^3 \text{ km} \times 45$ است.

قطر خطوط از ۶ تا ۵۶ اینچ ادامه می یابد. (۶)

۱-۳-۲ اهداف اصلی پیگرانی

افزایش راندمان، دبی و کاهش خوردگی، بازرسی وضعیت و موقعیت درون لوله، جدا سازی دو یا چند فرآورده غیر مشابه، تخلیه آب لوله ها پس از آزمایش هیدرو استاتیک . (۶)

۱-۴-۲ نکات طراحی تله های ارسال و دریافت

۱-۴-۲-۱ قرار گیری آسان پیگ درون آنها

۲-۴-۲-۱ بزرگتر بودن اندازه مخزن تله (برای لوله های تا قطر 10^7 اینچ یک واحد - هرواحد ۲ اینچ - و برای لوله های قطر 12 اینچ و بالاتر دو واحد)

۳-۴-۲-۱ توجه به عوامل مؤثر در طراحی درب تله مانند بهره برداری آسان، کمینه کردن نگهداشت، آب بندی و هزینه های قطعات آب بند، راحتی تعویض و دسترسی پذیری.

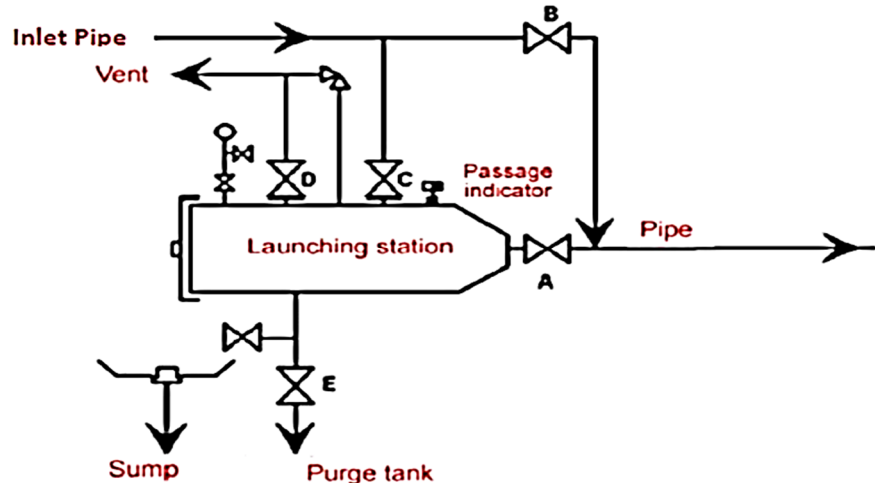
۴-۴-۲-۱ شیرهای اصلی تله های ورودی و خروجی دروازه ای ^۲ از نوع Conduit ^۳ بوده و

^۱ Fitness For Service

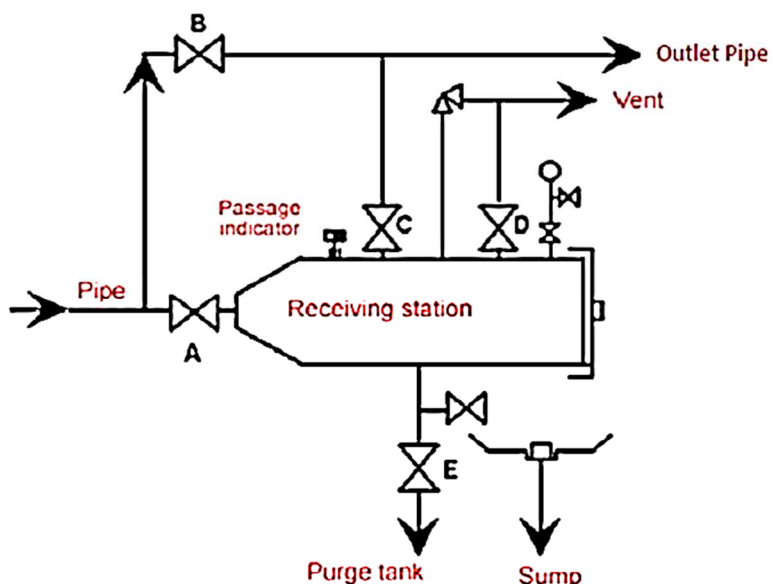
^۲ GATE VALVE

^۳ کانال دار

قابلیت پیگرانی، قطع و وصل و بستن کامل جریان سیال را دارند.
 اغلب شیرآلات [به لحاظ شکل کanal جریان] طوری طراحی شده‌اند که برای عبور دادن جریان ورودی از فضایی کافی برخوردار باشند و به عبارتی سطح مقطع کanal جریان یکنواخت^۱ است.
 این یکنواختی نباید با مفهوم معادل بودن سطح مقطع عبور سیال در طول آن با قطر نامی لوله^۲ اشتباه گرفته شود و حتی برخی اوقات دو اصطلاح Full Bore با به جای یکدیگر استفاده شده در حالیکه Full Bore (قطر معادل قطر داخلی لوله) و Full Open (به طور کامل باز) معنی می‌شوند.^{(۳)(۴)(۷)}



شکل (۱۱-۱) تله ارسال (۹)

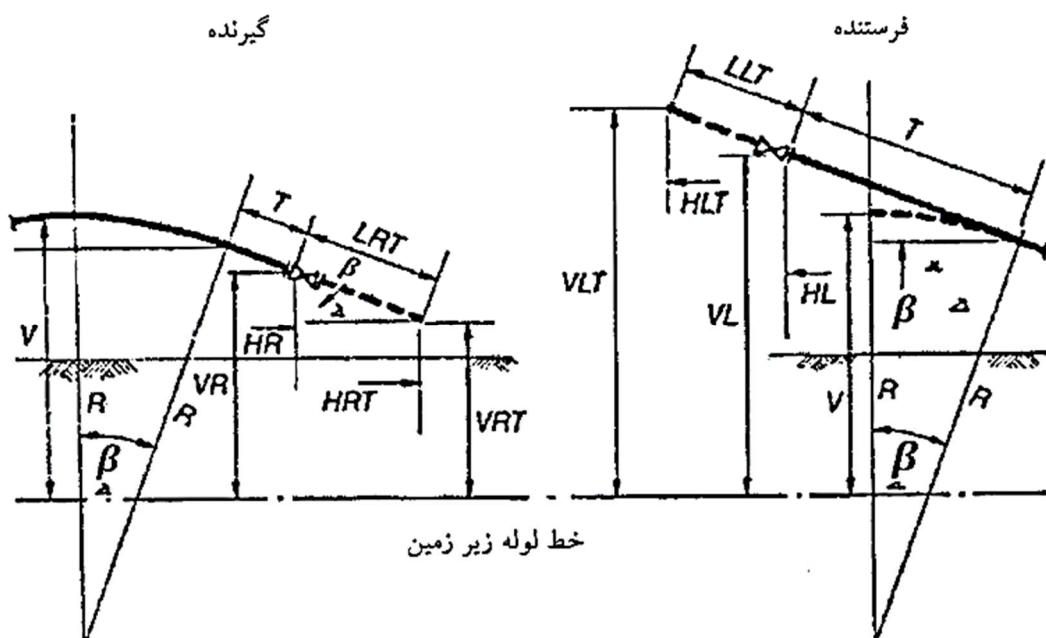


شکل (۱۲-۱) تله دریافت (۹)

^۱ Full Bore

^۲ Full Port

۱-۲-۵ روابط مربوط به اتصالات تله های اسکریپر (گیرنده و فرستنده)



شکل (۱۳-۱) طراحی مسیر های دریافت و ارسال (۱۰)

۱-۵-۲-۱ گیرنده

$$VR = V - R \times (1 - \cos \text{Trap}\angle) + T \times \sin \beta \quad (1-1)$$

$$HR = H - T + R \times \sin \beta + T \times \cos \beta \quad (2-1)$$

$$LR = L + R \times \frac{\beta}{\gamma / ۲۹۰۸} \quad (3-1)$$

۲-۵-۲-۱ فرستنده

$$VL = V - R \times (1 - \cos \text{Trap}\angle) + T \times \sin \beta \quad (4-1)$$

$$HL = H - T + R \times \sin \beta + T \times \cos \beta \quad (5-1)$$

$$LL = L - R \times \frac{\beta}{\gamma / ۲۹۰۸} \quad (6-1)$$

۳-۵-۲-۱ تله گیرنده

$$VRT = VR - LRT \times \sin \beta \quad (7-1)$$

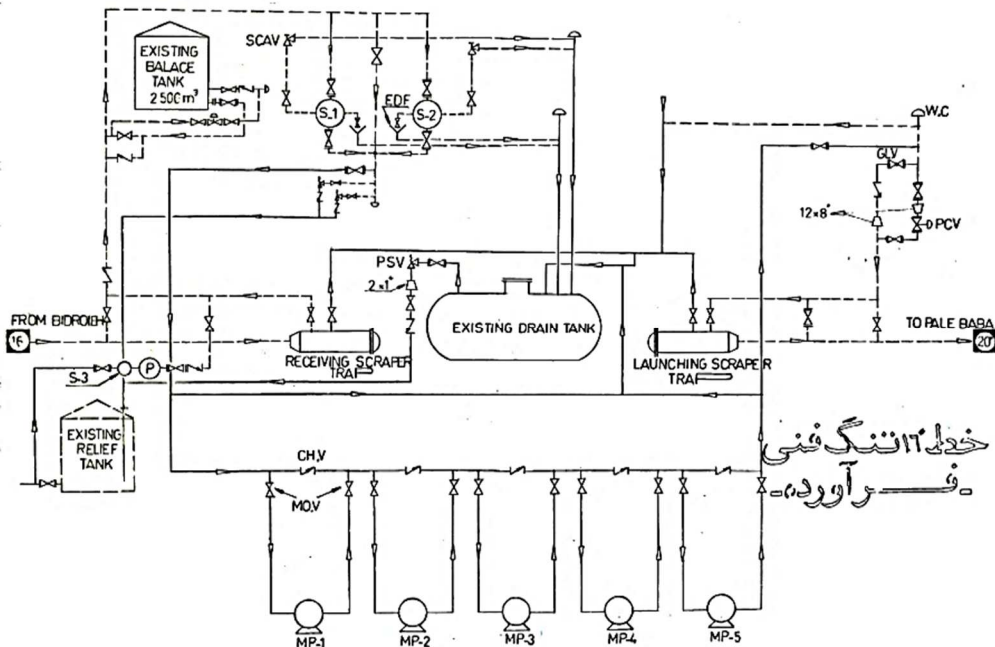
$$HRT = HR + LRT \times \cos \beta \quad (8-1)$$

۴-۵-۲-۱ تله فرستنده

$$VLT = VL - LLT \times \sin \beta \quad (9-1)$$

$$HLT = HL + LLT \times \cos \beta \quad (10-1)$$

۱-۲-۶ نمونه لوله کشی یک منی فولد با تله دریافت و ارسال



شکل (۱۴-۱) نمونه لوله کشی یک منی فولد با تله دریافت و ارسال (ترسیمی نویسنده)

۱-۲-۱ تحقیق

بررسی راهکارهای عملی بهینه سازی حرکت پیگ در لوله حاوی سیال به منظور عدم توقف آن در سه راهی قبل از ورود به تله دریافت با استناد به اعداد و ارقام واقعی و میدانی

۱-۲-۱-۱ ابیان مسئله

توقف پیگ قبل از قرارگیری در تله و بررسی راهکارها مبتنی بر مکانیک سیالات

۱-۲-۲-۱ تاریخچه‌ای از موضوع تحقیق

در این خصوص تحقیقات بی شماری صورت گرفته اما مسئله گیر کردن پیگ‌ها در سه راهه^۱ قبل از تله در یافت تاکنون به طور تخصصی بررسی نشده است و با توجه به بالاترین آمار آسیب فرایند در این نقطه، این موضوع محور اصلی تحقیق می‌باشد.

۱-۲-۳-۱ تعریف موضوع تحقیق

گاهی اوقات در طی فرایند پاکسازی و جداسازی^۲ پیگ در اثراوراد شدن اختلاف فشار منفی به پشت آن، متوقف شده و فشار درمنی فولد بالا می‌رود و یافتن راهکارهای حل این مشکل (چه فیزیکی و چه دینامیکی) با بیشینه ضریب ایمنی، عملیاتی پایدار را تضمین می‌کند.

^۱ محل تقسیم سیال بین مسیر دریافت پیگ و نقطه ورودی به منی فولد

^۲ Cleaning

^۳ Batching

۱-۲-۸-بررسی مکانیکال و تحلیل نرم افزاری حادثه همراه با بهینه سازی نتایج

۱-۲-۸-۱-اروش انجام تحقیق

مرحله اول : جمع آوری اطلاعات میدانی مربوط به حادثه گیر کردن پیگ در سه اهه
مرحله دوم : بررسی راهکارها با نرم افزار انسیس فلوئنت به کمک اطلاعات گرد آوری شده
مرحله سوم : تعدیل نتایج نرم افزاری با طراحی مسیر جایگزین مبتنی بر پیگرانی استاندارد
مرحله چهارم : پیشنهاد دبی و سرعت بهینه با شیوه محاسباتی

۱-۲-۸-۲-نوآوری، اهمیت و ارزش تحقیق

پیشنهاد دبی و سرعت بهینه حرکت پیگ از مبدأ (مرکزانقل نفت پائین دستی) باهدف عبوربدون توقف از سه راهه بالرائه راهکارهای مکانیکال و سیالاتی هم راستا با سیاست اقتصاد مقاومتی

۱-۲-۹-۱-تعريف واژه ها

۱-۲-۹-۱-۱-پیگ^۱

هر نوع ابزار مستقل با قابلیت حرکت درون لوله با هدف بازررسی فنی، اندازه گیری و یا تمیز کاری

۱-۲-۹-۲-پیگ جدادسازی^۲

پیگی چند منظوره بدنی فلزی^۳ با ۲ تا ۴ کلاهک و صفحات پلاستیکی^۴ در نوع کروی و کاپی با وظایفی ازجمله :

- أ. ایجاد یک درز گیری متحرک به منظور تفکیک دو فرآورده غیرهمسان در یک خط لوله
- ب. جابجا کردن مایعات و جامدات نرم همچون واکس و پارافین از خطوط لوله نفت و گاز مایع
- ج. انتقال آب مازاد خطوط لوله گاز
- د. تزریق مواد ضد خوردگی
- ذ. رنگ آمیزی داخلی خط لوله (۱۱)(۹)(۷)

۱-۲-۹-۲-۳-پیگ تمیز کاری^۵

پیگی چند منظوره مجهز به کاپ، کاردک و برس با وظایفی ازجمله :

- أ. زدودن هرگونه آلودگی
- ب. رفع زنگ زدگی

^۱ Pig

^۲ Batching Pig

^۳ Mandrel body spool type

^۴ Rubber caps or Discs

^۵ Cleaning Pig

ج. رفع رسوب و سایر مواد خارجی با هدف افزایش بازدهی فرایندی خط لوله
د. فراهم آوری امکان بازرگانی آسان آن و نیز کاهش هزینه های عملیاتی (۱۱)(۹)(۷)

۱-۲-۹-۴ قله^۱

از تجهیزات مجموعه برای ابزارهای ارسال کننده و دریافت کننده پیگ‌ها(۷)

۱-۲-۹-۵ دریافت کننده^۲

از تجهیزات مجموعه برای خارج نمودن پیگ از خط لوله تحت فشار(۷)

۱-۲-۹-۶ ارسال کننده^۳

از تجهیزات مجموعه برای وارد کردن پیگ به درون خط لوله تحت فشار(۷)

^۱ Trap
^۲ Receiver
^۳ Launcher

فصل دوم
آشنایی با پیگ و پیگرانی
(Pig and pigging)

۱-۲ آشنایی با پیگ

در زمان جنگ جهانی دوم خطوط لوله برای فرایند پیگرانی طراحی نشده بودند و استفاده از لوله قطر متغیر، زانویی چوبی و شیر فلکه با محفظه کوچکترو یا مربعی مطابق با زانویی شعاع کوچک معمول بود و مسیر حرکت پیگ^۱ با کاهش فشار و جریان مواجه بود که پس از این دوران خطوط فشار پائین با قطر کم، مجهز به شیر فلکه مربعی مطابق با زانویی های قطرکم شدند و به تدریج جای خود را به خطوط فشار بالا با قطر و طول بیشتر دادند. (۱۲)

پیگ ها به دلیل عدم امکان دسترسی به سطح داخلی و لزوم جلوگیری از ایجاد نقص در جدار درونی لوله، بهترین گزینه برای انتقال پایدار مواد و نیل به اهدافی مانند ترمیم خوردگی های داخلی، افزایش عمر و کارائی هیدرولیکی، رفع نرمی سطح در اثر انواع عیوب، آزمایش یکپارچگی خط لوله، جوشکاری، اندازه گیری ضخامت دیواره و اندازه خوردگی به شمار آمده و طی مراحل پیش راه اندازی، راه اندازی، بهره برداری و از کارافتادگی خط لوله مورد نیاز می باشند. (۱۳)

۱-۱ تعریف

پیگ ابزاری است که بارانش رو به جلو به کمک جریان سیال مماس با دیواره داخلی لوله فرایند پاکسازی، رفع گرفتگی^۲ و پرداخت هر گونه مواد زائد داخل لوله را انجام می دهد. این وسیله در فرهنگ فارسی به معنای (خوک) آمده زیرا با تماس برس ها به دیواره داخلی؛ صدای گوش خراشی مانند صدای این حیوان شنیده می شود. (۱۴)(۸)

۲-۱ سازوکار

پاکسازی مؤثر تر تا بیشینه ۴۰۰ کیلومتر در اثربنیروی رانش ناشی از اختلاف فشار^۳ ایجاد شده در دو طرف پیگ و در حالت شناوری تحت تأثیر افزایش نیروی حجم وزن خود و ρ سیال

۲-۱-۳ ساختار

آب بندها از پلی اورتان و نئوپرن و بدنه از فلزات سبک منیزیم^۴، آلمونینیم^۵ و پلی مرپلی اورتان (۱۴)(۱۲)

^۱Pipeline Inspection Gauge or Pig

^۲ Choking

^۳ Pressure drop or ΔP

^۴Mg

^۵Al

۱-۳-۱-۲ مزایا بدنی

- أ. تضمین آب بندی و قدرت تمیز کاری بهوسیله پیگ در مسافت طولانی
- ب. کاهش خمیدگی قسمت تحتانی فنجانک های درزبند پیگ
- ج. افزایش تقارن مرکزی پیگ درون خط لوله (۱۴)

۴-۱-۲ طبقه بندی

۱-۴-۱-۲ بر اساس ساختمان

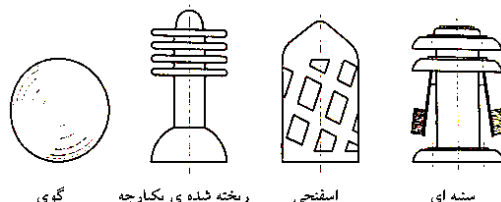


نمودار (۱-۲) دسته بندی پیگ ها بر اساس ساختمان (۱۴)

۲-۱-۲ بر اساس عملکرد

۱-۲-۴-۱ پیگ‌های مطلوب (عمومی)^۱

پیگ‌هایی مناسب برای انجام عملیات مکانیکی ساده مانند پاکسازی و آب بندی خط لوله با هدف آب زدایی^۲، زدودن مواد زائد به وسیله خراشنده ها^۳ (اندازه این خراشنده پیگ تقریباً ۹۰ الی ۹۵ درصد قطر داخلی است) وجود اسازی^۴ محصولات در خط. (۱۳)



شکل (۲-۱) پیگ‌های عمومی (۷)

۰. پیگ‌های تمیز کننده (خراشنده ها)

أنواع پیگ‌های تمیز کننده: سنبله‌ای، اسفنجه، ریخته شده یک پارچه و گوی‌ها



شکل (۲-۲) پیگ‌های تمیز کننده (پاکسازی) (۱۵)

تجهیزات: فقط برس‌ها^۵، فقط تیغه‌ها^۶ و یا ترکیبی از هر دو

در پیگ سنبله‌ای (با بدنه‌ای فولادی) برای زدودن رسوب سخت از برس‌های سیمی و گاهی تیغه‌های خراشنده نواری و برای رفع مواد نرم مانند واکس و لجن^۷ تیغه‌های لجن تراش^۸ الاستومری استفاده می‌شود. عامل نشت بندی درون لوله در این پیگ، کلاهک‌ها یا صفحات پلاستیکی^۹ است که در انواع استاندارد و مخروطی طراحی و ساخته می‌شوند و کنار گذر^{۱۰} واقع روی دماغه جلوی پیگ کنترل سرعت سیال را بر عهده دارد. در این پیگ‌ها با ایجاد اختلاف فشار بالا در دو طرف پیگ، جریانی عمدی از عقب به جلو بوجود آمده و این خود آلودگی شدید همراه با

^۱ Utility Pigs

^۲ Drying

^۳ functions

^۴ Batching

^۵ Brushes

^۶ Blades

^۷ Sludge

^۸ Plough

^۹ Elastomeric cups or Discs

^{۱۰} By pass

افزایش جریان در جلوی دستگاه، از مسیر کنار گذر تا لحظه بی حرکت ماندن و به عبارتی گریپاژ^۱ کردن پیگ ادامه می‌یابد و در نتیجه با نگاه داشتن ذرات جامد زده شده به حالت غیر همگن، از بسته شدن خط لوله جلوگیری می‌شود.

پیگ اسفنجی در ۳۰ نوع مختلف استاندارد از جنس مواد پلاستیکی با مقاومت بسیار بالا در مقابل پارگی و سایش برای نوسازی، پیگرانی نامنظم و مشکلات غیرمنتظره به کارمی رود. فلسفه وجودی پیگ ریخته شده یک پارچه ناشی از بازدارندگی هزینه‌های انسانی برای مونتاژ و تعویض قطعات پیگ‌های کوچک است و این اثر بخشی مهمترین عامل بلحاظ قیمت بوده و بهبود جزئی بازده خط لوله هزینه‌ی دو یا سه نفر ساعت را جبران می‌نماید. گوی‌ها به طور انحصاری پیگ آب بندی بوده و کاربست آن در برخی شرایط، خارج کردن ذرات جامد است و قابلیت عبور از خم با شعاع صفر درجه در فرایندهای پیچیده‌ای همچون سیستم‌های جمع آوری گاز را دارند. (۶)(۷)(۱۱)

ب. پیگ‌های آب بندی (جدا کننده یا لوله پاک کن)

انواع پیگ‌های آب بندی: سنبه‌ای، اسفنجی، ریخته شده یک پارچه و گوی‌ها



شکل (۳-۲) پیگ‌های جدا کننده (لوله پاک کن) (۱۵)

شرط نخستین در هر قطعه آب بندی، تماس مداوم آن با دیواره‌ی لوله است که با گذشت زمان باعث سایش همراه با کاهش بازده آب بندی می‌شود.

نقش اصلی مواد آب بندی که از دو نوع اصلی پلی اورتان ها (پلی اتر و پلی استر) ساخته می‌شوند در رفع آن مهم است.

برقراری تماس با دیواره‌ی لوله به واسطه انساط قطعه آب بندی در ار احتلاف فشار فراهم می‌شود و زمانی که نیروی شعاعی بزرگ‌تر از مقدار لازم باشد سایش بیش از اندازه خواهد شد.

ساختار استوانه‌ای پیگ آب بندی اسفنجی به وسیله تماس بدنی با دیواره، از فشار بروآحد سطح می‌کاهد و مقاومت آن در مقابل سایش با پوشش اورتان ریخته شده یک پارچه بالا می‌رود.

پیگ آب بندی نوع ریخته شده یک پارچه به طور خاص در واحدهای فرایندی استفاده می‌شود. کاربست گوی‌ها در فرایندهای خودکار بوده و وظیفه رفع میعانات را بر عهده دارند. (۷)

^۱ Stuck

۲-۱-۴-۲ پیگ‌های بازبین^۱ یا هوشمند^۲

انجام بازدید و بازررسی سلامت خط با جمع آوری اطلاعات مربوط به پارامترهای یکپارچه سازی خط لوله مانند ضخامت، خوردگی، کاهش فلز، قطر، انحنا، فشار، درجه حرارت و غیره^(۱۳)



شکل (۲-۴) پیگ هوشمند^(۱۶)

۲-۱-۴-۳ پیگ‌های خاص یا استثنایی^۳

انجام وظایف ویژه مانند تعمیر و نگهداری خطوط لوله (بررسی مشکلات خوردگی و آب زدایی با پوشاندن قسمت داخلی خط لوله با مهارکننده‌های خاص)^(۱۳)

۲-۱-۴-۴ پیگ‌های نشت یاب^۴

اندازه‌گیری و تعیین استحکام دیواره لوله بعد از تست نشتی^(۱۳)



شکل (۲-۵) پیگ نشت یاب^(۱۷)

۲-۱-۴-۵ پیگ‌های دیگر

تمیزکننده مغناطیسی، بای پس کننده‌ی فشار، راه انداز، ابزار بازررسی داخل لوله، تعیین کننده کاهش ضخامت فلز (خوردگی)، هندسی، خم یاب، عکس بردار، نقشه بردار و نمونه بردار^(۷)

۲-۱-۴-۳-۱ بر اساس سیر تکاملی

۲-۱-۴-۳-۱ از نگاه تولید

أ. نسل اول

پاکسازی و واکس زدایی نفت خام با کهنه و چرم یا چوب متراکم^۱ پیچیده شده با سیم (اوخرجنگ جهانی اول) و یا با ترکیب تیغه فولادی و آب بند چرمی^۲ (آغازجنگ جهانی دوم)

^۱ Inline Inspection Pigs

^۲ Smart Pigs

^۳ Special Duty Pigs

^۴ Leak Detection Pigs

^۵ Go – Devils

ب. نسل دوم

پاکسازی، واکس زدائی و حذف مواد زائد با آب بندهای فلزی کمی کوچکتر از قطر داخلی لوله

ج. نسل سوم^۱

جمع آوری و پردازش داده‌ها، پاکسازی و ضخامت سنجه دیواره زانویی‌ها و انحنا

د. نسل چهارم (هوشمند)^۲

شناسائی عیوب به وسیله روبات‌های ویژه با امکان غیر فعال کردن پیگ داخل لوله^۳، تشخیص و جوشکاری شکاف کوچک و نیز توانایی ارائه راه حل بازدارنده در مکان‌های مشخص شده^(۱۳)

۱-۲-۳-۴-۲-۱ از نکاه کلی

نخست گلوله‌های پارچه‌ای و نخی تولید و سپس بدنه‌هایی با ترکیبی از چرم و مواد اسفنجی و حتی پلاستیکی مرسوم شدند و در عصر کنونی انواع کاپ‌های اتیلنی کاربردی گردیدند.

أ. به لحاظ جهت حرکت

جداکننده تک جهته^۴ :

با حرکت از ابتدای مسیر به مقصد، تمیز کاری و رانش مواد زائد را به سمت بیرون در انتهای لوله انجام می‌دهد و ساختاری مانند پیگ استاندارد مجهر به کلاهک ساینده^۵ دارد.

جداکننده دو جهته^۶ :

این پیگ با تغییر فشار ثقل جریان در اثر پیش روی معکوس تست نشتی را در دو جهت انجام می‌دهد و ساختاری مانند پیگ دو طرفه مجهر به صفحات پلاستیکی^۷ دارد.^{(۱۱)(۱۳)(۷)}

ب. به لحاظ مکانیک حرکت (با حرکت آرام خزیدن)

روبات‌ها با حرکت آرام یک جهته پیگ رادر اتصالات Y, T غیر فعال می‌نمایند.^(۱۳)

۲-۱-۴-۴ تناسب پیگ با نوع ماده جابجا شده

برای مایعات لوله پاک کن^۸، برای جامدات سخت پیگ تمیز کننده برس دار^۹ و برای جامدات نرم پیگ تمیز کننده مجهر به تیغه^{۱۰} ها پیشنهاد می‌شود.^(۷)

^۱ smart pigs

^۲ intelligent pigs

^۳ unpiggable

^۴ Unidirectional

^۵ Scraper caps

^۶ Bidirectional

^۷ Rubber discs

^۸ Swabbing pig

^۹ Brush Cleaning pig

^{۱۰} Blead

۵-۴-۱-۲ مزايا

- ۱-۵-۴-۱-۲ بالا بردن عمر خط لوله و حفظ و نگهداري مؤثر و کارآمد آن
- ۱-۵-۴-۱-۲ افزایش بازده خط لوله با انجام پاکسازی(رسوب زدایی کامل جدار داخلی)
- ۳-۵-۴-۱-۲ انتقال بی درنگ فرآورده همراه با کاهش رسیک
- ۴-۵-۴-۱-۲ فرایندهایی مانند آب زدایی و جداسازی بین فرآورده با چگالی‌های مختلف
- ۵-۵-۴-۱-۲ خنک کاری درون لوله پس از فرایند هیدرواستاتیک خط گاز
- ۶-۵-۴-۱-۲ انجام بازررسی درون لوله با صفحات اندازه گیر (پیگ‌های هوشمند).
موارد ۲-۴-۱-۲ و ۲-۵-۴-۱-۲ مهمترین مزایای کاربست پیگ‌ها می‌باشند. (۱۲)

۶-۴-۱-۲ کاربرد

- ۱-۶-۴-۱-۲ پاکسازی داخلی، پوسیدگی‌ها و رسوبات ناشی از کاهش اصطکاک
- ۲-۶-۴-۱-۲ کاستن هزینه انرژی واحد حجم سیال و افزایش راندمان با حفظ دبی خروجی
- ۳-۶-۴-۱-۲ جداسازی محصول انتقالی در خط لوله با کاهش آلودگی آن و آب زدایی
- ۴-۶-۴-۱-۲ حذف مایعات و گازها و مواد خورنده با هدف کاهش خوردگی داخلی
- ۵-۶-۴-۱-۲ اندازه گیری هندسی لوله (تعیین محل خم‌ها و اتصالات و دهانه داخلی آن)
- ۶-۶-۴-۱-۲ بازررسی خط لوله و موقعیت‌یابی گرفتگی‌ها (۱۲)

۷-۴-۱-۲ قابلیت‌های هم زمان پیگ‌های چند منظوره به جای پیگ‌های هوشمند

تست هیدرو استاتیک، پاکسازی، جداسازی، آب زدایی و اندازه گیری ضخامت دیواره لوله (۱۲)

۸-۴-۱-۲ شرائط عبور پیگ از لوله کم قطر

بزرگتر بودن هم شعاع خم نسبت به سایر لوله‌ها (حداقل ۶-۱۰ برابر قطر برای لوله‌های ۳-۴ و حتی ۶ اینچ) و همچنین نسبت طول به قطر در پیگ با ابعاد کوچک‌تر، در مقایسه با انواع دیگر (۱۲)

۲-۲ پیگ‌رانی

پیگ‌رانی روشی داخلی برای پاکسازی، افزایش کارائی و فرایند نگهداری، گردآوری اطلاعات و بازبینی برای اهداف یکپارچه مدیریت است که امروزه شرکت‌های TDW، Girad، Endura و Rusen در این حوزه فعال هستند. علاوه بر توصیه بیکرو و همکاران به کاربرد آن برای حجمی متوسط بین ۱۰-۱۰۰ میلیون متر مکعب در روز از مایع جامانده، به منظور بازررسی‌های داخلی ناشی از اثر منفی بر روی رژیم جریان و مدیریت منظم رسوبات به کمک یک پیگ تعمیر و

نگهداری انجام می‌شود. متأسفانه برخی مهندسان با کاربست شیریکطرفه در خط اصلی به بهانه مشکلات اجرائی، تعویض بخشی از لوله با لوله ضخیم تر و ... با بی اهمیت جلوه دادن ساختار این فرایند؛ با ادعای گرانی بازسازی، به حذف گلوبه ها و استفاده از ایده های با تأثیر کم مبادرت می‌کنند. (۱۹)(۱۸)(۱۴)(۱۳)

۲-۱-۲-۱ تعریف

فرایند رفع انسداد، پوسیدگی و موائع نگهداشت خط بعد از مدت معین به دلایل داخلی یا خارجی

۲-۲-۲ سازوکار

پاکسازی، جداسازی، بازبینی داخلی با ابزار استوانه ای یا کروی (به کمک جریان سیال، ابزار جوشکاری برای تعمیر خط و یا کشش مصنوعی مجهر به فناوری حسگرهای نشت یاب) (۱۳)

۲-۲-۳-۱ هدف

۱-۲-۲-۱ بهره برداری دوباره از خطوط لوله بی مصرف رها شده

۲-۲-۲-۲ پر کردن خط لوله از آب برای آزمون فشار ایستایی ، تخلیه آب^۱ و خشک کردن

۳-۲-۲-۲ پیگرانی لوله همیشه فعال برای نیل به بازده مناسب

۴-۲-۲-۲ کاهش خوردگی بارانش پیگ و کنترل مؤثر آن

۵-۲-۲-۲ زدودن هر گونه زنگ زدگی و مواد اضافی درون خط لوله تازه احداث

۶-۲-۲-۲ برآورده اندازه خوردگی ناشی از کاهش ضخامت^۲ با استفاده از ابزار بازررسی^۳

۷-۲-۲-۲ حذف آب ساکن در نقاط پائین^۴ خط اصلی

۸-۲-۲-۲ جدا سازی بدون آلدگی فرآورده نامتجانس

۹-۲-۲-۲ انجام فرایندی مانند رانش پیگ، اندازه گیری قطر و طول خط^۵ جهت شناسایی ،

تعیین محل و اندازه عیوبی مانند فرورفتگی ها^۶ ، نقاط متورم^۷ و یا جوش اضافی^۸ (۱۱)

^۱ Hydrostatic test and De -watering

^۲ Metal loss

^۳ ILI Tools

^۴ Lowest spot

^۵ Geometry Pig

^۶ Dents

^۷ Buckles

^۸ Excess Penetration

۲-۲-۴ نتایج عدم انجام پیگرانی (عدم پشتیبانی و حمایت خط لوله)

۱-۴-۲-۲ وقوع پدیده انسداد^۱ به دلیل رسوب واکس (موم)

۲-۴-۲-۲ آنباشتگی مواد اضافه باقی مانده و تشکیل هیدرات^۲

۳-۴-۲-۲ پدیده نشت مایع در اثر خوردگی^۳ (۱۳)

۲-۲-۵ نتایج تکرار زیاد فرایند پیگرانی

۱-۵-۲-۲ کاهش شدید کارائی خط لوله (افزایش وقفه پیگرانی بدون مقاومت جریان)

۲-۵-۲-۲ وقوع پدیده پیگ چسبان (توقف پیگ)^۴ حین رانش در خط لوله (۱۹)

۲-۲-۶ عدم توانایی انجام فرایند پیگرانی*

افزایش فشار برای تسریع در تحویل مایعات و نیز بهره برداری غیر استاندارد با توجه به افزایش جریان انتقالی و نگهداری (پاکسازی و بازبینی) از چالش‌های پیش رو است.

بدون توجه به نقش رسوبات معمولی دردو چندان کردن ناتوانی مجموعه حین فرایند و منشاء تولید آنها (پودرسیاه، واکس، پارافین، مایه قیر، هیدرات‌ها، شن و سنگ، ذرات خیلی ریز، نفتالین، شیرابه و آب)، مشکلاتی مانند افزایش فشار عقب^۵، افت جریان^۶، کاهش کارائی سیستم^۷ و خطر انسداد کامل یا جزئی^۸ رافراهم نموده و بر کیفیت محصول اثر سوء می‌گذارند.^(۱۹)

۲-۲-۷ تحلیل کاهش راندمان جریان نفت خام به دلیل فرایند پیگرانی



نمودار (۲-۲) سازوکار کاهش راندمان جریان نفت خام به خاطر انجام فرایند پیگرانی (۱۴)

^۱ choking

^۲ hydrate

^۳ a pig becoming stuck

^۴ Unpigable

^۵ Back Pressure

^۶ Decreased Flow

^۷ Reduced System Reliability

^۸ Risk of Full or Partial Blockage

۸-۲ نکات منی فولد پیگرانی

منی فولد پیگرانی از (پیگران^۱، پیگ گیر^۲، سیال جهت رانش پیگ^۳، نشان دهنده^۴ و آشکارساز پیگ^۵) تشکیل می شود.

کاربست شیرهای توپی و دروازه‌ای به ترتیب در خطوط انتقال گاز و مایعات بوده و وسایل اندازه گیری فشار، قبل از بازکردن دریچه با هدف اطمینان از کاهش فشار درون تله به کارمی روند.

در این مجموعه لوله‌های تخلیه وظیفه کاهش فشار را بر عهده دارند و شیرکترل به عنوان فشار شکن عمل کرده که تنظیم فشار تله، قبل و بعد از خارج نمودن پیگ را انجام می دهد. (۱۲)

۹-۲ ایده (تله بلندتر با قطر لوله کمتر)

امروزه کاربست پیگ‌ها و پیگران‌ها براساس پیگ هوشمند برای پیگ‌های معمولی است و در طراحی لوله‌های جانبی جدید به مواردی چون کاربست مسیرهای طولانی (۷۰-۵۰) مایلی و لوله‌های با شعاع خم بزرگ؛ طراحی سه راهه‌ها با یک سمت مسدود^۶ و همچنین Full port بودن و امکان عبور پیگ از شیرآلات ورود به تله^۷ و شیریک طرفه توجه نمود. (۱۲)

۱۰-۲ فاصله مناسب برای ارسال و دریافت پیگ

فاصله بین ارسال و دریافت با توجه به سرعت پیگ و نوع آن، کیفیت، زبری سطح و نوع سیال متغیر است که برای خطوط انتقال نفت خام (۳۴۰ کیلومتر)، فرآورده‌های نفتی (۲۵۰-۲۴۰ کیلومتر) و خطوط گاز (۱۵۰-۱۶۰ کیلومتر) است. (۱۴)

۱۱-۲ مقررات ایمنی در فرایند پیگرانی

۱۱-۲-۱ منابع اصلی خطر

۱-۱-۱ انرژی جنبشی پیگ در حال حرکت

۲-۱-۱-۲ فشار تولیدی به وسیله سیال پیشران پیگ

۳-۱-۱-۲ ترکیب مواد قابل انفجار مایعات و یا گازهای قابل اشتعال در هوا

۴-۱-۱-۲ ترکیبات سمی ناشی از گازهای درون لوله حین فرایند پیگرانی

^۱ Lunching Trap

^۲ Receiving Trap

^۳ Fluid for Running Pig

^۴ Pig Signaler

^۵ Pig Detector

^۶ Barred tee

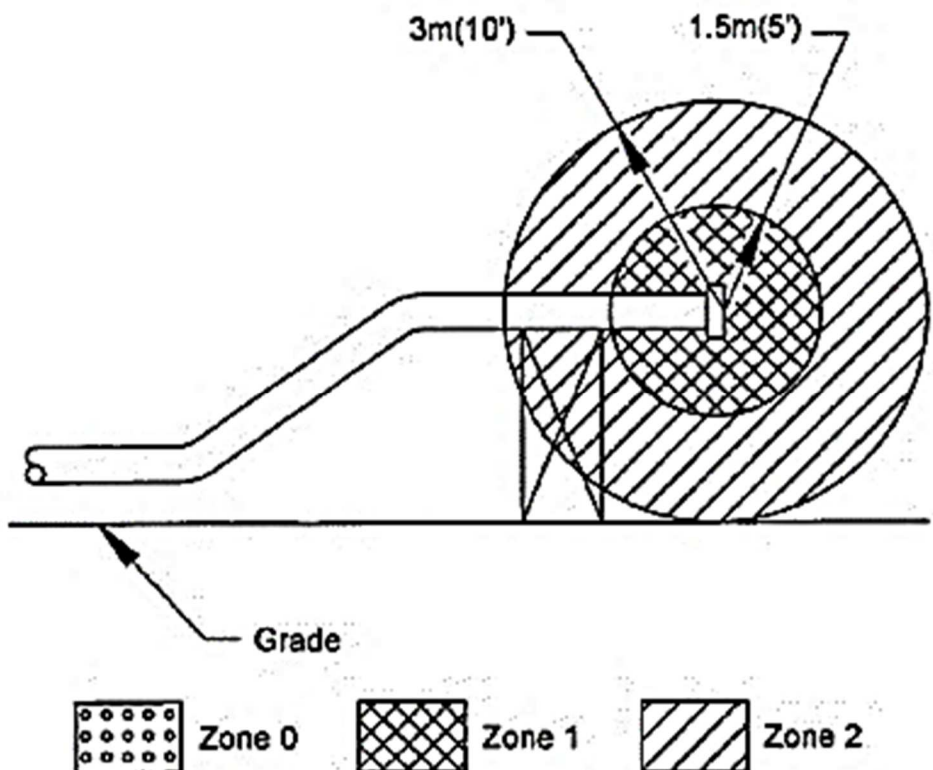
^۷ Trap

۲-۱۱-۲ خاموش کننده

کپسول های خاموش کننده پودری چرخدار ۱۲ و ۷۵ کیلوگرمی

۳-۱۱-۲ طبقه بندی نواحی خطرناک

محدوده اطراف توپکران و توپگیر (بادرب بسته) از نواحی خطرناک (zone ۱, ۲) است و کاربست هرگونه وسیله الکتریکی فاقد استانداردهای مربوطه مانند تلفن همراه و... در این منطقه، باعث ایجاد خطرات جبران ناپذیرمی شود. (۱۱)



شکل (۶-۲) تعیین نواحی خطردر پیگ گیر و پیگ ران براساس استاندارد API ۵۰۵ (۱۱)

فصل سوم

مباحث تخصصی پیگرانی

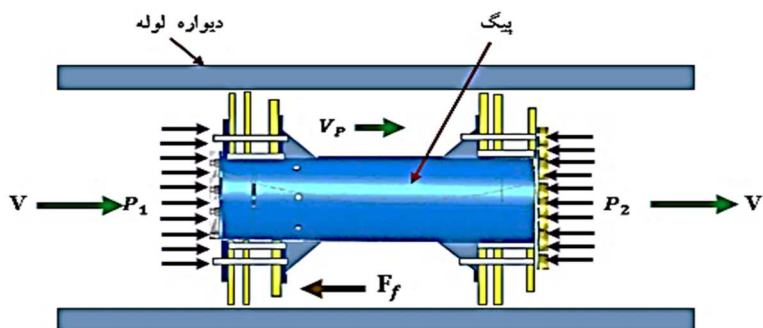
۱-۳ دینامیک حرکت پیگ^۱

۱-۱-۱ تحلیل سازوکار حرکت پیگ

پیگ با سرعت ثابت V_p به دلیل اصطکاک تماسی زیاد با لوله، کوچکتر از میانگین سرعت جریان V در لوله حرکت کرده و به طور مشابه جریان یک نیروی کششی^۲ روی آن ایجاد می‌نماید.

$$F_D = C_D A \rho \left[\frac{(V - V_p)}{2} \right]^2 \quad (1-3)$$

لذا پیگ به فرض پایداری جریان^۳، درجهٔت مخالف با نیروی اصطکاک^۴ F_f در تماس است.



شکل (۱-۳) حرکت پیگ در لوله

$$F_D = F_f = \eta N \quad (2-3)$$

در این رابطه، N مجموع اسکالر نیروهای عادی وارد بر روی لوله درجهٔت شعاعی از جانب پیگ و η ضریب اصطکاک تماسی است. برای حذف F_D از دو معادله بالا نتیجه می‌شود:

$$S_d = \sqrt{\frac{\eta N}{C_D \rho A}} \quad (3-3)$$

$S_P > S_d$ (سرعت سیال)، S_P (سرعت پیگ) و S_d (میانگین سرعت جریان) است به‌طوری‌که

بوده که بزرگی S_d با ریشهٔ مربع ضریب اصطکاک تماسی η و نیروی عادی بین پیگ و لوله نسبت مستقیم و با ضریب کششی C_D ، چگالی مایع و سطح مقطعی ازلوله A نسبت عکس دارد.

اگر پیگ با دو آب‌بند انتهائی هم قطر باشد رابطه (۳-۳) به صورت ذیل^۵ کاهش می‌یابد:

^۱ Pig Dynamic Motion

^۲ F_D or drag

^۳ Steady State

^۴ Friction Factor

^۵ Kosugi Equ

$$C_D = \frac{\epsilon K_d^4}{(1-K_d)^4} \quad (4-3)$$

کاربریست این رابطه برای پیگ با مقادیر بزرگ (نسبت قطر آب بند > 0.95) است.

از تجزیه جریان در رابطه (۵-۳) که موسوم به (رابطه تداوم جریان ناپایدار) می‌باشد تعریف جریان نشت ($N_L = Q_L / Q$) نتیجه می‌شود و در نهایت به رابطه (۶-۳) (جریان نشت) (منتهی می‌شود):

$$Q = Q_P + Q_L \quad (5-3)$$

$$N_L = 1 - \left(\frac{S_P}{S}\right) \quad (6-3)$$

در رابطه (۵-۳) یا، Q دبی تخلیه مایع، Q_P دبی تخلیه پیگ و Q_L دبی تخلیه جریان نشتی است
مثال: یک پیگ پاکسازی با دو آب بند انتها و قطر آب بند موثر ($D_d = 0.98 D$) که به جدار داخلی لوله نیروی صدر صد نرمایل N معادل 400 lb وارد می‌نماید. در لوله فولادی به قطر 10 اینچ ، سرعت جریان آب 6 فوت بر ثانیه و ضریب اصطکاک بین پیگ و لوله 0.06 می‌باشد. (۲۰)

اگر $\rho_{H_2O} = 1/94 \text{ slug/ft}^3$ باشد. مطلوب است سرعت حین حرکت (S_P) و نسبت جریان نشتی اطراف پیگ (۲۰). (N_L)

$$C_D = \frac{\epsilon K_d^4}{(1-K_d)^4} = \frac{\epsilon \times (0.98)^4}{[1-(0.98)]^4} \cong 2353$$

$$S_d = \sqrt{\frac{\eta N}{C_D \rho A}} = \sqrt{\frac{2 \times 0.06 \times 400}{2353 \times 1/94 \times 0.0545}} = 0.439 \text{ ft/s}$$

$$S_P = S - S_d = 1 - 0.439 = 0.561 \text{ ft/s}$$

$$N_L = 1 - \left(\frac{S_P}{S}\right) = 0.073$$

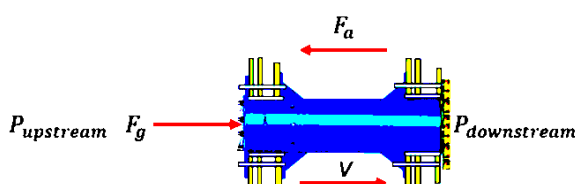
۲-۱-۲ آیا حرکت پیگ وابسته به فشار است؟

پیگ در خط لوله در اثرافت فشار حرکت می‌کند که براساس قانون دوم نیوتون نتیجه می‌شود:

$$M \cdot a = F_g + F_a \quad (7-3)$$

$$M \cdot a = (\Delta P \cdot A) + (B \cdot S + F_s)$$

در این رابطه B ضریب اصطکاک ویسکوز (چسبندگی)، S سرعت پیگ، F_g نیروی ناشی از اعمال افت فشار^۱ به بدنه از جانب پیگ، F_a نیروی اصطکاک بین پیگ و دیواره، F_s اصطکاک خشک و A مساحت پیگ می‌باشد.



شکل (۲-۳) نیروهای تأثیرگذار بر حرکت پیگ

^۱ ΔP or Pressure Drop

$$M \cdot \frac{dv}{dt} = \Delta P \cdot A + B \cdot v \quad (8-3)$$

اگر $F_s = 0$ باشد، طبق رابطه اخیر حرکت پیگ تا حد زیادی وابسته به فشار است. (۲۱)

۳-۱-۳ سرعت پیگ

برای مایع درحال جریان با فشار معلوم به سمت دستگاهی با فشار معین، بیشینه و کمینه سرعت با افت فشار کم، به ترتیب $4/6$ و $91/4$ متر بر ثانیه [منشاء ته نشینی شن، ماسه و جامدات] است.

در ضمن خرابی آب بندهای محرك^۱ پیگها به دلیل اثر منفی سرعت بر بازده آب بندی آنهاست.

البته سرعت مطلوب در پیگ پاکسازی (۵ - ۱) متر بر ثانیه است که با کاهش استخراج نفت، تا بازه سرعت (۰/۱ - ۰/۰) متر بر ثانیه افت نموده و خطر افزایش توقف پیگ، پتانسیل افزایشی (اشتباه راه اندازی) و رشد چالش‌های دریافت و زمان اجرای پیگرانی راباعث می‌شود. سرعت پیگ عمومی است

در سیال تراکم ناپذیر (مایع) و تراکم پذیر (گاز) به ترتیب (۵ - ۱) و (۷ - ۲) متر بر ثانیه است

در پیگ هوشمند برخلاف پیگ تمیز کننده، سرعت بسیار مهم بوده [روابط (۹-۳) و (۱۰-۳)] و

نیز رابطه (۱۱-۳) مربوط به سرعت مایع می‌باشد. (۲۵)(۲۴)(۲۳)(۲۲)(۲۱)(۱۸)(۱۷)(۱۶)(۱۵)(۱۰)(۱۱)(۹)(۷)

$$S = \frac{Q \cdot 10^{(P+15)/4}}{(P+15) \cdot d^2} \quad (9-3)$$

$$S = \frac{0.008 \times Q}{d^2} \quad (10-3)$$

$$S = 3537 \cdot \frac{Q_L}{d_L^2} \quad (11-3)$$

۱-۳-۱-۳ دلایل اهمیت کنترل سرعت

۱-۱-۳-۱ افزایش پتانسیل بازیابی پیگ‌های متوقف شده در زمان نگهداری محصول.

۲-۱-۳-۱ کاهش آب در فیلد های کهنه‌گی (فرسودگی‌ها و زنگ زدگی‌ها) و ادامه پیگ‌رانی

۳-۱-۳-۱ افزایش زمان اجرا (تأثیر بر توانایی تمیز کردن بهینه خط لوله)

۴-۱-۳-۱ بهینه سازی حذف مواد زائد باقی مانده در خط لوله مانند شن و ماسه

۵-۱-۳-۱ جلوگیری از توقف پیگ و اطمینان از شروع و دریافت موفقیت آمیز آن (۱۸)

۲-۳-۱-۳ روش کنترل سرعت

بالا بودن فشار وارد از جانب آب بندها، افزایش نیروی اصطکاک و افت سرعت پیگ را به همراه دارد پس به یک شعاع بهینه درحال افزایش قطر آب بندها در تمام نقاط سیال نیاز است. (۱۴)

۱-۴-۳ نیروی رانش

با بزرگتر شدن پیگ و افزایش قطر لوله، اختلاف بالادست و پائین دست آن کاهش می‌یابد. (۹)

^۱ Driving sals

نیروی رانش (psi)	اندازه لوله (اینج)
۳۰-۴۰	۲-۶
۲۰-۳۰	۸-۱۲
۱۵-۲۰	۱۴-۱۸
۱-۱۰	۲۰-۲۴
۵-۱۰	۲۶-۳۰
۱-۵	۳۲-۴۸

جدول (۳) رابطه قطر لوله با نیروی رانش پیگ

طبق کاتالوگ شرکت SAYAI وزن بدن پیگ ۲۶ اینچ $W_B = 150 / 164801 \text{ kg}$ می باشد. نیروی رانش [نیروی اصطکاک] براساس ضریب اصطکاک $f = 0.6$ بین لاستیک پلی اورتان و بدن کربن استیل چنین است:

$$F_B = f \times W_B = 90 / 0.988806 \text{ kg}_f$$

Seal gaid ها در پیگ از جنس پلی اورتان هستند. برای مطالعه بیشتر در خصوص عایق پلی اورتان به (پیوست ب) مراجعه شود. (۲۵)(۱۱)(۲۶)

۱-۵ محاسبه زمان پیمودن مسافت بین دو پیگ سیگنال به وسیله پیگ

با مدیریت زمان از لحظه روشن شدن چراغ پیگ سیگنال اول (۵۰۰ متری تله) تا روشن شدن چراغ پیگ سیگنال دوم (پس از شیوروودی تله) احتمال توقف پیگ کاهش می یابد.

$$T = (0.05064506) \times D^2 \times \frac{L}{Q} \quad (13-3)$$

$$T = (7745148252572325) \times D^2 \times \frac{L}{Q} \quad (14-3)$$

در روابط (۱۳-۳) و (۱۴-۳) دبی به ترتیب بر حسب barrel/day و m^3/hr می باشد. طبق رابطه (۱۳-۳) برای لوله به قطر ۲۶ اینچ و با مقادیر معلوم دبی، طی نمودن مسافت از پیگ سیگنال ۵۰۰ متری تا تله دریافت بر حسب دقیقه از رابطه ذیل بدست می آید:

$$T = \frac{10270 / 818168}{Q} \quad (15-3)$$

$Q(\text{m}^3/\text{hr})$	$Q(\text{barrel/day})$	$T(\text{min})$	$Q(\text{m}^3/\text{hr})$	$Q(\text{barrel/day})$	$T(\text{min})$
۱۴۰۰	۲۱۱۳۲۸	۷/۳۴۰	۱۷۰۰	۲۵۶۶۲۴	۶/۰۴۲
۱۴۵۰	۲۱۸۸۸۵	۷/۱۰۰	۱۷۵۰	۲۶۴۱۷۲	۵/۸۷۰
۱۵۰۰	۲۲۶۴۳۳	۶/۸۵۰	۱۸۰۰	۲۷۱۷۲۰	۵/۷۱۰
۱۵۵۰	۲۳۳۹۸۱	۶/۶۳۰	۱۸۵۰	۲۷۹۲۶۸	۵/۵۵۲
۱۶۰۰	۲۴۱۵۲۹	۶/۴۲۰	۱۹۰۰	۲۸۶۸۱۵	۵/۴۰۶
۱۶۵۰	۲۴۹۰۷۷	۶/۲۲۵	۱۹۵۰	۲۹۴۶۶۳	۵/۲۷۰

جدول (۲-۳) زمان پیمودن مسافت بین دو پیگ سیگنال به وسیله پیگ

^۱ Factor Friction or f

۳-۱-۶ محاسبه مدت زمان پیمودن مسافت بین دو مرکز به وسیله پیگ

از روابط بند ۳-۱-۵ (مدت زمان تلاقي پیگ) در محل وقوع حادثه عبارت است از:

$Q(m^3/hr)$	$Q(barrel/day)$	T	hr	min	$Q(m^3/hr)$	$Q(barrel/day)$	T	hr	min
۱۴۰۰	۲۱۱۳۲۸	۳۳	۴۵/۶		۱۷۰۰	۲۵۶۶۲۴	۲۵	۵۸/۲	
۱۴۵۰	۲۱۸۸۸۵	۳۲	۳۴/۸		۱۷۵۰	۲۶۴۱۷۲	۲۵	۱۳/۸	
۱۵۰۰	۲۲۶۴۳۳	۳۱	۲۹/۴		۱۸۰۰	۲۷۱۷۲۰	۲۴	۳۱/۸	
۱۵۵۰	۲۳۳۹۸۱	۳۰	۲۸/۸		۱۸۵۰	۲۷۹۲۶۸	۲۳	۵۲/۲	
۱۶۰۰	۲۴۱۵۲۹	۲۹	۳۱/۲		۱۹۰۰	۲۸۶۸۱۵	۲۳	۱۴/۴	
۱۶۵۰	۲۴۹۰۷۷	۲۸	۳۷/۸		۱۹۵۰	۲۹۴۶۶۳	۲۲	۳۸/۴	

جدول (۳-۳) مدت زمان پیمودن مسافت بین دو مرکز

۳-۱-۷ بررسی حرکت پیگ در شاعر D و ۷D

اندازه تماس نشت بند^۱ با جداره داخلی لوله به مراتب کمتر از حالت ۵D است؛ لذا، شاعر مناسب برای حرکت پیگ بدون توقف در لوله با توجه به شکل های (۳-۳) و (۴-۳) و (۴-۴) هست.

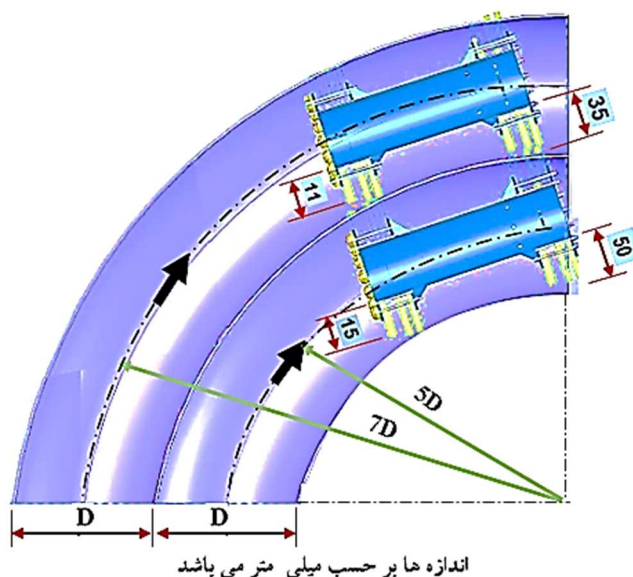
۵Mili متر → نشت بند جلوی پیگ بعد از طراحی در نرم افزار سالیدورک با شاعر ۵D

۱۵Mili متر → نشت بند عقب پیگ

۳۵Mili متر → نشت بند جلوی پیگ بعد از طراحی در نرم افزار سالیدورک با شاعر ۷D

۱۱Mili متر → نشت بند عقب پیگ

شکل (۳-۳) تغییرات نشت بند ها در نرم افزار سالیدورک^۲ برای شاعر های ۵D و ۷D (شرکت SAYAI)



شکل (۴-۳) شبیه سازی حرکت پیگ در نرم افزار سالیدورک برای شاعر ۵D و ۷D (شرکت SAYAI)

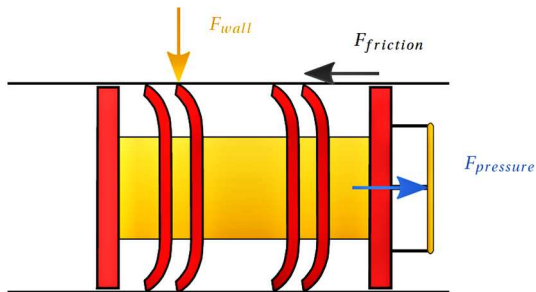
¹ seal

² Solid Work

۸-۱-۳ مدل سازی پیگرانی

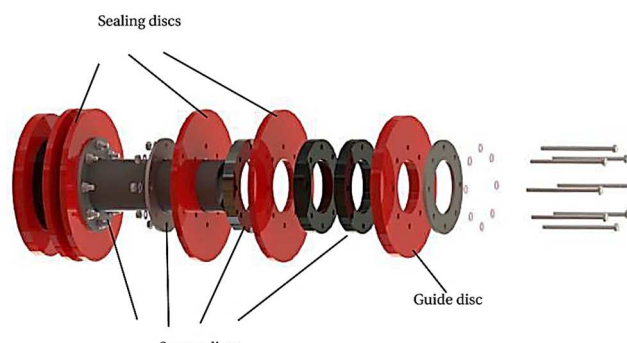
سه نیروی بر پیگ وارد می شود:

- أ. نیروی عادی بر روی دیواره لوله^۱ (مورد بحث در مکانیک جامدات)
- ب. نیروی اصطکاک مخصوص به سطح داخلی خط لوله یا نیروی اصطکاک سایشی بین دو سطح متحرک (مورد بحث در تریبیولوژی)
- ج. نیروی فشاری حرکت^۲ (مورد بحث در مکانیک سیالات)



شکل (۵-۳) نیروهای وارد بر پیگ (۲۶)

نیروی دیواره با ملاحظات هندسی همراه با فشار دیفرانسیل بر پیگ تعیین می شود و پارامتر خروجی سرعت بر هر پیدیده ای تأثیر می گذارد. به طور مثال با افزایش سرعت پیگ، فشار دیفرانسیل بر آن کاهش یافته و پدیده اصطکاک رخ می دهد. در پیگ دو طرفه آب بند های آب بندی بوده حکم نگهدارنده ها را ایفا می نمایند که با آب بند های فشاری^۳ به هم می چسبند. با افزایش مقاومت آب بند های بزرگتر در برابر تغییر شکل، پیگ به وسیله آب بند های لاستیکی هدایت کننده^۴ (ابتدا و انتهای) از طریق خم ها هدایت می شود.



شکل (۶-۳) پیگ کنار گذر دو طرفه

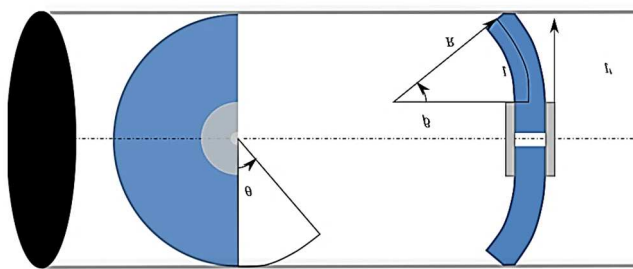
^۱ F_{wall}
^۲ $F_{friction}$
^۳ $F_{pressure}$
^۴ sealing disks
^۵ spacer disks
^۶ Guide disks

۱-۸-۱ سرعت

در پیگ تعادل بین نیروی فشار رانش و نیروی اصطکاک، سرعت راتعیین می‌نماید؛ زیرا، بزرگی این مؤلفه به محیط آسیب می‌رساند که با کاهش نیروی فشار رانش^۱ به طور معمول در بازه (۱-۵) مترب ثانیه با ایجاد یک کنارگذر، به آرامی حرکت می‌نماید. بیشینه فشار رانش در سرعت صفر است در حالیکه در سرعت نامتعارف این مقدار به صفر می‌رسد.

۲-۸-۱ نیروی دیواره

آب بند آب بندی ذیل تحت فشرده‌گی خمی با خط مرکزی با قوسی به شعاع R و زاویه β است.



شکل (۷-۳) آب بند آب بندی

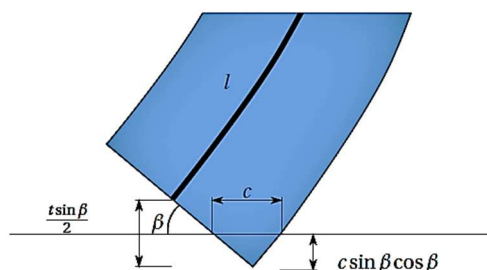
$$l = R \times \beta \quad (16-3)$$

$$l' = R \times \sin \beta \quad (17-3)$$

در روابط بالا l و l' به ترتیب طول ثابت وارتفاع خط مرکزی آب بند هستند که در پائین قوس خط مرکزی، هندسه آب بند آب بندی راتعیین می‌کنند. β محدوده ابعادی؛ C طول تماس؛ r_p ، r_s و t مقادیر ورودی و l ، l' مقادیر خروجی‌اند.

$$l' = r_p - \frac{t \times \sin \beta}{r} + c \sin(\beta) \cos(\beta) \quad (18-3)$$

$$l = r_s - r_p \quad (19-3)$$



شکل (۸-۳) تأثیر طول تماس و زاویه β بر لبه آب بند آب بند

مجموع مومنتوم‌های داخلی و خارجی براساس رابطه (۲۹-۳) در الگو استاتیک شکل (۹-۳) باید صفر باشد. زیرا با تغییر شکل آب بند جلو، تعادل لحظه‌ای اطراف نقطه A ایجاد شده و تمام نیروها، فشارها

^۱ driving pressure force

وتنش هندسی دچار دگرگونی می‌شوند.

در این الگو تنش فشاری σ_t ، کششی σ_c و حلقوی σ_{hoop} ؛ افت خارجی (دیواره و اصطکاک) را تعدیل کرده و نیز نیروها و تنش‌های وابسته برآب‌بند انعطاف پذیر هم زمان با نیروهای دیواره و اصطکاک وارد می‌شوند.

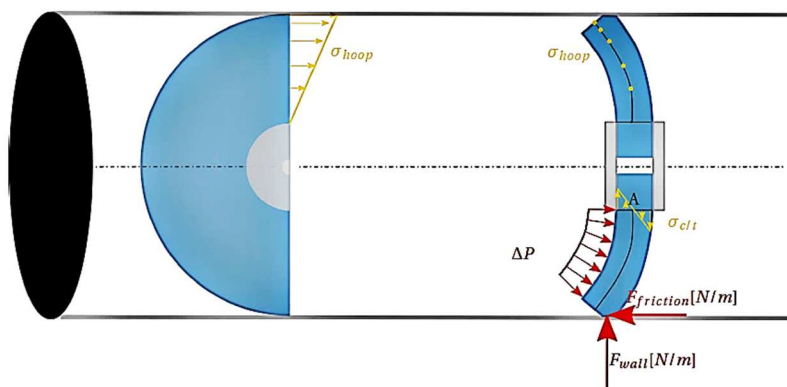
به طور لحظه‌ای در نقطه A مومنتوم ناشی از نیروهای دیواره، اصطکاک و فشاربرروی آب‌بند پیگ به ترتیب در رابطه‌های ذیل بیان شده‌اند که $R_{\Delta P}$ معادل $(R - \frac{t}{2})$ است.

$$M_w = F_{wall} \left(R (1 - \cos(\beta)) - \frac{t \cos \beta}{2} \right) r d\theta \quad (20-3)$$

$$M_f = F_{friction} (r - r_p) r d\theta \quad (21-3)$$

$$M_{\Delta P} = \Delta P \times R \Delta P \Delta \theta \times \left(\frac{R_{\Delta P} \beta}{2} - \frac{R_{\Delta P} \times \sin(\beta)}{4} + r_p \times (1 - \cos(\beta)) \right) \quad (22-3)$$

طبق شکل ذیل M_w ناشی از نیروی عادی دیواره و مومنتوم اصطکاک^۱ موازی با دیواره مربوط به نیروی اصطکاک است و $M_{\Delta P}$ به دلیل ایجاد افت فشار نرمال در سطح آب‌بند آب‌بندی است و مومنتوم داخلی M_c/t از جانب تنش خمس فشاری σ_t و کششی σ_c ؛ و مومنتوم داخلی M_{θ} از سمت تنش حلقوی σ_{hoop} از طریق فشار اطراف ایجاد می‌شود.



شکل (۹-۳) عوامل وارد بر سطح آب‌بند آب‌بند

ضریب اصطکاک ثابت μ ، نسبت دونیروی اصطکاک و دیواره است:

$$\mu F_{wall} = F_{friction} \quad (23-3)$$

مدول (E) و نسبت پواسون (ν) رابطه تنش راتوصیف نموده و نیز در نقطه A مومنتوم‌هایی ناشی از تنش فشاری و خمشی به‌طور لحظه‌ای وجود دارد که در آن‌ها I همان اینرسی است:

$$I = \frac{t^2 r_p d\theta}{24} \quad (24-3)$$

$$M_c = \frac{t^2 E r_p d\theta}{24 R} \quad (25-3)$$

^۱ $M_{friction}$

$$M_t = \frac{t^r Er_p d\theta}{2\epsilon R} \quad (26-3)$$

در نقطه A مومتوم ناشی از تنش حلقوی M_θ ، به جای حل تحلیلی، عددی ارزیابی می‌شود.
چون سهم تنش در زاویه β یکپارچه است پس تغییر متغیر (از صفر تا β) است.

$$M_\theta = \frac{ER^r t d\theta}{(1-\nu^r)} \int_0^\beta \frac{\alpha - \sin(\alpha)}{\alpha + \frac{r_p}{R}} (1 - \cos(\alpha)) d\alpha \quad (27-3)$$

$$M_f + M_w - (M_{\Delta P} + M_t + M_c + M_\theta) = 0 \quad (28-3)$$

نیروی دیواره با ظاهرشدن $d\mu$ در هر سهم مومتوم طبق رابطه ذیل بیان می‌شود:

$$F_{\text{wall}} = \frac{M_{\Delta P} + M_t + M_c + M_\theta}{(R(1-\cos(\beta)) - \frac{t \cos \beta}{r}) r d\theta + \mu(r - r_p) r d\theta} \quad (29-3)$$

برای پیگ در حال حرکت، فشار رانش برابر نیروی اصطکاک می‌باشد؛ لذا :

$$\Delta P \pi r^r = F_{\text{friction}} \pi r \rightarrow \Delta P = \frac{\pi F_{\text{friction}}}{r} \quad (30-3)$$

نیروی دیواره با جایگذاری رابطه (30-3) در (29-3) بدست می‌آید:

$$F_{\text{wall}} = \frac{M_{rt} + M_{rc} + M_\theta}{(R(1-\cos(\beta)) - \frac{t \cos \beta}{r}) r d\theta + \mu(r - r_p) r d\theta - (\frac{\mu}{r} + (\frac{R_{\Delta P} \beta}{r} - \frac{R_{\Delta P} \times \sin(r \beta)}{r} + r_p \times (1-\cos(\beta))))} \quad (31-3)$$

برای مطالعه بیشتر درباره نیروهای خارجی و داخلی وارد بر پیگ به (پیوست ج) مراجعه شود. (27)

۲-۳ جستاری بر مفاهیم مکانیک سیالات با رویکرد افت فشار

طبق نمودار (۱-۳) پدیده اصطکاک وافت فشاردو رکن مهم چه در حرکت و چه در توقف پیگ است زیرا پدیده اصطکاک هم زمینه کاهش کارائی پیگ و هم نشت مقداری از مایعات و رسوبات را در دیواره فراهم می‌کند.



نمودار (۱-۳) تأثیرات ضربی اصطکاک

به طور کلی افت فشار وقتی ناشی از خواص سیال باشد پیگ را به حرکت در می‌آورد ولی به تنها می‌باشد ناشی از اصطکاک است. (۲۸)(۱۲)

۱-۲-۳ عوامل تأثیرگذار بر رژیم سیال

رفتار رژیم سیال ناشی از سرعت، چسبندگی (ویسکوزیته)، چگالی و اصطکاک بین آن و دیواره بوده و قوانین حاکم بر آنها از جمله قانون برنولی، بقاء جرم و پیوستگی هست. انرژی (مجموعه

سطوح جنبشی، استاتیک و پتانسیل) با واژه سرعت مفهوم پیدا کرده و باپیروی از فشار ناشی از سیال، براساس قانون برنولی در تمام نقاط لوله این مجموعه با هم برابر و یکسان است. با افزایش انرژی، فشار استاتیک(P_s) افزایش می‌یابد.

$$P_1 + K_1 + Z_1 = P_2 + K_2 + Z_2 = \text{Constant} \quad (32-3)$$

ضریب اصطکاک تابع جنس لوله، ضریب زبری دیواره داخلی و جنس سیال می‌باشد و عامل ایجاد سرعت و افت فشار در اثر نسبت قطر لوله به دبی است که بالافراش آن، دبی افت می‌کند. چگالی^۱ به طور نسبی دبی و فشار استاتیک را افزایش می‌دهد و با بالارفتن دما کاهش می‌یابد.

$$m = A_n \cdot P_n = \text{Constant}, n=1 \text{ و } 2 \quad (33-3)$$

$$Q_v = A_n \cdot S_n = \text{Constant}, n=1 \text{ و } 2 \quad (34-3)$$

از سوئی با توجه به روابط (۳۳-۳) و (۳۴-۳) قانون بقاء جرم و پیوستگی ضامن حرکت پیوسته جسم شناور در سیال هستند زیرا جرم کلی حاصل از جریان عبوری در طول لوله علاوه بر تأثیرگذاری بر جسم، در طول مسیر ثابت است. (۲۹)

۲-۲-۳ فشار

۱-۲-۲-۳ تعریف فشار و هد خط لوله (شیب گرادیان هیدرولیکی)

تغییر حجم با افزایش فشار (فشار گیج مایعات) در اثر روابستگی به دما و نیز وجود سطح آزاد^۲ ناشی از پرکردن تمام ظرفیت (بر عکس گازها) ازویژگی‌های مهم مایعات می‌باشد.

فشار می‌تواند عامل تراکم لایه‌های مایعات و حرکت (تغییر شکل سیال)، مقدار تنش برشی^۳ یا مؤلفه عمودی نیرو (مؤلفه مماسی وارد بر سیال به ازاء واحد سطح) نسبت به سطح تعریف شود.

$$\text{USCS Sys. } P = \frac{(h \times S_G)}{2/31} \quad (35-3)$$

$$\text{SI Sys. } P = \frac{(h \times S_G)}{0.102} \quad (36-3)$$

در سیال ساکن چون تنش برشی صفر است، نیرویی عمودی بر سطح وارد می‌شود. ترسیم هد (h) در مراحل طراحی با فرض عدم وجود اختلاف ارتفاع در طول مسیر و نیز انتخاب اندازه لوله ها؛ به وسیله افت فشار انجام می‌شود و از جمله دلایل کاربست آن می‌توان به یکنواخت ماندن افت فشار (با شیب متناسب با دبی) تازمان ثابت بودن اندازه لوله یا چگالی نسبی و کارکرد مطمئن فرایند در تست هیدرولاستاتیک در فشار مجاز و پارامتر طراحی لوله اشاره کرد. (۲۹)(۳۰)(۳۱)

^۱ Flow rate

^۲ ρ

^۳ Free Surface

^۴ Normal Stress

۲-۲-۲-۳ انواع فشار

۱-۲-۲-۲-۳ فشارهیدرستاتیکی (γz) یا تغییر فشار ناشی از ارتفاع (انرژی پتانسیل مایع)

۲-۲-۲-۲-۳ فشاراستاتیکی (P) یا فشار مستقل از انرژی جنبشی

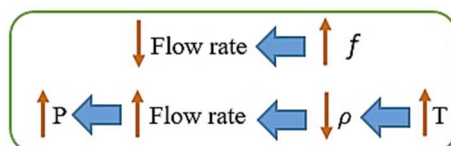
۳-۲-۲-۲-۳ فشاردینامیکی ($\frac{1}{2} \rho S^2$)

$$\frac{P_1}{\rho g} + \frac{S_1^2}{\rho g} + Z_1 = \frac{P_2}{\rho g} + \frac{S_2^2}{\rho g} + Z_2 = \text{Cet} \quad (37-3)$$

در رابطه برنولی (۳۷-۳) مجموع این فشارها ثابت است و فشار کل نسبی نامیده می‌شود. (۳۰)

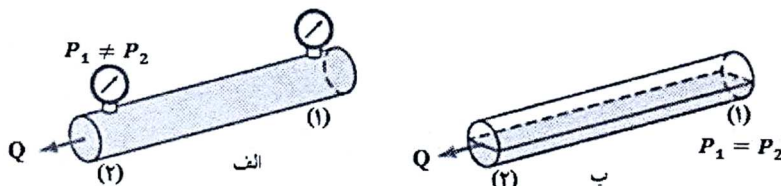
۳-۲-۳ رابطه بین فشار، دمای سرعت

دبی نشان دهنده مقدار حجم عبوری سیال در یک نقطه از لوله در واحد زمان^۱ و از قابلیت‌های قابل اندازه‌گیری آن می‌باشد که با بزرگتر شدن قطر لوله افزایش می‌باید.



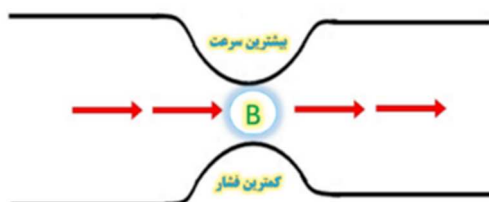
نمودار(۲-۳) رابطه بین دبی ، فشار ، ρ ، دما و ضریب اصطکاک

در مسائل مهندسی اولین فرض مهم پر بودن لوله از سیال از دوم انتخاب دبی جریان در منطقه‌ی غیرگذار هست زیرا در منطقه گذار رابطه دقیقی برای اصطکاک وجود ندارد و در ضمن توجه به تأثیر جاذبه بر حرکت سیال در حالت نیمه پروپر در شرائط طراحی مهم است (۳۰)



شکل(۱۰-۳) تأثیر جاذبه بر حرکت سیال در حالت نیمه پروپر

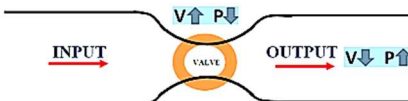
قبل از تنگنا، سیال فشاری بالاتر از خروجی همراه با افزایش سرعت (دراثر حرکت از محیط پرفشار به کم فشار) دارد که پس از رسیدن به بیشینه خود [پس از عبور] در دبی ثابت، افت می‌نماید.



شکل(۱۱-۳) شرائط حاکم بر تنگنا

^۱ Flow
^۲ Flow Rate

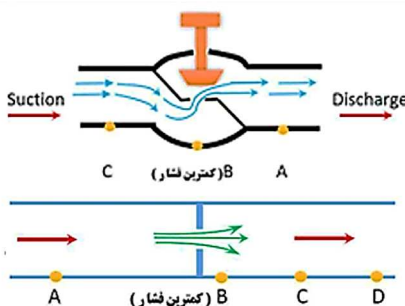
بانصب محدود کننده^۱ ای مانند شیرکنترل در نقطه B (به جای تنگنا)، فشارسیال دینامیک با دخالت عوامل افت جریان افزایش و با عبورسیال از مجرادراثر افزایش فشاردوباره سرعت کاهش می‌یابد.



شکل (۱۲-۳) شرایط شیر و خروجی آن به لحاظ سرعت و فشار (نویسنده)

۴-۲-۲-۳ دلیل نصب شیرکنترل در فشارشکن

شیرکنترل در حالت افزایش مقدار خروجی ازبیشینه و کاهش ورودی از کمینه مجاز جریان مایع را طبق نقطه تنظیم^۲ در صورت انحراف یکی از مقادیر مکش، رانش و دبی کنترل می‌نماید. دلیل حرکت سیال تبدیل انرژی پتانسیل فشاری به انرژی سرعتی دراثر کاهش فشار در شیر است.



شکل (۱۳-۳) طرح کلی تعیین نقاط کم فشار در شیر کنترل (نویسنده)

افت فشار ورودی باعث افزایش فشار خروجی و دبی سیال [و بر عکس] شده و با بستن ناگهانی خروجی، آشفتگی با سرعت صوت^۳ و بالا رفتن فشار در بالا دست همراه است. (۳۰)

۴-۲-۲-۴ افت فشار در لوله ها

۴-۲-۲-۵-۱ مفاهیم

ضریب دارسی که به برنولی اضافه می‌شود افت فشار یا افت هد در انرژی سینماتیک سیال در لوله مستقیم است و ضریب اتلاف انرژی به ازای واحد وزن [هد اتلاف انرژی] ناشی از اصطکاک بین دیواره مجرای سیال جاری در محفظه بسته خوانده می‌شود و برای مجرای پرازسیال در مهندسی شیمی بکار می‌رود. در مهندسی مکانیک یک چهارم آن با نام ضریب فانینگ لحاظ می‌شود.

$$h_f = \frac{\Delta P}{\rho g} = f \frac{L}{D} \frac{U^2}{2g} \quad (38-3)$$

در شیرآلات این افت با دخالت ضریب بی بعد k به صورت $\frac{V^2}{2g}$ K نمایش داده می‌شود. مقداری متغیر است که دراثر تغییر ناگهانی مسیر و افت انرژی، بوجو می‌آید و به م Jennor سرعت

^۱ Restriction

^۲ NPSH

^۳ Set point

^۴ Acoustic

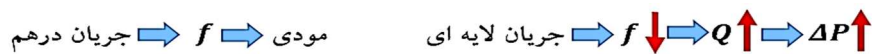
بستگی دارد کاربست این ضریب در تنگی خم، شیر کترل، دریچه ورود و خروج سیال در Re وافت کوچک است. ضرایب افت به شدت به ضرایب واقعی طراحی و تولید وابسته اند. آشفتگی [توأم با کاهش] با تعدیل مستقیم افت فشار و با تأثیر پذیری از طول، زبری، مجدور سرعت سیال، جرم مخصوص و لزجت ناشی از قطر به طور غیر مستقیم ایجاد شده و با افت فشار ناشی از اصطکاک لحظه می شود. (۳۰) (۳۱) (۳۲) (۳۳)

۲-۲-۵ روش های محاسبه ضریب اصطکاک و افت فشار

تأثیر گذاری افت فشار از ضریب اصطکاک بیشتر است. در طول معلوم بستگی به شرائط جریان دارد ولی طبق نمودار (۳-۳)، با افزایش Re ، ضریب اصطکاک کاهش می یابد. حرکت مایع با توجه به دبی، ρ ، μ و زبری؛ در مسیر ناشی از افت هد دارسی وايسباخ^۱ است:

$$SI \text{ sys. } P_{km} = 6/2475 \times 10^{10} f Q^2 \left(\frac{S_G}{D^3} \right) \quad (40-3)$$

ضریب اصطکاک، رینولدز، قطر و زبری در ناحیه آشفته کامل $[Re > 4000]$ عامل افزایش دبی است.



نمودار (۳-۳) روابط جریان لایه ای نمودار (۳-۴) رابطه جریان آشفته با ضریب اصطکاک

نمودار مودی برای یافتن ضریب اصطکاک در لوله ها بکار می رود. (مراجعه به پیوست ۵) رابطه ای برای تخمین این ضریب در جریان ناپایا برای انتخاب دبی گذرا وجود ندارد اما رابطه (۴۲-۳)^۲ به روش سعی و خطأ در ناحیه آشفته توصیه می گردد. این ضریب از رابطه (۴۳-۳)^۳ [در کنار نمودار مودی] محاسبه می شود که از طریق رابطه (۴۱-۳) افت هد [افت فشار برابر ρ] را بدست می دهد.

$$\Delta P = f \frac{L \rho U^2}{D} \quad (41-3)$$

$$\frac{1}{\sqrt{f}} = -2 \log \left(\frac{1}{2 \sqrt{D}} \frac{\varepsilon}{U} + \frac{2 / \zeta}{Re \sqrt{f}} \right) \quad (42-3)$$

$$\frac{1}{\sqrt{f}} = -1 / 8 \log \left[\left(\frac{\varepsilon}{2 \sqrt{D}} \right)^{1/11} + \frac{7 / 9}{Re} \right] \quad (43-3)$$

جواب نهایی اختلاف کم بین ضریب اصطکاک محاسباتی و فرضی بوده؛ در غیر این صورت با جایگذاری مقدار محاسباتی در سمت راست محاسبه تا رسیدن به اختلاف یک هزارم ادامه می یابد.

$$f = 0.25 \div [\log_{10} \left(\frac{e}{D} + 5 / 74 \div Re^{0.9} \right)] \quad (44-3)$$

با خیلی بزرگتر شدن Re ، دبی در حالات آرام و آشفته به ترتیب خطی و غیر خطی است.^۴

^۱ Darcy Vaicbah Equ

^۲ Colebrook Equ.

^۳ Haaland Equ.

^۴ Swame-Jain Equ.

^۵ Povasileh Equ

$$(\text{For Laminar Flow}) \Delta P = 32 \frac{\mu LV}{D^4} = 128 \frac{\mu LQ}{\pi D^4} \quad (45-3)$$

$$(\text{For Turbulent Flow}) \Delta P = f \frac{L}{D} \frac{\rho U^2}{2} \quad (46-3)$$

محاسبه افت فشار محصولات پالایشگاهی با رابطه ذیل^۱ انجام می‌شود و نشان می‌دهد که افت فشار باید متناسب است در این جا فاکتور C به عنوان نشانه زبری جایگزین f می‌شود.

$$h = 4,37 \times L \times \left[\frac{(Q/C)^{1/852}}{D^{4/117}} \right], C = 60 - 150 \quad (47-23)$$

$$\text{SI Sys. } Q = 9,0379 \times 10^{-8} CD^{2/117} \left(\frac{P_{km}}{S_g} \right)^{1/54}$$

مثال: مقدار افت فشار در واحد طول در لوله افقی اگر $U = 0.025$ و $D = 5cm$ و $v_{H2O} = 10^{-6}$.

$$R_e = \frac{UD}{v} = 1250 < 2000 \quad \text{Laminar Flow} \rightarrow \frac{\Delta P}{L} = 32 \frac{\mu V}{D^4} = 0.032$$

مثال: دبی آب لوله ۱۲ کیلومتری با قطر ۳۰ سانتی‌متر، ۲/۰۰۴ متر مکعب بر ثانیه است. اگر زبری نسبی ۰/۰۰۴ و دما از ۶۵ به ۳۰ درجه سانتیگراد کاهش یابد. مطلوب است اتلاف انرژی (هد) اگر $S=2/83$ باشد.

در 30°C و 65°C مقادیر μ و ρ به ترتیب $10^{-4} \times 8/807$ و $10^{-4} \times 980/284$ لحظه گردید.

$$R_e_{30^{\circ}\text{C}} = \frac{\rho SD}{\mu} = 9/61 \times 10^5, \frac{\varepsilon}{D} = 0.013$$

$$R_e_{65^{\circ}\text{C}} = \frac{\rho SD}{\mu} = 1/004 \times 10^5, \frac{\varepsilon}{D} = 0.013$$

$$f_{65^{\circ}\text{C}} \cong f_{30^{\circ}\text{C}} = 0.0282 \rightarrow h_f = \frac{\Delta P}{\rho g} = f \frac{L}{D} \frac{S^2}{g} = 460 \text{ m}$$

روابط افت فشار در خطوط لوله و مشتقات آن در (پیوست ذ) ارائه شده اند. (۴۳)(۳۰)(۳۳)(۲۴)

۶-۲-۲-۳ افت فشار ناشی از شیر کشونی، توپی و اتصالات فرایند پیگرانی

۶-۲-۲-۳-۱ مفاهیم

Full open بودن شیر صنعتی در شرائط دینامیک افت فشار کمی متناسب با مجدور دبی تخلیه به دلیل مقاومت، تغییر جهت مایع، اصطکاک لوله، تغییرات غیر قابل اجتناب وضع جریان ایجاد می‌کند. وجه تمایز بین اندازه اتلاف شیر و افت‌های کوچک تفاوت در ضریب افت با توجه به اندازه بازکردن است. به دلیل عدم برگشت فشار در ناحیه پائین دست در فرایند پیگرانی، عامل ضریب تخلیه C_{df} [رابطه بین جریان و افت فشار] با بازبودن شیر تخلیه کاهش می‌یابد.

$$C_{df} = \frac{V}{\sqrt{g H_u}} \quad (48-3)$$

در شیرهای با دهانه Full open مانند کروی، مخروطی و شیر کشونی کanal دار^۲ به دلیل صفر بودن افت فشار خالص؛ در صورت نوسان فقط بین صفر تا یک ضریب تخلیه C_d ، باید ابتدا کاهش انرژی و شرائط کلی جریان درافت‌های کوچک بررسی شود و سپس از طریق نتایج این تحلیل

^۱ Hazen Williams Equ

^۲ Conduit Gate valve

به ارزیابی دقیق افت فشار و ΔH اقدام کرد. تلفات ناشی از ضریب اصطکاک در لوله نباید در تعیین افت فشار و ΔH نقش داشته باشند؛ زیرا، در صورت تأثیرگذاری برای تشخیص افت فشار خالص باید اتلاف خط لوله را کاهش داد.

$$C_d = V / \sqrt{2 g \Delta H + V^2} \quad (49-3)$$

لازم به یادآوری است ضرایب تخلیه C_v و C_{df} همیشه به سمت بی نهایت میل می‌کنند.

$$C_v = Q / \sqrt{(\Delta P / S_g)} \quad (50-3)$$

$$C_{df} = V / \sqrt{2 g \Delta H} \quad (51-3)$$

شیرکشوئی قابلیت بهره برداری در حالت Full Close یا Full Open را دارد و لی برای تنظیم جریان نامناسب است؛ زیرا در حالت Full Open، سطح مقطع جریان آن به اندازهٔ ناچیز کمتر از مقطع لوله بوده ودبی زیاد و افت فشار کم (معادل یک سوم فشار کل سیال) که باکترل دقیق به ۲۰-۱۵ درصد کاهش می‌یابد) است.

کاربست روابط ذیل به ترتیب در محاسبه افت فشار در فرایندهای با جریان مایع و مجهز به شیر است.

$$\Delta P = \frac{2 K Q S}{A} \quad (52-3)$$

$$\Delta P = K \left(\frac{\rho v^2}{g_c} \right), \quad K = \frac{\epsilon f l}{d} \quad (53-3)$$

بهترین راندمان شیرآلات در بیشینه و کمینه دبی به ترتیب ۷۰٪ بازو و ۳۰٪ بازمی باشد. (۲۹)(۳۲)(۲۲)

۳-۲-۶-۲-آشنایی با شیر کشوئی (دروازه‌ای)

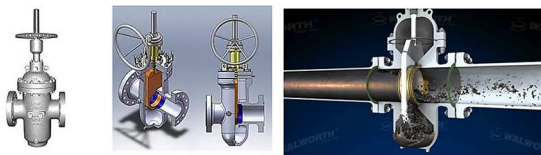
کاربرد شیرتوبی^۱ و شیرکشوئی^۲ به ترتیب در خطوط انتقال گاز و مایعات است. (بخش ۲-۸)
در مقایسه با سایر شیرها، نوع کشوئی کمترین افت فشار [$\Delta P = 0$] را ایجاد کرده و فقط به حالت Full Close یا Full Open برای کنترل جریان استفاده می‌شود؛ زیرا، آب بند به مرور دچار خوردگی شده و از آب بندی می‌افتد که با بهره برداری نیمه باز افت فشار را افزایش می‌دهد.
کاربست شیرکشوئی کanal دار، ورودی تله دریافت و خروجی تله ارسال است (بخش ۱-۲-۴).
از نام‌های دیگر آن، دریچه‌ی کشوئی^۳ و شیرکشوئی موازی^۴ (با حرکت خطی) بوده که افت فشار سیال عبوری را به خاطر همسانی اندازه درگاه داخلی با قطر لوله ورودی به پائینترین سطح می‌رساند. این شیردارای بندآوریست که در نیمه پائینی آن سوراخی هم قطر و هم راستا با لوله در حالت Full Open قرار دارد تا عبور بدون توقف پیگ از مقطع لوله و شیر در زمان پاکسازی خط و آسیب نزدن به تجهیزاتی مانند نشیمنگاه در خطوط انتقال تضمین شود.

^۱ Ball valve

^۲ Gate valve

^۳ Slide Valve

^۴ Parallel Gate Valve



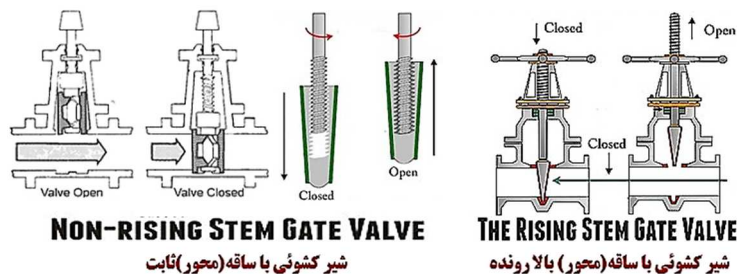
شکل (۱۴-۳) Conduit Gate valve

در شیرهای Conduit Gate valve برای دمای متوسط و پائین (45°C - 232°C) از نشیمنگاه تغلون^۱ و برای دماهای بالاتر از (538°C) از نشیمنگاه‌های فلزی استفاده می‌شود.

با توجه به (شکل ۱۵-۳) شیرهای کشوئی Conduit در دو نوع موجود هستند:

به کمک نگهدارنده‌ها، هنگام باز بودن دهانه شیر (مسیر جریان سیال) مانند جدار داخلی لوله، به طور کامل صاف و بدون مانع است که به همین خاطر نه افت فشار بیش از حد تولید می‌کند و نه مانع حرکت پیگ می‌شود.

در آن دسته شیر^۲ به ساقه^۳ متصل است و قسمت پائین آن به خاطر یک مهره متصل به صفحه، درجا گردش کرده و مانند نوع اول، هنگام بازبودن دهانه مسیر همواری را برای جریان فراهم می‌کند.



شکل (۱۵-۳) شیر کشوئی با ساقه‌های بالارونده و ثابت

شیرهای کشوئی مجهز به موتورهای الکتریکی (شیرهای عملگر با نیروی موتور)^۴ با فراهم آوردن قابلیت باز نمودن مسیر جریان تا حد نیاز، شرائط کاربست به عنوان یک شیرکنترل در فرایند پیگرانی را میسر می‌کنند. (۳)(۳۲)(۳۳)(۳۴)(۳۵)(۳۶)(۳۷)(۳۸)(۳۹)(۴۰)

۳-۶-۲-۳ آشنایی با شیر توپی

شیر توپی مانند شیر کشوئی در حالت Full Open یا Full Close بهره برداری شده؛ با این تفاوت که به خاطر عدم بھرمندی از کلاهک^۵ و درپوش^۶، کاربست آن در فرایندهای با سیال مایع و گاز می‌باشد و دارای افت فشار ناچیز حدود 0.5 bar است.

^۱ PTFE

^۲ Hand Wheel

^۳ Stem

^۴ Mov or Motorized valve

^۵ Bonnet

^۶ Cap

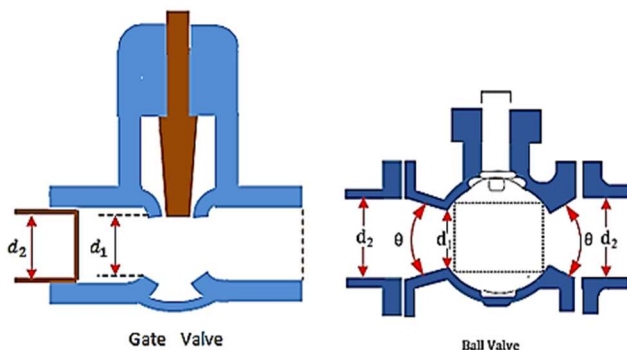
این شیراز پرکاربرد ترین شیرهای صنعت پتروشیمی است و زمانی قابلیت پیگرانی در خطوط لوله را دارد که مساحت مجرای عبور سیال، به طور دقیق برابر با مساحت لوله^۱ باشد.



شکل (۱۶-۳) Full Bore Ball Valve

در شیرهای توپی از نشیمنگاه تفلون و دیگر پلیمرهای فلوئوردار با قابلیت آببندی بسیار بالا در محدوده دمای (550°C تا 270°C) و از نوع گرافیتی در ماهای حدود (260°C تا 270°C) استفاده می‌شود. در ماهای بالاتر نشیمنگاه با لایه‌ای از مواد مقاوم‌تر پوشانده می‌شود. (۴۲)(۲۲)(۳)

۴-۶-۲-۲-۳ محاسبه افت فشار ناشی از شیرهای کشوئی و توپی



شکل (۱۷-۳) تفاوت ساختار داخلی شیرهای کشوئی و توپی (۴۶)

$$\left[\begin{array}{l} \text{For Gate Valve } K_1 = \lambda f_T \\ \text{If } \beta = 1, \theta = 0 \\ \text{For Ball Valve } K_1 = 3 f_T \end{array} \right] \quad (54-3)$$

$$(55-3)$$

$$\left[\begin{array}{l} \lambda - 10'' = 0.014 \\ 12-18'' = 0.013 \\ 18-24'' = 0.012 \end{array} \right]$$

For Gate Valve & Ball Valve If $\beta < 1$ and $\theta \leq 45^{\circ}$

$$K_1 = \frac{K_1 + (\sin\theta/\gamma) \times [0.018 \times (1-\beta^2) + 2/6 \times (1-\beta^2)]}{\beta^2} = \frac{2K_1}{\beta^2} \quad (56-3)$$

For Gate Valve & Ball Valve If $\beta < 1$ and $45^{\circ} < \theta \leq 180^{\circ}$

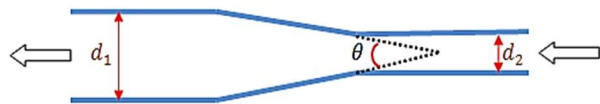
$$K_1 = \frac{K_1}{\beta^2} + \frac{0.018 \sqrt{(\sin\theta/\gamma)(1-\beta^2)}}{\beta^2} + \frac{(1-\beta^2)}{\beta^2} = \frac{3K_1}{\beta^2} \quad (57-3)$$

^۱ Full Bore

(Friction Factor) f_T انواع لوله‌های فولادی تمیز با سیال درون لوله جریانی تمام آشته

۵-۶-۲-۲-۳ محاسبه افت فشار ناشی از اتصالات

$$h_f = k \frac{v^2}{g} \quad [\text{If } \beta_1 = \frac{d_1}{d_2}, \quad \beta_2 = (\frac{d_1}{d_2})^2 = \frac{a_1}{a_2}] \quad (58-3)$$

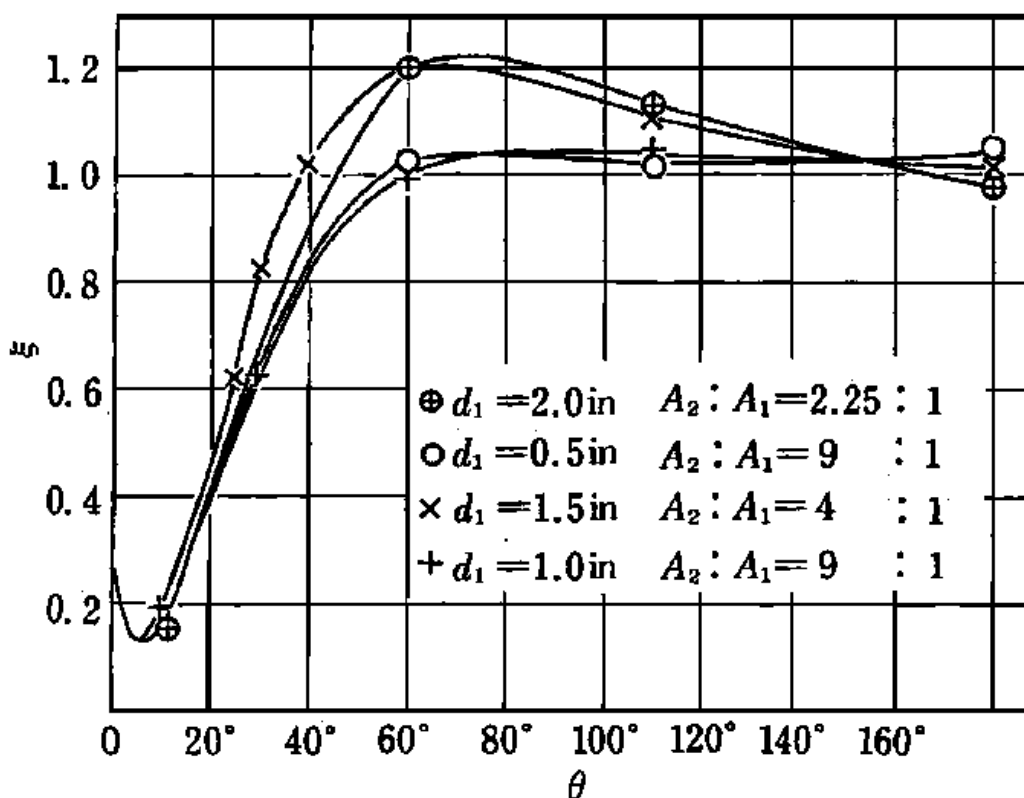


شکل (۱۸-۳) کاهنده ناگهانی و تدریجی

$$\text{If } \theta \leq 45^\circ \quad k_v = \frac{\sqrt[4]{(\sin \theta)^2} (1 - \beta^2)}{\beta^2} = \frac{k_1}{\beta^2} \quad (59-3)$$

$$\text{If } 45^\circ \leq \theta \leq 180^\circ \quad k_v = \frac{\sqrt[4]{(\sin \theta)^2} (1 - \beta^2)}{\beta^2} = \frac{k_1}{\beta^2} \quad (60-3)$$

کاربست نمودار ذیل نیز مشخص نمودن مقدار k در کاهنده ناگهانی و تدریجی است:



نمودار (۵-۳) افت هد ضریب K برای یک کاهنده



شکل (۱۹-۳) افزاینده ناگهانی و تدریجی

$$\text{If } \theta \leq 45^\circ \quad k_v = \frac{\sqrt[4]{(\sin \theta)^2} (1 - \beta^2)}{\beta^2} = \frac{k_1}{\beta^2} \quad (61-3)$$

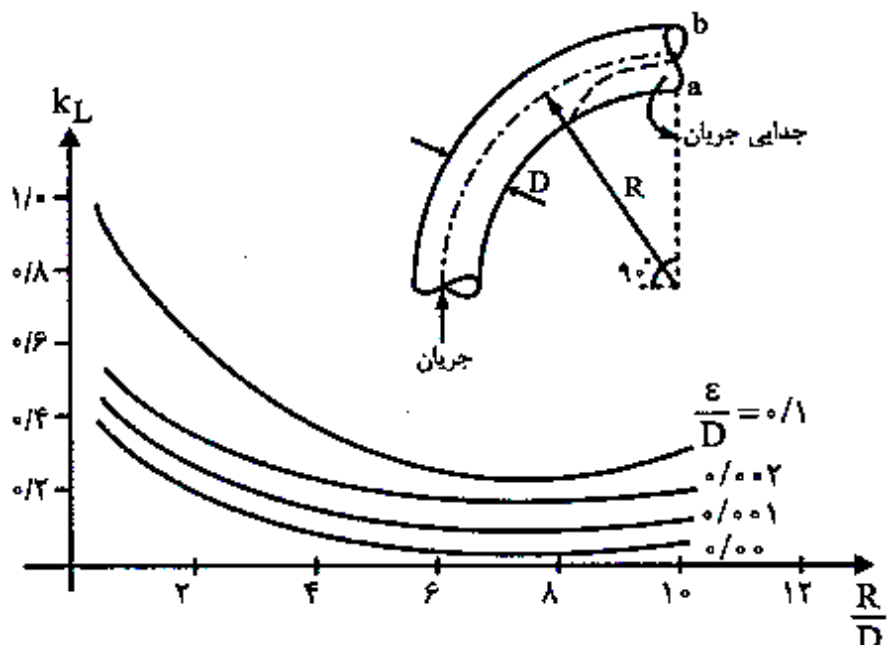
$$\text{If } 45^\circ \leq \theta \leq 180^\circ \quad k_2 = \frac{(1-\beta^*)}{\beta^*} = \frac{k_1}{\beta^*} \quad (62-3)$$

انها، خمها و نیز زانویی‌ها، افت بزرگتری نسبت به لوله مستقیم دارند. این افتها در اثر جدایش جریان دردیواره و چرخش جریان ثانویه حاصل از شتاب جانب مرکز است.

با محاسبه $\frac{\epsilon}{d}$ و $\frac{r}{d}$ از نمودار (۳-۵) مقدار k برای زانویی به دست می‌آید:

زیری متوسط (ε)		نوع لوله (نو)
فوت	میلی‌متر	
۰/۰۳	۹ تا ۰/۹	فولاد بدون درز
۰/۰۱	۳ تا ۰/۳	بتنی
۰/۰۰۶	۰/۹ تا ۰/۱۸	تخنهای
۰/۰۰۸۵	۰/۲۶	چدنی
۰/۰۰۵	۰/۱۵	آهن سفید
۰/۰۰۴	۰/۱۲	چدنی قیراندواد
۰/۰۰۱۵	۰/۰۴۶	فولاد تجاری
۰/۰۰۰۵	۰/۰۰۱۵	مسی یا برنجی
صف	صف	شیشهای

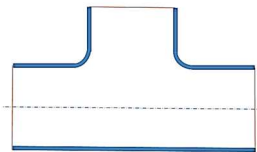
جدول (۳-۴) زیری متوسط لوله‌های تجاری



نمودار (۳-۶) ضریب افت جریان در زانویی 90°

نکته مهم در عملکرد بهینه پیگ در سرتاسر خط لوله، ثابت بودن قطر داخلی است و با بزرگ گرفتن ضخامت داخلی لوله، نسبت قطر داخلی به لوله اصلی کوچکتر می‌شود. در صورت ناچار بودن، قطعه میانی^۱ برای حذف اثر تغییرات ناگهانی ضخامت مناسب است.

^۱ Transition piece



شکل (۲۰-۳) سه راهه

$$(\text{Flow thru run}) k = 20 f_T \quad (63-3)$$

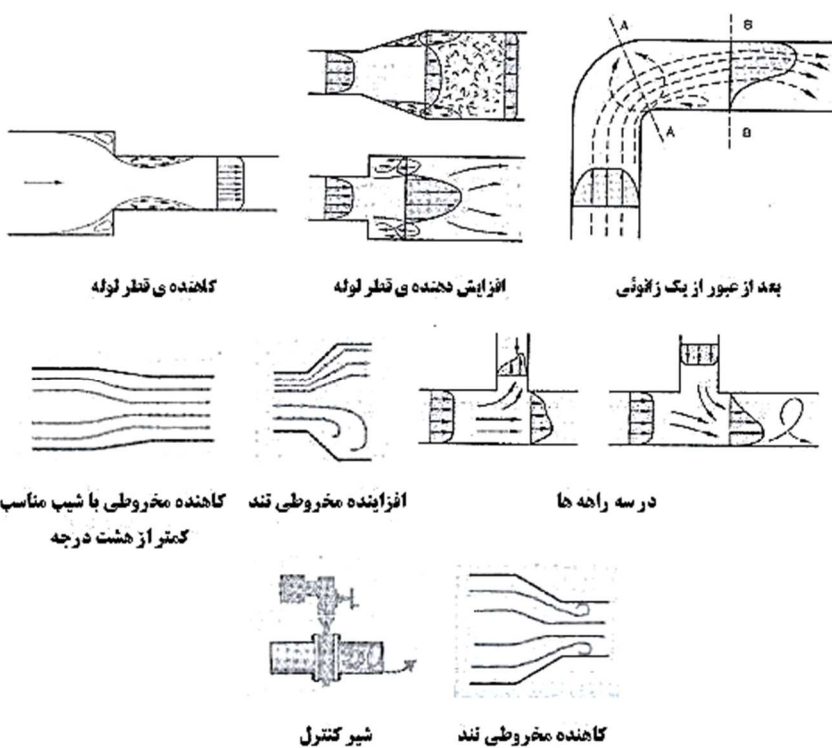
$$(\text{Flow thru branch}) k = 60 f_T \quad (64-3)$$

در صورت تلاقی پیگ با مانعی مانند شیریا اتصالاتی همانند زانو و سه راهه (به فرض کاهش سطح مقطع مسیر به وسیله این اجزاء) سرعت سیال افزایش می یابد.

اگر در این نقاط، ناگهان سطح مقطع افزایش یابد، سرعت و فشار سیال افت می کند. این پدیده در مایعات دو فازی اتفاق می افتد.

رسوبات مواد جاروب شده به وسیله پیگ در راستای تغییر شکل پروفایل جریان اثر می گذارند.

در شکل (۲۱-۳) این تغییر شکل در برخی ادوات مکانیکی آمده است.



شکل (۲۱-۳) تغییرات شکل پروفایل جریان در برخی ادوات مکانیکی

به منظور گیرنکردن پیگ در اتصالات لازم است ضمن کنترل افزایش ناگهانی سطح مقطع، به همسان بودن آن با سطح مقطع لوله توجه نمود. برای مطالعه بیشتر به بند ۷-۱-۳-۷ (شبیه سازی حرکت پیگ در نرم افزار سالید ورک^۱ برای شعاع $D_{\text{و}} 7D$) مراجعه شود. (۴۳)(۴۴)(۴۵)(۲۹)(۱۲)

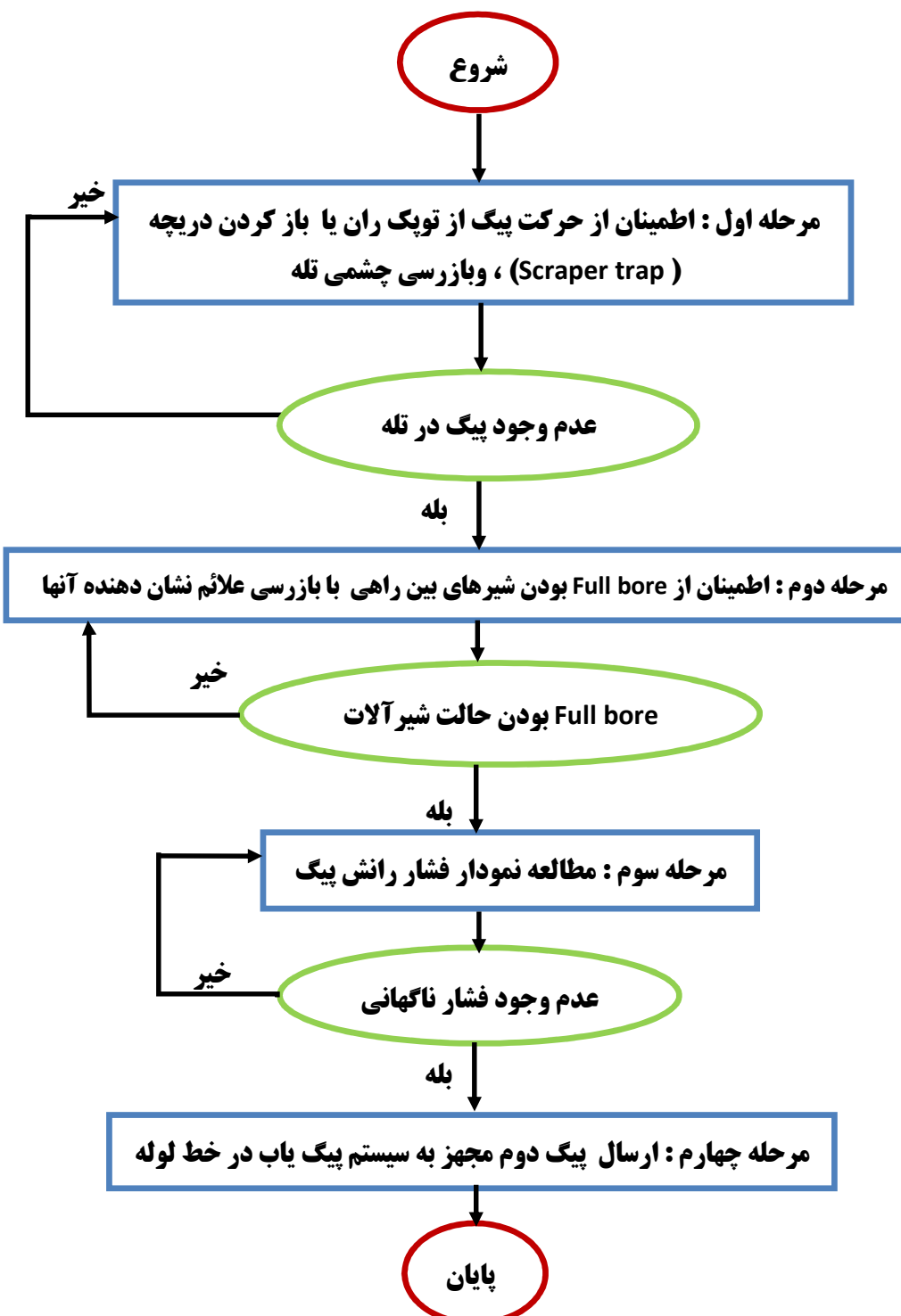
^۱ Solid Work

فصل چهارم

بحث و نتایج

۱-۴ بررسی علل زمانی و مکانی توقف پیگ و راهکارها

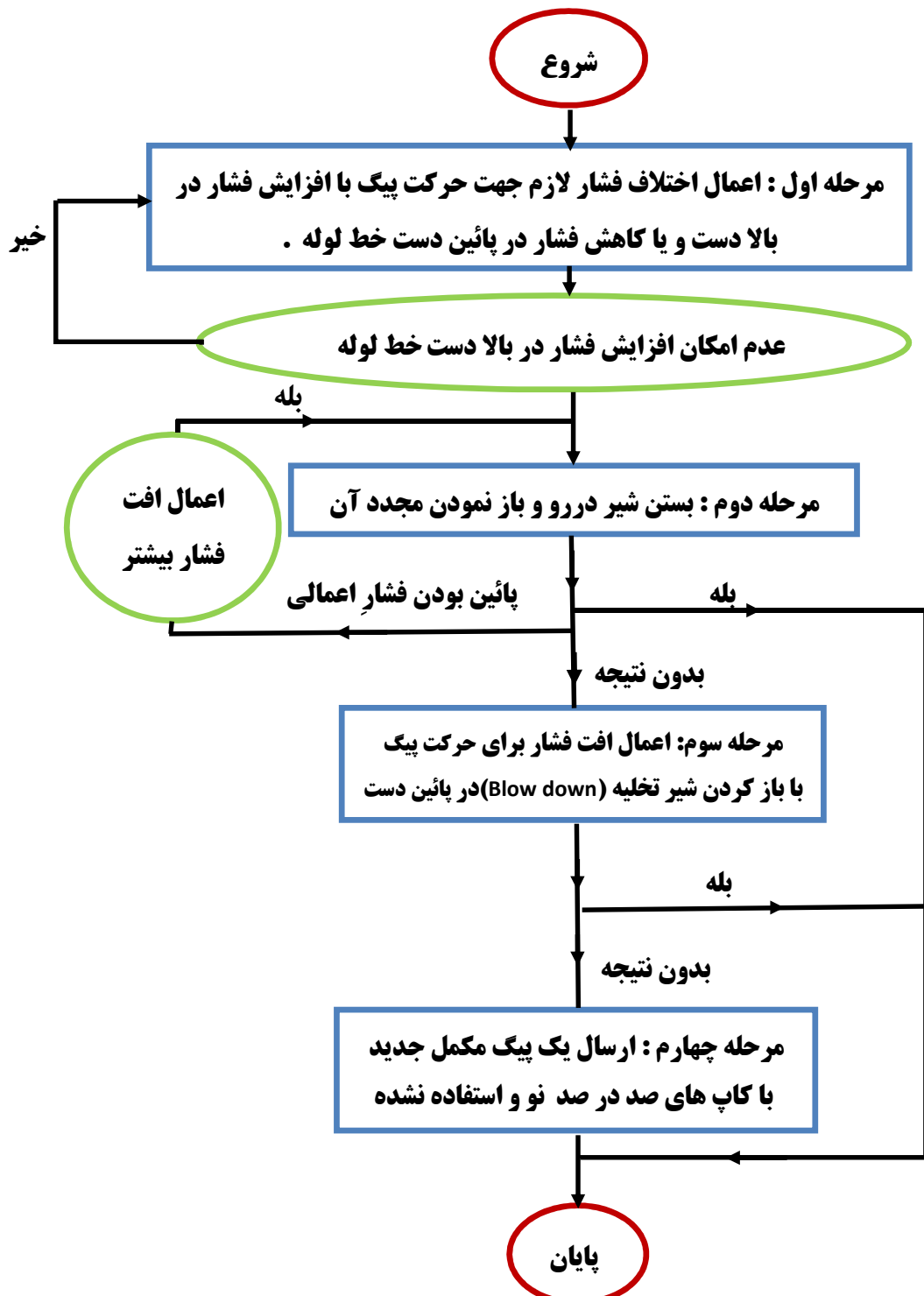
۱-۱-۴ حالت اول توقف در محل نامعلوم



نمودار (۱-۴) توقف پیگ در محل نامعلوم (۴۶)

۲-۱-۴ حالت دوم توقف حین فرایند

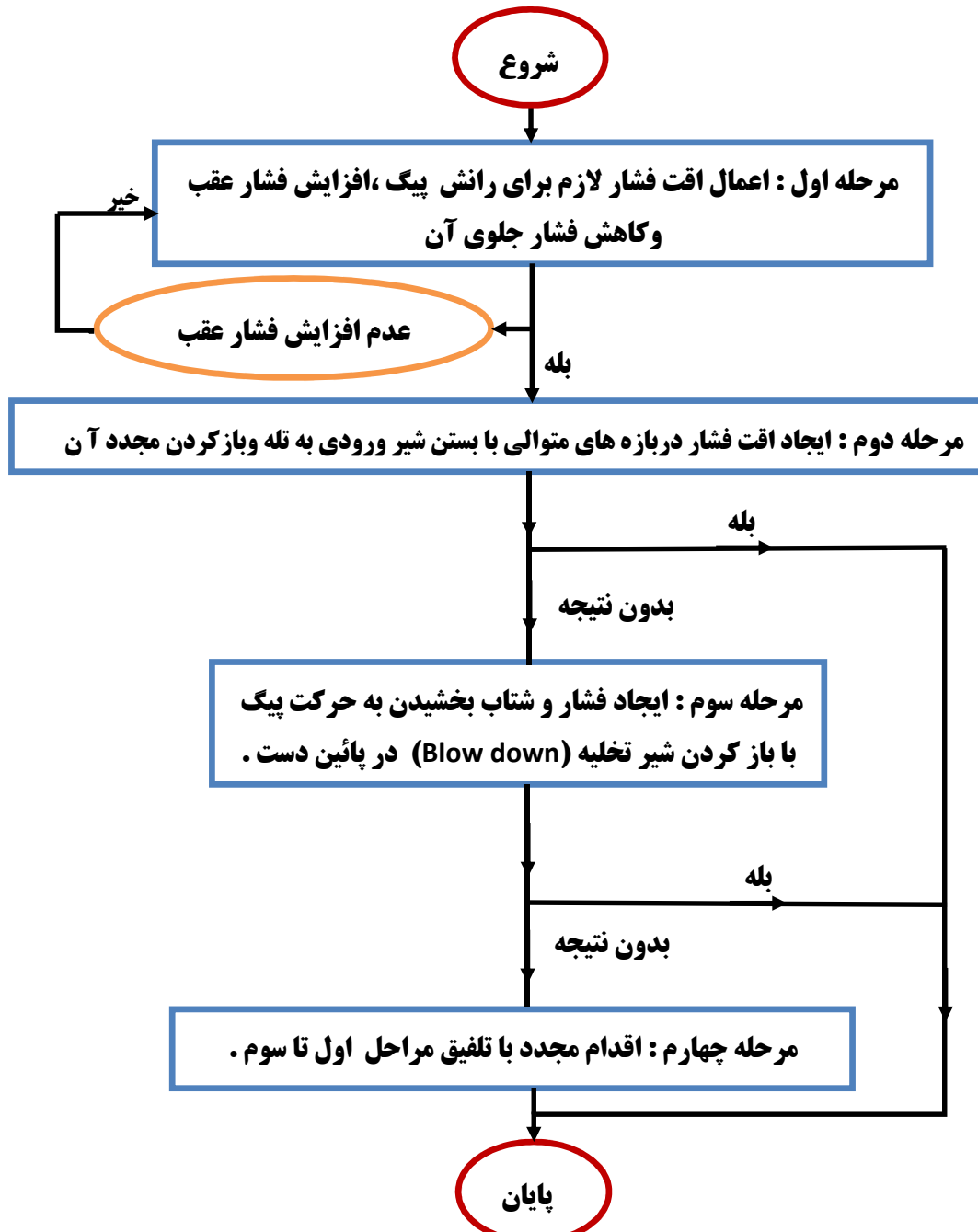
۱-۲-۱ دلیل اول : عدم سیالیت کافی در لوله



نمودار (۴-۲) توقف پیگ به دلیل عدم سیالیت کافی در لوله (۴۶)

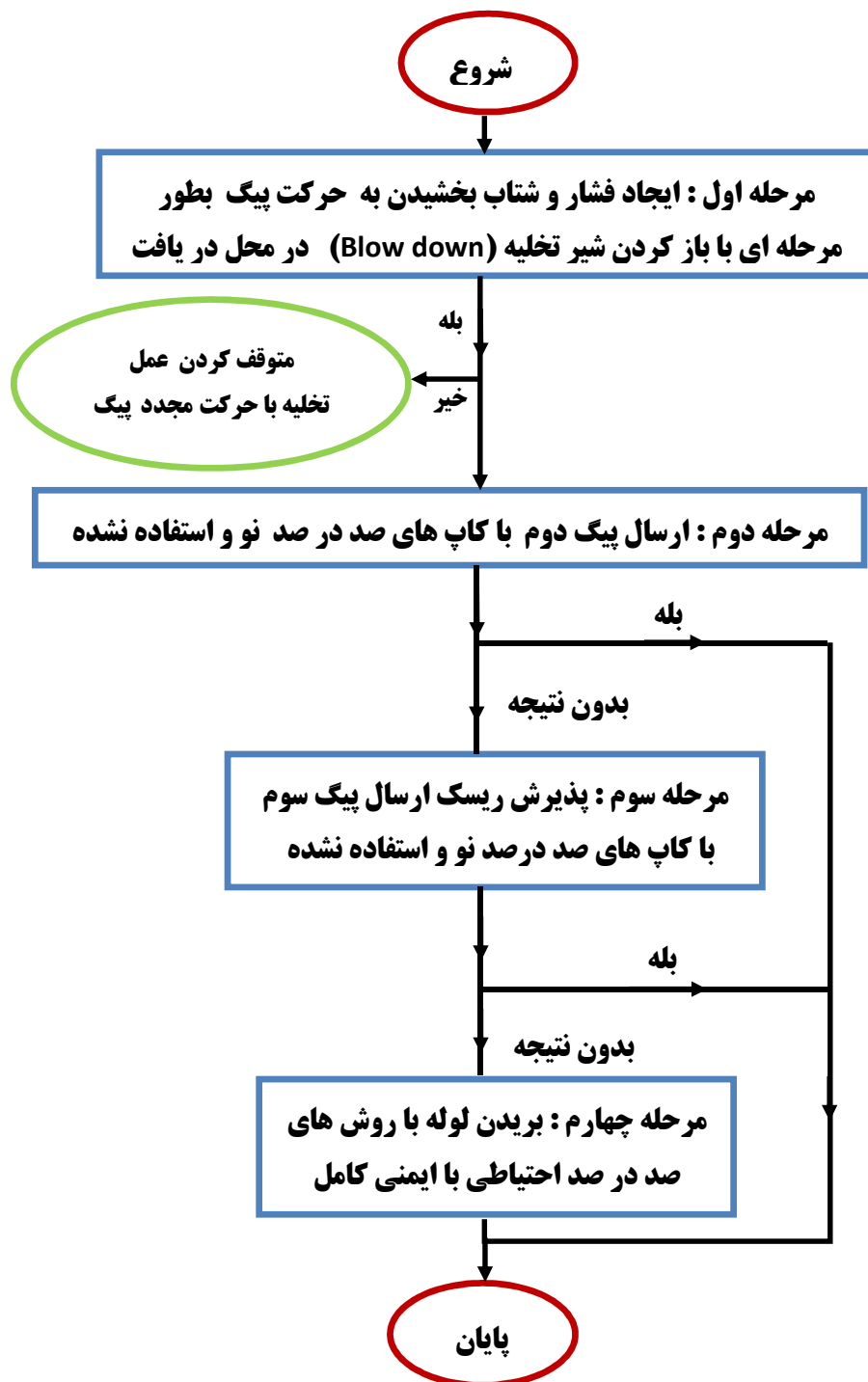
۴-۱-۲ دلیل دوم : عدم آب بندی پیگ و مسائل جدار داخلی لوله

علت کلی : از بین رفتن خاصیت آب بندی کاپ‌ها و یا محکم نبودن پیچ و مهره‌های آنها (۴۶) نتیجه: عبور آسان سیال از گوشه‌ها و جداره داخلی لوله با علائمی مانند صدای عبور سیال از کنار کاپ‌ها و یا وجود اختلاف دما در جلو و عقب پیگ (دمای جلو پیگ کمتر از عقب آن است)



نمودار (۴-۳) توقف پیگ به دلیل عدم آب بندی پیگ و مسائل جدار داخلی لوله (۴۶)

۴-۱-۲-۳ دلیل سوم: انباشتگی رسوبات و مواد(عامل کاهش شدید نیروی حرکه رانش)



نمودار (۴-۴) توقف پیگ به دلیل انباشتگی رسوبات و مواد (۴۶)

۲-۴ بررسی علل مکانیکال توقف پیگ و راهکارها

۱-۲-۴ توقف پیگ به علت طراحی غلط یا انتخاب غیر اصولی (افزایش احتمال انسداد به

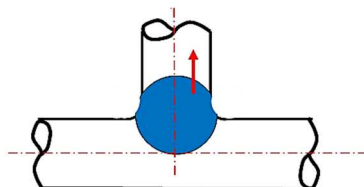
دلیل وارد نمودن فشار از جانب پیگ برای رفع انسداد یا به حرکت درآوردن سیال)

راهکار: برش دادن پر هزینه پیگ، تعمیر خط و متناسب نمودن خم‌ها به صورت T و یا کاربرد آب‌بند راهنمای نگه داشتن پیگ نزدیک به خط مرکزی لوله در پیگ‌های دوچهته

۱-۱-۴ انحراف جریان به سمت انشعاب و توقف پیگ استاندارد (گلابی شدن)

راهکار: بررسی ترتیب محدودیت‌ها مانند (استفاده پیگ در لوله‌هایی با قطر دو برابر، تهیه برنامه‌ای

برای تعیین ترتیب محدودیت در دریافت کننده‌ها و دبی خاص در نواحی T شکل)

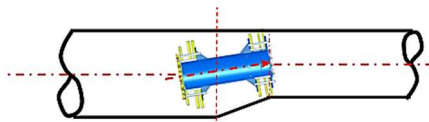


شکل (۱-۴) توقف پیگ استاندارد ، انسداد و گلابی شدن منطقه نفوذ

۲-۱-۴ ایجاد اختلاف فشار بالا و توقف پیگ در کاهنده‌ها به دلیل کاربرد راهنمای^۱ با

بزرگی نامتعارف و غیراستاندارد در خطوط با سایز بالا و نیز فشردگی

راهکار: اندازه گیری دقیق راهنمایها بر اساس سایش و استفاده از آب‌بند متناسب با آنها



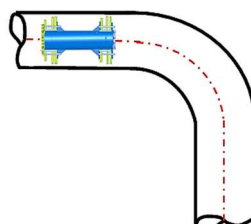
شکل (۲-۴) توقف پیگ در کاهنده ها

۳-۱-۴ کوچک گرفتن شعاع خم به دلیل عدم وجود اطلاعات کافی در مورد خطوط

قدیمی تر برای پیگ‌های بزرگتر (طبق استاندارد شعاع انحنای در خطوط پیگرانی D₅ است)

راهکار: طراحی پیگ طبق اطلاعات جامع انحنای؛ در غیراین صورت پذیرش کاربرد رویکردهای

محافظه کارانه

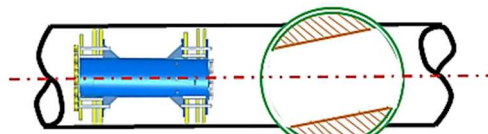


شکل (۳-۴) کوچک گرفتن شعاع خم(به طور اشتباه) برای پیگ‌های بزرگتر

^۱Guiders

۴-۱-۲-۴ توقف پیگ در اثر Full open شیرتوبی و انتخاب نادرست تجهیزات و اتصالات

راهکار: باز بودن کامل شیرها در طی فرایند

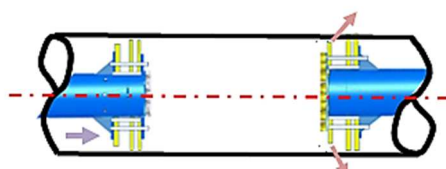


شکل (۴-۴) توقف پیگ در لوله

۵-۱-۲-۴ چسبیدن پیگ‌ها به یکدیگر یا به عبارتی توقف پیگ به دلیل فشار وارد از سمت

پیگ عقبی به پیگ جلویی در محل آب بند و انتقال خطرناک فشار به دیواره داخلی لوله

راهکار: پیش بینی برآمدگی‌هایی روی ضربه گیر در عقب و جلوی پیگ در زمان طراحی



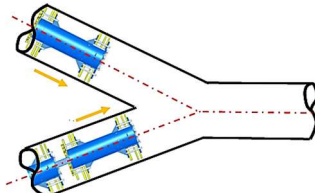
شکل (۵-۴) پدیده چسبیدن پیگ‌ها به یکدیگر

۶-۱-۲-۴ شکستن پیگ به وسیله پیگ دیگر و انسداد در اتصالات Y شکل [در فرایندهای

پیچیده] به دلیل ترتیب نادرست راه اندازی در محل تلاقی آنها

راهکار: کنترل از راه دور پیگ‌ها با رعایت تجزیه و تحلیل محافظه کارانه در برخورد با اتصالات

T و Y شکل و یا کاهش ریسک با شکستن یک پیگ قربانی در دو پیگ اصلی



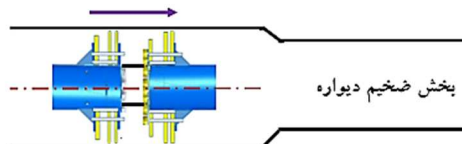
شکل (۶-۴) شکستن یک پیگ به وسیله پیگ دیگر

۷-۱-۲-۴ وقوع پدیده شکست در پیگ با اصطکاک بالا در لحظه پارگی آب بند در اثر بهره

برداری بیش از حد پیگ و کاربست آن به عنوان پیگ جداگانه در فرایند تعمیرات با فشار کم

راهکار: طراحی پیگ با محوریت پدیده اصطکاک بالا دریک نمونه ساده و یا با هدف مقابله با

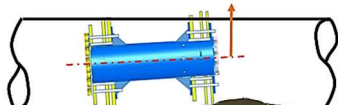
تمام قطرهای داخلی خط؛ در غیراین صورت انجام آزمایش در صورت شک احتمالی



شکل (۷-۴) پدیده شکست در پیگ با اصطکاک بالا

۲-۲-۴ تجمع موم

۱-۲-۴ سرعت کم جريان کنارگذروا فرايش آسيب ديدگي پيگ به دليل وقوع پديده انسداد [تراكم موم درجلوي پيگ] وسايش شدید با مواد زائدي مانند شن و ماسه در قسمت بالاي پيگ راهكار: طراحی دوباره کنارگذرو تعیین دقیق سرعت آن با انتخاب کنارگذرقوی برای غلبه برگرد و خاک و حذف آن و نيز به حرکت درآوردن مواد زائد باقیمانده درجلوي پيگ



شکل(۴-۸) سرعت کم جريان کنارگذروا فرايش سطح آسيب ديدگي پيگ

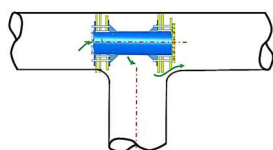
۲-۲-۴ ذخیره شدن موم درجلوي پيگ به دليل انسداد خط لوله دريائي راهكار: دقت درانتخاب سرعت کنارگذر برای تعليق مواد زائد در پائين دست و حذف موم



شکل(۴-۹) ذخیره شدن موم در جلوی پيگ

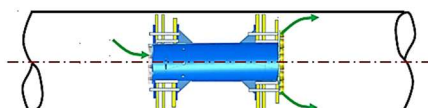
۳-۲-۴ کنارگذرهای غيررادی

۱-۳-۴ توقف پيگ به دليل توليد غيررادی تعداد زيادي کنارگذر، فرایند نادرست پيگ و سرعت بسيار کم جريان سیال اطراف آن راهكار: لاحظ دقیق شرائط جريان و توجه به موقعیت کانالهای هدایت گاز/ مایع



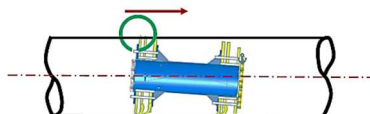
شکل(۴-۱۰) توقف پيگ به دليل فرایند نادرست

۲-۳-۴ کاهش ناگهاني سرعت سیال (ناسایی فرایند کنارگذر) و توقف پيگ استاندارد راهكار: ارسال پيگ مجهز به کنارگذرهای اصلاح شده برای به جلو راندن پيگ متوقف



شکل(۱۱-۴) عدم جريان سیال و توقف پيگ استاندارد

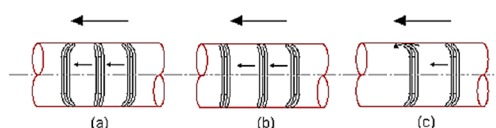
۳-۳-۲-۴ ازدست دادن رانش درپیگ‌های قطب بالا همراه با ضربه‌ای سریع و کوتاه به آب بند عقبی (دایره سبز) در اثر اصطکاک بیشتر در پائین لوله و تمایل به حرکت رو به پائین دماغه راهکار: سنجش ایمنی رانش پیگ در انحناها با شرایط بیشینه فشار سریع آب بندها



شکل (۱۲-۴) ازدست دادن رانش یک پیگ

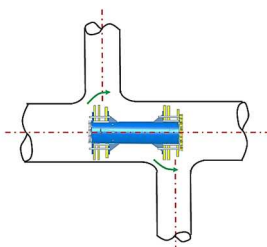
۴-۳-۲-۴ برگشت جریان در خط و معکوس شدن پیگ‌ها (حرکت رو به عقب پیگ با وارد شدن لرزش شدید از جانب آب بند به آن)

راهکار: اصلاح معکوس شدن آب بندهای پیگ و پشتیبانی آنها با کمینه سازی اصطکاک



شکل (۱۳-۴) معکوس شدن پیگ‌ها

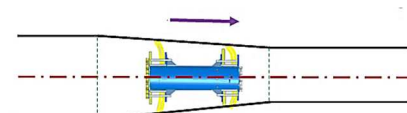
۵-۳-۲-۴ توقف پیگ با افزایش خطر کنارگذر به خاطر وضعیت نادرست طول آب بند در حالت نزدیکی خیلی زیاد اجزاء T شکل به هم راهکار: رعایت طول مناسب بین اجزاء خط در طراحی، استفاده از پیگ‌های مدول دو تابی با تعیین دقیق موقعیت آب بندها



شکل (۱۴-۴) توقف پیگ به خاطر بالا رفتن احتمال خطر کنارگذر

۶-۳-۲-۴ توقف پیگ بازرس و کارکرد نادرست تمام آب بندها با کاهنده خیلی بزرگ در اثر تفاوت در طول کاهنده یا به عبارتی کشمکش بین لزوم کاربست کاهنده‌ای با بیشینه طول برای تأمین کارکرد مؤثر سنسورها

راهکار: طراحی دقیق طول پیگ (عدم کاربست پیگ با قطر دوبرابر) و آب بندها



شکل (۱۵-۴) کارکرد نادرست تمام آب بندها و توقف پیگ

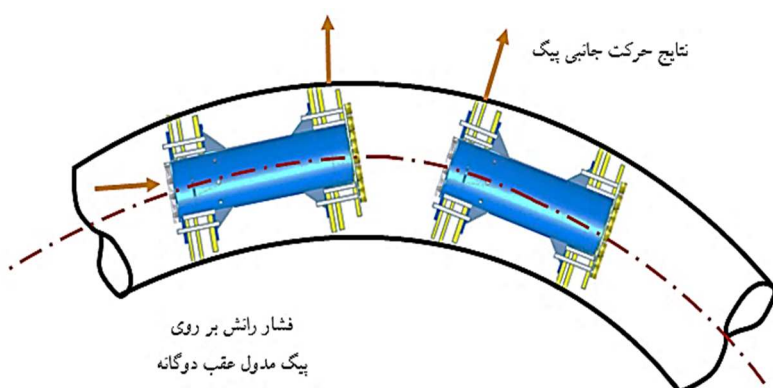
۷-۳-۲-۴ توقف پیگ به دلیل چفت و بست نامناسب آب بندها در فرایند پیگ رانی
راهکار: اجتناب از چفت کردن آب بند؛ در غیر این صورت طراحی آن با قطر و ضخامت مناسب



شکل(۱۶-۴) توقف پیگ به دلیل چفت و بست نامناسب آب بندها

۴-۲-۴ خم شدگی

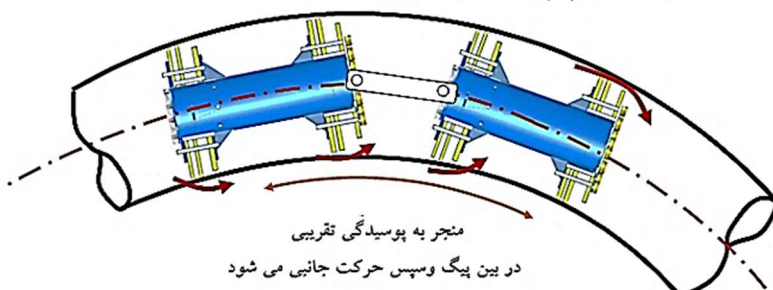
۱-۴-۲-۴ خم شدگی پیگ در اثر فشار واردہ به پیگ از سوی باری نامتعادل از پهلو هنگام رانش
پیگ بازرس برای کشیدن پیگ عقبی در طول مسیر
راهکار: انتقال فشار مناسب از طریق پورت های کنار گذرد رعقب به جلوی مدول برای رانش



شکل(۱۷-۴) فشار ناشی از یک بار نامتعادل جانبی و تأثیر آن بر خم شدگی پیگ

۲-۴-۲-۴ توقف پیگ مدول دوتایی رانده شده از عقب با حرکت جانبی در طول مرحله آب زدایی در انحنای به خاطر نشستی گاز از اطراف آن در اثر کم بودن چگالی و فشار گاز
راهکار: رفع عوامل توقف و حفظ مرکزیت با اندازه گیری صحیح آب بندها

جریان گاز با تراکم کم پیگ را در برابر دارد...



شکل(۱۸-۴) تأثیر نشستی گاز اطراف پیگ با مدول دوتایی

۵-۲-۴ توقف و آسیب دیدگی پیگ ناشی از ضربه زدن ناگهانی و خوردگی سایشی شدید آب (این سایش به دلیل تراوش محصول دراثر اختلاف فشار بسیار بالا، سرعت کم پیگ، ناهمواری سطح داخلی، قطر کم لوله و شتاب کم سیال مایع پیش می‌آید.)

راهکار: اضافه کردن روان کننده به خط با هدف کاهش در فشار دیفرانسیل و سایش پلی اورتان، ارائه مدلی کاربردی برای پیش‌بینی حداقل فاصله طی شده و اندازه پیشروی پیگ

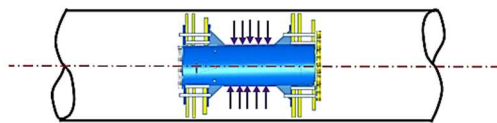
۶-۲-۴ آسیب مکانیکی

۱-۶-۲-۴ آسیب رسانی به پیگ هنگام فرایند آب زدایی با نیتروژن در مجموعه حاوی سیال تراکم پذیر (خط لوله گاز) همراه با تغییرات اصطکاک در سرعت کم یا شتاب بالا در ابتدای خم راهکار: تعدیل سرعت ورودی در بازه (۴-۱) متر بر ثانیه و فشار پیگ به درون خم

۲-۶-۲-۴ آسیب دیدگی پیگ مدول دوتایی در اثر کوپلینگ (جفت شدگی) بین مدول‌های آن راهکار:

- اصلاح آستانه تحمل کشش بارگانبی، پیچشی و یا بار مترکم برای برخورد داری کوپلینگ از نیروی کافی در اتصال (لولا) و نیز فراهم نمودن شرائط مطلوب حرکت پیگ در ناهمواری‌ها
- کاربست اتصالات U، انواع ساقمه و سوکیت، در غیراین صورت اتصالی با کیفیت بالا
- رانش پیگ آسیب دیده به کمک پیگ مدول‌های دوتایی

۳-۶-۲-۴ متلاشی شدن بدنه پیگ به موسیله حفره زانویی (مجر) و ایجاد فشار بیش از حد راهکار: اجتناب از ایجاد توازن فشار در مجرها حتی در لحظه توقف پیگ در خطوط فشار بالا



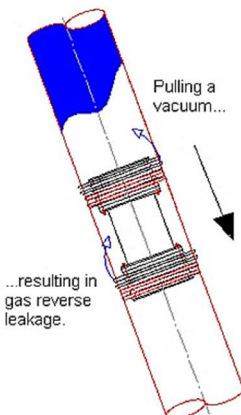
فشار بیرونی، خط لوله که روی یک حفره به دام افتاده عمل می‌کند

شکل (۱۹-۴) متلاشی شدن بدنه پیگ به دلیل وجود حفره زانویی

۴-۶-۲-۴ آسیب پیگ مدول دوتایی با خروج آب بند^۱ سایز بالا از محل و پارگی آن راهکار: بهینه سازی ضخامت [اجتناب از ضخامت غیرطبیعی با ابعاد بالا] و سایز بالای آب بند و محکم نمودن آب بندهای پیگ به ترتیب چفت کردن

۵-۶-۲-۴ آسیب دیدگی پیگ در جریان دو فازی در نقاط شبکه دار و نفوذ گاز در سرعت‌های بالا طی فرایند هیدرولیست به داخل آزمون آب در اثر قطره زیاد و سنگینی وزن راهکار: کند کردن حرکت پیگ

^۱ Disk



شکل (۴-۲۰) آسیب پیگ در اثر نفوذ گاز طی فرایند هیدروتست

۷-۲-۴ مشکلات زیست محیطی

۱-۷-۲-۴ توقف پیگ در اثر عوامل زیست محیطی (فرساش جنس آب بند، گسترش قطعات فلزی، حفره‌ها، ناسازگاری با جنس آب بند وغیره)

راهکار: انتخاب پلی اورتان‌های تخصصی‌تر، کاهش دمای بالای پلی اورتان با تزریق گاز فشار بالا به آب‌بند و نرم کردن [تافی گونه] دوباره آن دردماهی‌پائین با مтанول روی پلی اورتان

۸-۲-۴ نتیجه‌گیری:

أ. با توجه به موارد بالا لازم است که با طراحی، برنامه ریزی، تجزیه و تحلیل درست از توقف پیگ جلوگیری و در صورت وجود هرگونه شک و شبیه به انجام آزمایش مبادرت شود.

ب. فشار دیفرانسیل حداقلی ناشی از نیروی زیاد واردہ به سازوکار پیگ باید رعایت شود. این فشار علاوه بر آسیب رساندن به پیگ، با هدایت آن به خارج از مرکز از رانش آن جلوگیری می‌کند.

ج. در صورت عدم موفقیت در شناسایی راهکارهای تجزیه و تحلیل مناسب برای بازیابی اطلاعات از دست رفته، استفاده از دیدگاه محافظه کارانه پیشنهاد می‌شود.

د. از نقطه نظر دستیابی به فرایند مطلوب پیگ در طول خط و همچنین توصیف نیازهای کاربردی آن از دیدگاه عملکرد و راه اندازی نیاز به لیست دقیق احساس می‌شود.

ه. یک برنامه آزمایشی خوب طراحی شده ضمن اقتصادی بودن باید در صورت اجرای صحیح، توانایی پاسخ‌گویی به هر پرسش احتمالی با توجه به محدودیت‌ها و امکانات آزمون را دارا باشد.

و. با طراحی سنجیده مبتنی بر غلبه بر نیازهای به ظاهر متناقض پیگ و فراهم آوری امکان ایجاد توازن و تعادل در فرایند، باید از پیمودن مسیر به وسیله پیگ اطمینان حاصل نمود.

ز. تمام اطلاعات شناخته شده در مرحله طراحی باید شناسایی، مستندسازی و کاربردی شود.

ح. فرایند جامع ذیل برای جلوگیری از توقف پیگ پیشنهاد می‌شود:

- جمع آوری اطلاعات وارائه تعریفی واضح از نیازهای کاربردی، طراحی و محاسبات لازم
- طرح بندی پیگ دراجزاء خط و انتخاب آن
- آزمایش و در صورت لزوم تکرار و تجدید نظر در طراحی
- اجرای کار با درک ویژگی‌های متمایز کننده خطوط ازهم، مانند دو برابری قطر، پیگ آرام، دیواره ضخیم، موم زدایی [واکس زدایی] سنگین و سرعت کم در خط لوله‌های خاص (۴۷)

۴-۳ نتایج بررسی نرم افزاری راهکار مکانیکال اندازه باز بودن شیر منی فولد برای رفع توقف

سرعت لحظه‌ای قاعده خاصی ندارد و تابع نوع سیال می‌باشد. در سیال تراکم ناپذیر مانند مشتقات نفتی و آب از رابطه معروف پیوستگی $Q = S.A$ که در آن Q دبی و S سرعت و A سطح مقطع است این سرعت محاسبه می‌شود و به دلیل جرم زیاد اطراف پیگ، به جای حرکت جهشی بیشتر یکنواخت بوده و دارای نوسانات محدود می‌باشد. در سیال تراکم پذیر (گازها) از محاسبات cfd کمک گرفته می‌شود؛ زیرا، با توجه به پروفیل خط و نوع پیگ و موانع احتمالی تغییرات سرعت لحظه‌ای است. با بالاتر رفتن تدریجی فشار؛ رفتار سیال به مایع نزدیکتر و جرم اطراف پیگ بیشتر است و از جهش‌های ناگهانی^۱ ناشی از تغییرات غیرخطی نیروها به دلیل تراکم پذیری گاز که با کم و کمتر شدن فشار بیشتر اتفاق می‌افتد؛ جلوگیری می‌شود.

برای کسب نتیجه خوب در پیگرانی با پیگ هوشمند، پیشرو و یا تمیزکننده علاوه برافت فشار رانش پیگ، باید کمینه فشار برای حذف این پدیده ایجاد شود.

معیار پاکسازی داخل لوله فشار پیگ نیست؛ بلکه، سرعت آن بوده و فشاری که در پیگرانی برای غلبه بر افت اصطکاکی در طول مسیر خط بکار می‌رود مستقیم به این عامل وابسته است. گرما در سرعت بالا، مقاومت سایشی پلی اورتان کاپ‌ها و آب‌بندها را کاهش می‌دهد و با افزایش اندازه سایش کاپ‌ها، علاوه بر باقی ماندن رسوبات، پیگ را از آب‌بندی می‌اندازد.

اندازه باز بودن شیر ۱۸٪ سمت منی فولد در تحلیل نرم افزاری به حالت‌های Full Close، Full Open و ۱۰٪ Open است و در هر سه حالت شیر ۱۲٪ اینچ کنار گذرو شیر ۲۶٪ اینچ ورود به تله دریافت Full Open اند که تحلیلی از کانتورهای اندازه کسر حجمی^۲، فشار استاتیک^۳ و سرعت^۴ همراه با اندازه دبی عبوری (خروجی) در قالب نمودار ترسیمی برای آنها ارائه شده است.

^۱Velocity excursion

^۲Volume fraction

^۳Static pressure

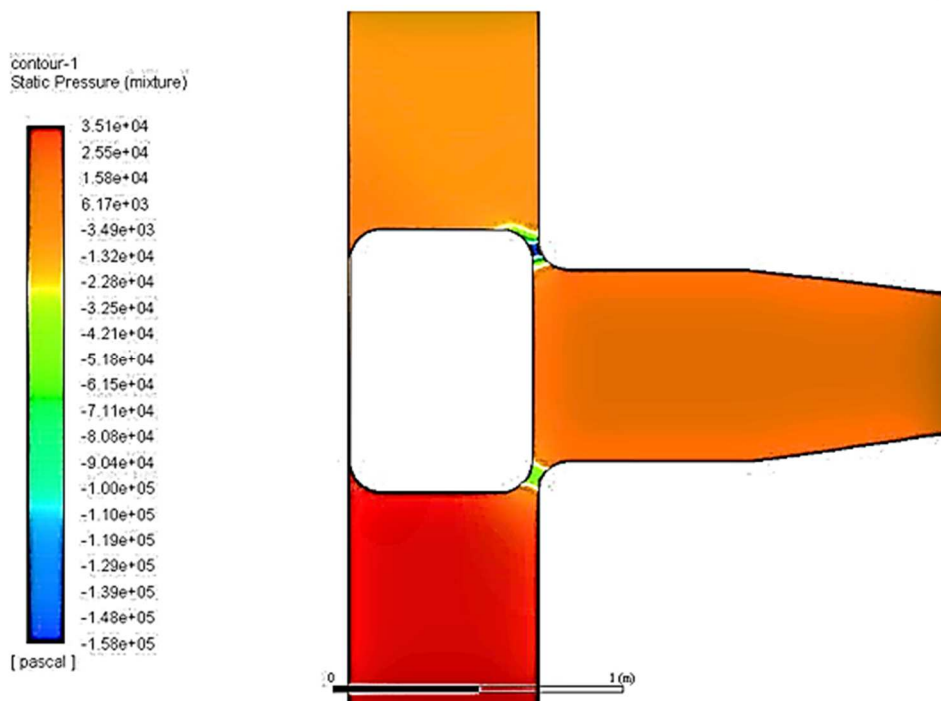
^۴Velocity magnitude

مدنظر است اثبات شود که هرچه درصد باز بودن شیر ۱۸ اینچ سمت منی فولد بیشتر باشد، ریسک توقف پیگ در سه راهه قبل از تله دریافت کم و کمتر خواهد بود.

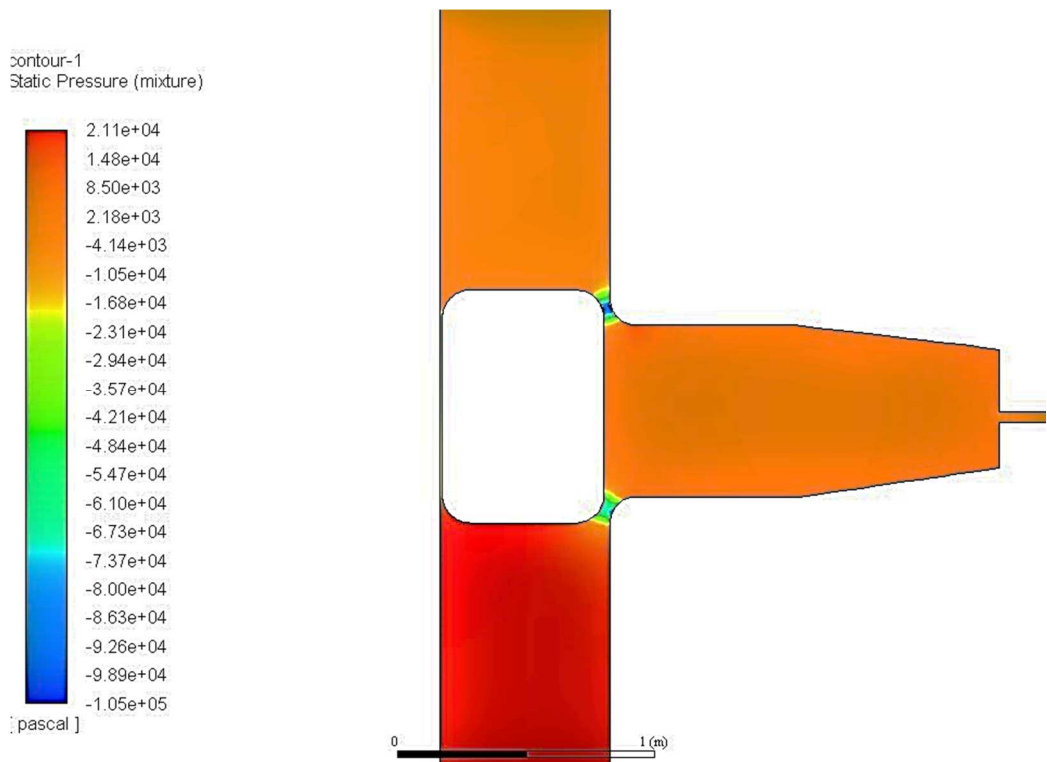
راهکارده در صد درصد باز بودن شیر سمت منی فولد در زمان تلاقي پیگ با سه راهه به طور عملی در شرائط صدرصد واقعی راستی آزمایی شده و نتیجه با موفقیت همراه بوده است.

۱-۳-۴ کانتورهای فشار

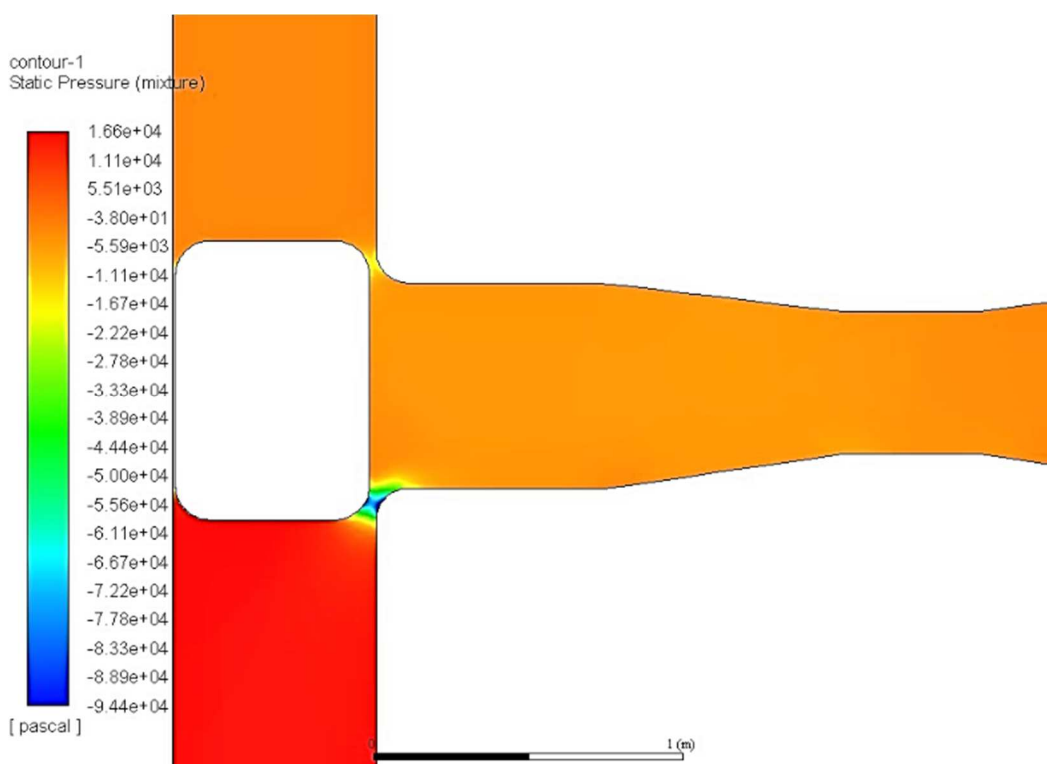
هرچه اندازه بازبودن شیر منی فولد بیشتر باشد در محل برخورد کاپ عقبی بالبه اول سه راهه به تدریج افت فشار کاهش می یابد که کمترین افت فشار ($\Delta P = 0$) در حالت Full Open خواهد بود و با اصلاح فشار پیگ، این دستگاه به سمت تله به حرکت درمی آید. لازم به ذکر است که در محل هایی که کاهش فشار وجود دارد در کانتور فشار ارقام با علامت منفی و در محل هایی که افزایش فشار وجود دارد با علامت مثبت نمایش داده شده اند؛ لذا، نباید کلمه (خلاء جزئی) را برای توجیه علامت منفی در کانتور فشار [به دلیل عدم وجود جوشش در این نقاط] بکار برد. در نمودار (۴-۵) کانتورهای فشار (۲۱-۴)، (۲۲-۴) و (۴-۲۱) با یکدیگر مقایسه شده اند که نشان می دهد هرچه شیر منی فولد بیشتر باز باشد، طبق (جدول ۱-۴) فشار وارد بر لبه های داخلی سه راهه کم و کمتر خواهد بود و افت فشار تعديل می شود. در این نقاط جدایش ذرات سیال اتفاق می افتد و جهش ناشی از این پدیده باعث می شود که فشار [وحتی سرعت] در این نقاط بیشتر از جاهای دیگر باشد.



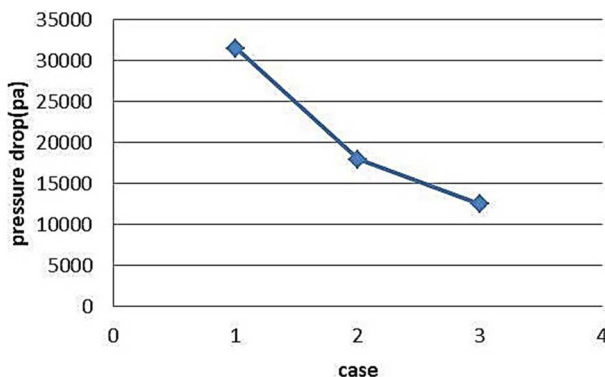
شکل (۲۱-۴) کانتور فشار در حالتی که شیر منی فولد Full Close است



شکل (۲۲-۴) کانتور فشار در حالتی که شیر منی فولد ۱۰٪ Open است



شکل (۲۳-۴) کانتور فشار در حالتی که شیر منی فولد Full Open است



نمودار (۴-۵) بررسی مقدار افت فشار در سه حالت

بررسی فشار وضیعت شیر منی فولد	کمینه فشار استاتیک(پاسکال) بیشینه فشار استاتیک(پاسکال)
Full Close	$3/51 \times 10^4$ $-1/58 \times 10^5$
10% Open	$2/11 \times 10^4$ $-1/105 \times 10^5$
Full Open	$1/66 \times 10^4$ $-0/944 \times 10^5$

جدول (۱-۴) کمینه و بیشینه افت فشار در سه حالت

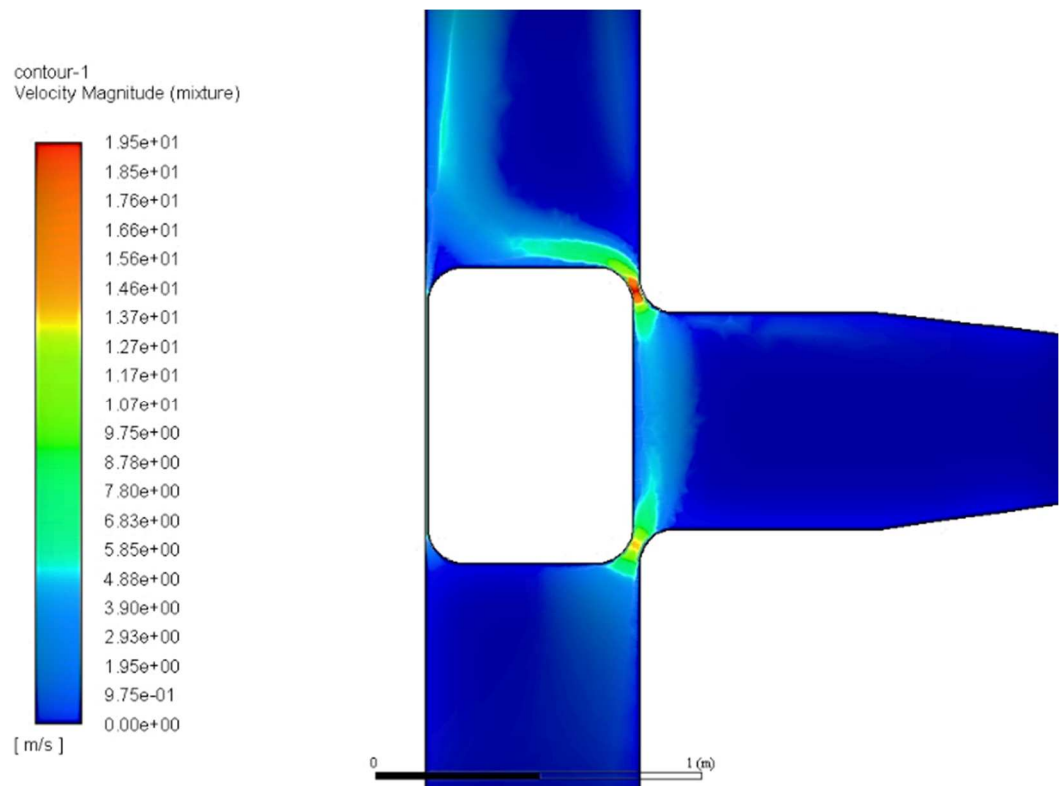
در جدول بال امقدار فشار در محل برخورد کاپ‌های عقب و جلو به ترتیب با لبه‌های اول و دوم در زمان توقف پیگ درس‌ه راهه مشاهده می‌شود..

بررسی فشار وضیعت شیر منی فولد	کمینه فشار استاتیک(پاسکال) بیشینه فشار استاتیک(پاسکال)
Mحل برخورد کاپ جلو با لبه اول	Mحل برخورد کاپ عقب با لبه اول
$9/44 \times 10^4$	$1/67 \times 10^4$
$5/47 \times 10^4$	$1/105 \times 10^5$
$6/15 \times 10^4$	$1/58 \times 10^5$
Mحل برخورد کاپ جلو با لبه اول	Mحل برخورد کاپ عقب با لبه اول
$1/67 \times 10^4$	$1/67 \times 10^4$
$1/68 \times 10^4$	$1/68 \times 10^4$
$2/28 \times 10^4$	$2/28 \times 10^4$

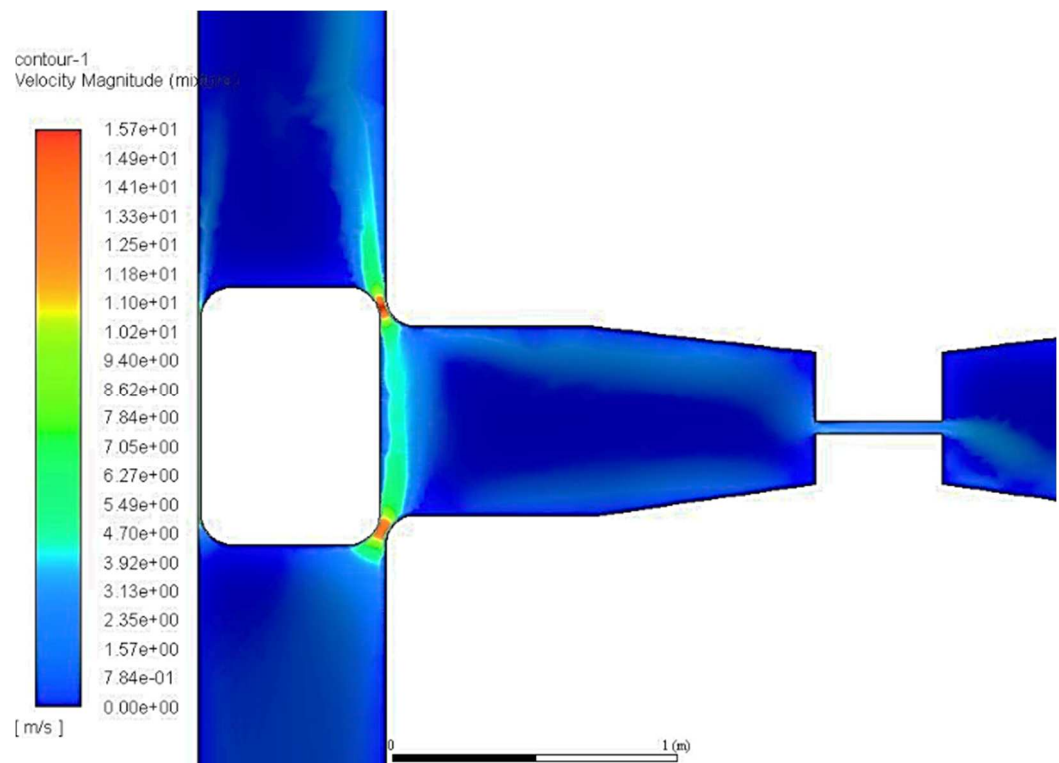
جدول (۴-۶) مقدار فشار در محل برخورد لبه‌ها با کاپ‌های عقب و جلو در زمان توقف

۲-۳-۴ کانتورهای سرعت

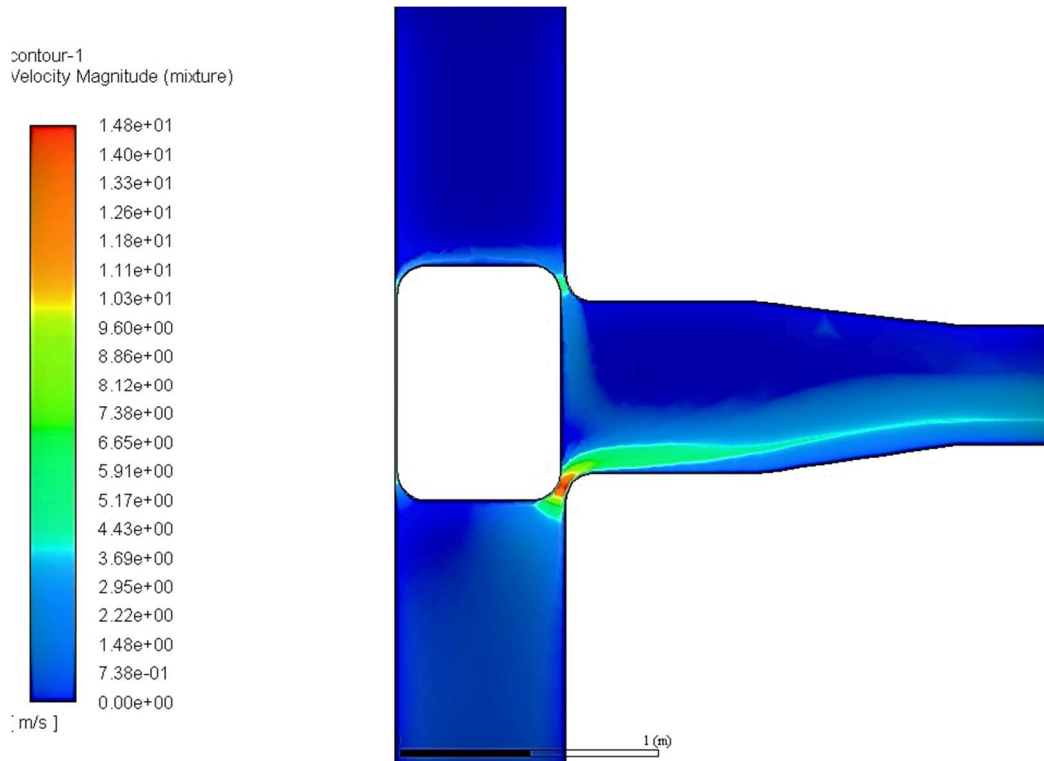
با توجه به کانتورهای سرعت (۴-۲۶)، (۴-۲۵) و (۴-۲۴) و طبق جدول (۴-۴) استخراجی از آنها مشخص است که هرچه شیر سمت منی فولد بیشتر باز شود از مقدار سرعت ناشی از توقف پیگ درس‌ه راهه، در محل برخورد کاپ عقب با لبه اول کاسته شده و بر اندازه سرعت در محل برخورد کاپ جلو با لبه دوم افزوده می‌شود به طوری که در زمان رفع توقف، بیشینه سرعت با بیشتر شدن اندازه باز بودن شیر سمت منی فولد با توجه به جدول (۴-۳) به تدریج تعدیل می‌شود.



شکل (۲۴-۴) کانتور سرعت در حالتی که شیر منی فولد Full Close است



شکل (۲۵-۴) کانتور سرعت در حالتی که شیر منی فولد ۱۰٪ Open است



شکل (۴-۲۶) کانتور سرعت در حالتی که شیر منی فولد Full Open است

پر رسمی سرعت		کمینه سرعت (متر بر ثانی)		بیشینه سرعت (متر بر ثانی)		وضعیت شیر	منی فولد
$1/95 \times 10^1$				0.00×10^1		Full Close	
$1/57 \times 10^1$						10% Open	
$1/48 \times 10^1$						Full Open	

جدول (۴-۳) کمینه و بیشینه سرعت در سه حالت

سرعت اطراف پیگ (متر بر ثانی)	کمینه سرعت (متر بر ثانی)		بیشینه سرعت (متر بر ثانی)		پر رسمی سرعت وضعیت شیر منی فولد
	محل برخورد کاپ جلویی با لبه دوم	محل برخورد کاپ جلویی با لبه اول	محل برخورد کاپ عقبی با لبه دوم	محل برخورد کاپ عقبی با لبه اول	
۴/۸۸	۱۳/۷۰	۱۹/۵۰	۱۰/۷۰	۹/۲۰	Full Close
۴/۷۰	۱۴/۱۰	۱۴/۹۰	۸/۶۲	۷/۰۵	10% Open
۴/۰۵	۱۴/۸۰	۴/۰۶	۴/۴۰	۲/۹۵	Full Open

جدول (۴-۴) مقدار سرعت در محل برخورد لبه ها با کاپ های عقب و جلو در زمان توقف

۳-۳-۴ سهم هر کدام از فرآورده ها (کسر حجمی) در سه حالت

با توجه به کانتورهای (۴)، (۲۹-۴)، (۲۸-۴) و جدول (۵-۴) هر چه شیر سمت منی فولد بیشتر باز باشد از شدت آلودگی در فضای بین سه راهه و شیر سمت منی فولد کاسته شده و براندازه کسر غالباً نفت گاز افزوده می شود [این شرائط اطراف پیگ نیز برقرار است]. این روند تعدیل تا هنگام رفع توقف ادامه می یابد و با حرکت مجدد پیگ، تمام کسر حجمی به نفت گاز تبدیل می شود.

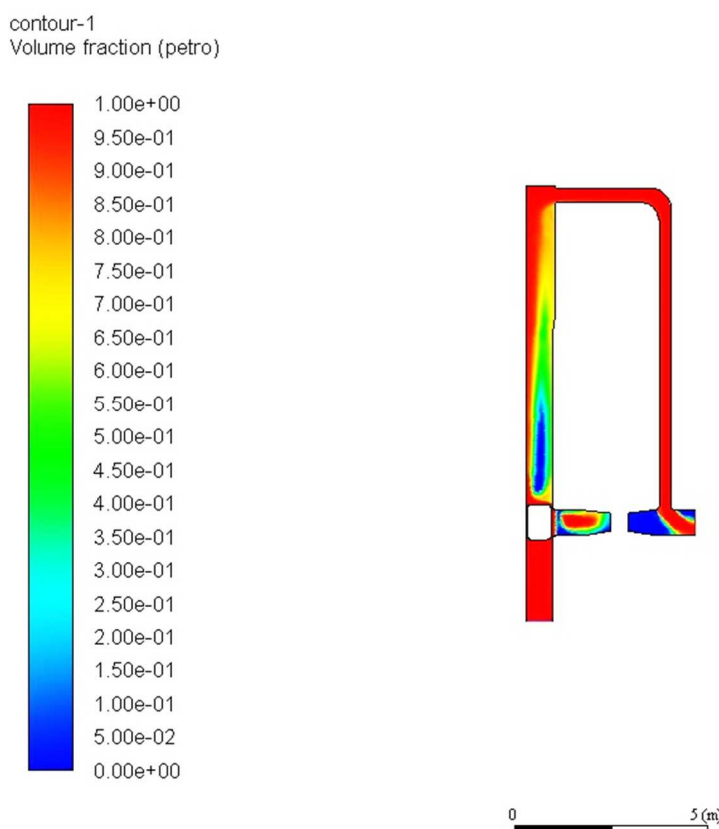
اندازه سهم هر کدام از فرآورده ها [کسر حجمی] در شکل های (۲۷-۴)، (۲۸-۴) و (۲۹-۴) به صورت ذیل و با یک رنگ مشخص متمایز شده است:

۱۰۰% نفت گاز	۳۰% نفت خام و ۷۰% نفت گاز	۷۰% نفت خام و ۳۰% نفت گاز	۱۰۰% نفت خام
--------------	---------------------------	---------------------------	--------------

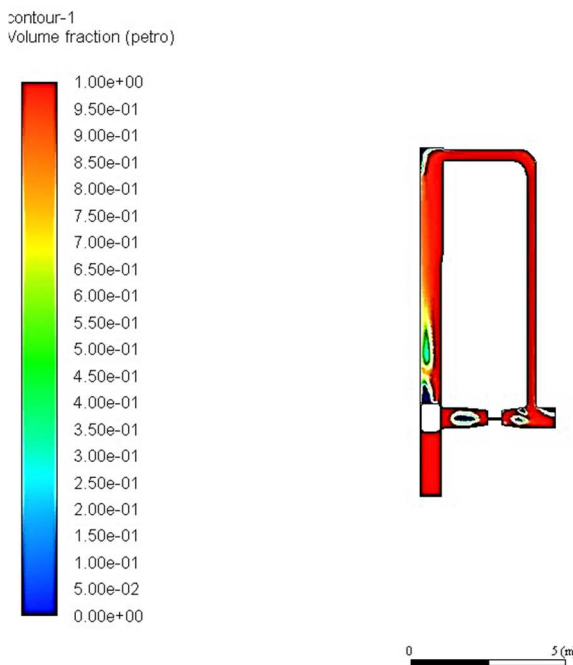
نمودار (۶-۴) مقدار سهم هر کدام از فرآورده ها (کسر حجمی)

شرائط اطراف پیگ	در شرائط حداقل						بررسی کسر حجمی (درصد) و ضمیت شیرمنی فولد	
	محل برخورد کاپ عقب باله دوم			محل برخورد کاپ عقب باله اول				
	نفت خام	آلوده نفت گاز	نفت خام	آلوده (بیج غالب نفت خام)	نفت گاز			
آلوده	۱۰۰	—	—	—	—	۹۹	Full Close	
کسر غالب نفت خام	۱۰۰	—	—	۹	—	۹۰	10% Open	
کسر غالب نفت گاز	۱۰	—	—	۱۰	۹۰	—	Full Open	

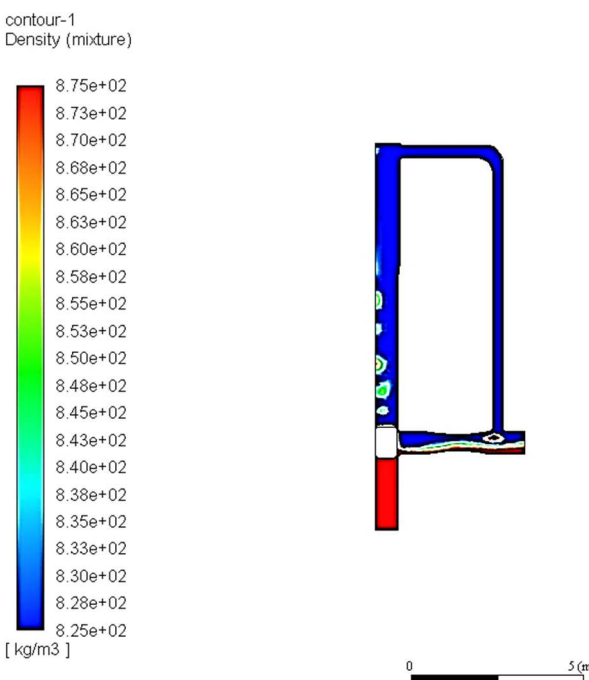
جدول (۵-۴) مقدار کسر حجمی در محل برخورد لبه ها با کاپ های عقب و جلو در زمان توقف



شکل (۴-۲۷) کانتور مقدار کسر حجمی در حالتی که شیرمنی فولد Full Close است



شکل (۲۸-۴) کانتور مقدار کسر حجمی در حالتی که شیرمنی فولد Open ۱۰٪ است



شکل (۲۹-۴) کانتور مقدار کسر حجمی در حالتی که شیرمنی فولد Full Open است

۴-۳-۴ دبی عبوری (خروجی)

تحلیل‌های نرم افزاری برای ۹۰ ثانیه ابتدائی توقف پیگ در نظر گرفته شده است.

در حالت Full Close بودن شیرمنی فولد، دبی خروجی تا ۱۵ ثانیه نخستین طبق نمودار (۷-۴) ناگهان به سمت صفر میل می‌نماید.

در ادامه این تغییرات، در کمتر از ۵ ثانیه با یک تکانه کوتاه ۱/۵ ثانیه‌ای دچار افت شدید می‌شود و آن‌گاه این دبی دوباره در ثانیه ۲۸ به دلیل توقف کامل پیگ به کمترین مقدار خود می‌رسد.

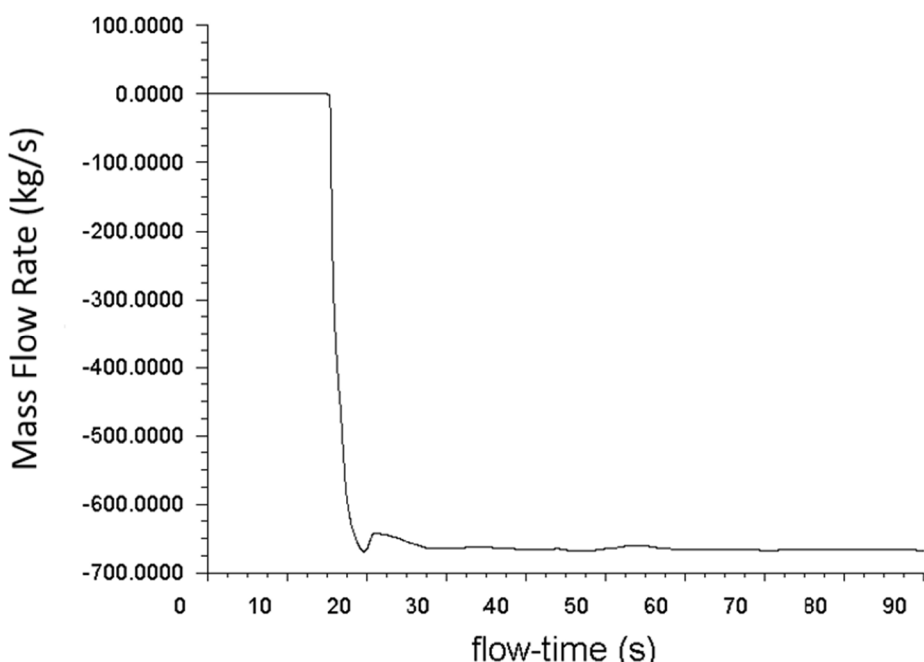
در حالت Open ۱۰٪ طبق نمودار (۴-۸) زمان ۱۵ ثانیه‌ای که در حالت قبل اشاره شد به ۲/۵ ثانیه کاهش می‌یابد و در ثانیه‌های ۱۷-۲/۵ به دلیل بازشدن مسیر جریان سیال دچار تلاطم می‌گردد که با توجه به شب ملایم و سهمی گون تغییرات در ۴۰-۱۵ ثانیه نخستین این بازه ۹۰ ثانیه‌ای، دبی یکنواخت شده و پیگ به سمت تله رانده می‌شود.

در حالت Full Open براساس نمودار (۴-۹) با گذشت ۲ ثانیه، یک تکانه‌ای بسیار کوتاه و سریع ۲/۵ ثانیه‌ای دبی به سمت پایدارشدن پیش‌رفته و پس از ۳۰/۵ ثانیه به طور کامل پایدار می‌شود.

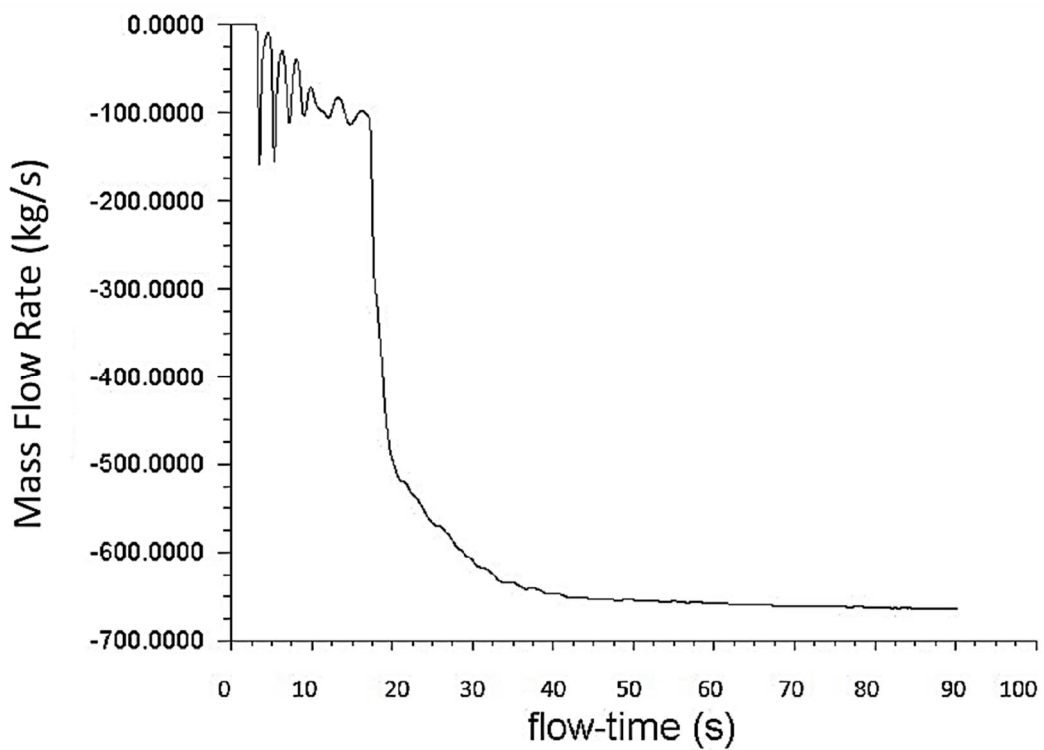
در جدول ذیل دبی متناظر زمان‌های بالا ارائه شده است.

ذیلی عبوری خروجی (kg/s)												بررسی دبی	وضعیت
												شیرمنی فولد	
۹۰	۴۰	۳۳	۲۸	۲۰	۱۷	۱۵	۴/۵	۲/۵	۲				
۶۵۰	۶۷۰	۶۶۰	۶۷۵	۶۷۵	۶۳۰	صفرا	صفرا	صفرا	صفرا		Full Close		
۶۶۵	۶۵۰	۱۸۰	۵۸۰	۴۷۵	۱۰۰	۱۰۰	۱۰	صفرا	صفرا		10% Open		
۷۷۵	۶۷۵	۶۷۵	۷۰۵	۷۰۰	۷۲۵	۷۲۵	۷۵۰	—	صفرا		Full Open		

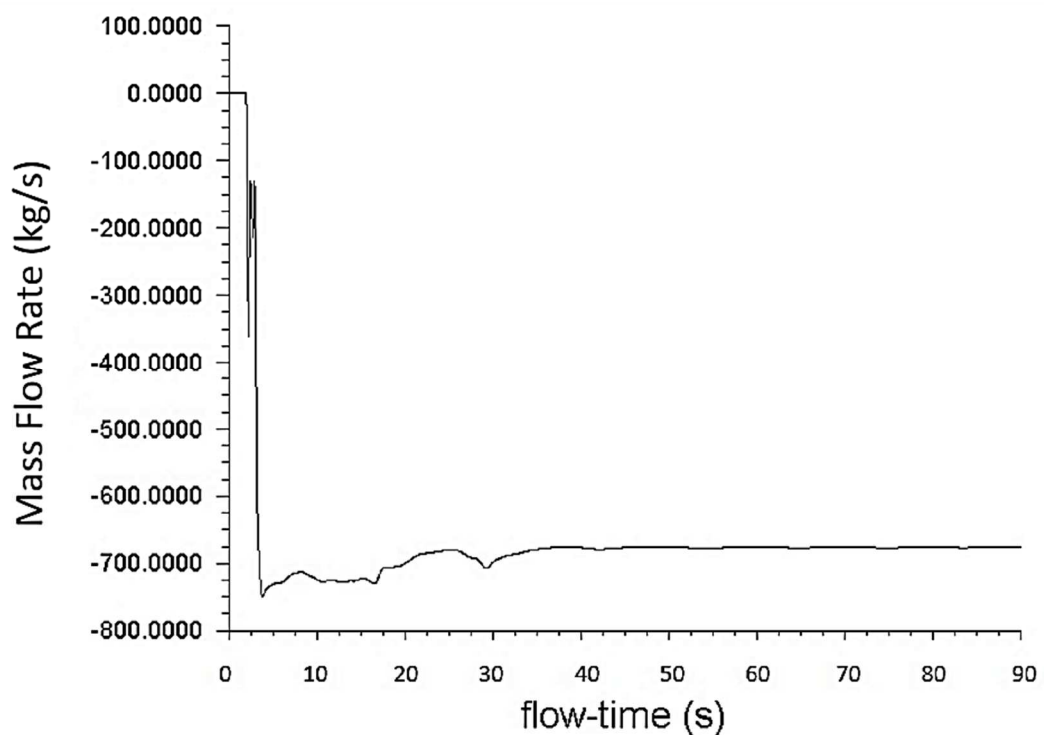
جدول (۶-۴) مقدار دبی عبوری (خرجی) شیرسمت منی‌فولد در زمان توقف



نمودار (۶-۷) مقدار دبی عبوری (خرجی) در حالتی که شیرسمت منی‌فولد Full Close است



نمودار(۸-۴) مقدار دبی عبوری(خروجی) در حالتی که شیرسمت منی فولد ۱۰٪ Open است



نمودار(۹-۴) مقدار دبی عبوری(خروجی) در حالتی که شیرسمت منی فولد Full Open است

۴-۴ اتصالات پیگرانی و افت فشار مایع در جریان آشفته (ΔP_{100})

جدول ذیل نتایج محاسبات h_f برای سیال در جریان آشفته و ضریب مقاومت k در شرائط قبل، حین و بعد از گیر کردن و نیز شرائط بهینه است که از نمودارهای (پیوست ر) بدست می‌آید. طبق این ارفاع h_f متناسب با سرعت افزایش می‌یابد لذا کنترل سرعت باعث تعدیل آن شده و با افزودن اتصالات مقدار این افت فشار با تأثیرپذیری از k_{total} سیر صعودی می‌گیرد.

قطعه کاهنده که بین سه راهه و شیر منی فولد فرار دارد هم به پیگ نزدیکتر است و هم بر اساس مقادیر بالا بیشینه ضریب مقاومت k را در مقایسه با سایر اتصالات دارد که به همین دلیل به عنوان محل خروجی مسیر پیشنهادی انتخاب شده است. (این مطلب در ادامه بحث خواهد شد)

Gate Valve ۱۲" & ۲۶"			Gate Valve ۱۸"			k	L یاطول معادل (ft)	موقعیت	شیر آلات و اتصالات				
Position valve			۱۰% open										
Full close	نرمال شدن	قبل از	توقف	حین	توقف								
شرابط بهینه	نرمال شدن پس از توقف	قبل از	توقف	حین	توقف								
۰/۲۳۱۸	۰/۲۳۱۸	۰/۲۳۱۸	۰/۲۳۱۸	۰/۲۳۱۸	۰/۲۳۱۸	۲۰	۴۳	diffuser					
-	-	-	-	۰/۱۰۴۰	۰/۱۰۴۰	۸	۸	Gate Valve ۱۲"					
۰/۰۹۶۰	۰/۰۹۶۰	۰/۰۹۶۰	-	-	-	۱۲	۱۲	Gate Valve ۱۸"					
-	-	-	-	۰/۰۸۸۰	۰/۰۸۸۰	۱۶	۱۶/۸۳	Gate Valve ۲۶"					
۰/۲۲۰۰	۰/۲۲۰۰	۰/۲۲۰۰	۰/۲۲۰۰	۰/۲۲۰۰	۰/۲۲۰۰	۴۰	۴۱/۶۸	Tee					
-	-	-	-	۰/۱۵۲۰	-	۸	۱/۳۳	Gate Valve ۱۸"(۱۰% open)					
۰/۲۲۰۰	۰/۲۲۰۰	۰/۲۲۰۰	۰/۲۲۰۰	۰/۲۲۰۰	۰/۲۲۰۰	۱۷/۵	۱۷/۵	Elbow ۱۲"					
۰/۷۶۷۸	۰/۷۶۷۸	۰/۷۶۷۸	۰/۷۶۷۸	۱/۰۱۵۸	۰/۸۶۳۷	K _{Total}							
۵/۰۵۵۸	۵/۹۱۸۴	۴/۶۶۸۶	۵/۷۰۸۷	۵/۷۰۸۷		(ft/s)		v					
۱/۵۴۱۰	۱/۸۰۳۰	۱/۴۲۲۳	۱/۷۴۰۰	۱/۷۴۰۰		(m/s)							
۰/۳۰۴۷	۰/۴۱۷۲	۰/۳۶۰۰	۰/۵۱۴۰	۰/۴۳۷۱۰		$h_f (ft)$							

جدول (۷-۴) در حالت آشفته ، طول معادل ، $\frac{L}{D}$ و ضریب مقاومت k (نویسنده)

نتایج افت فشار در هر صد فوت (ΔP_{100}) برای جریان آشفته با استفاده از نمودارهای (ر-۱) و (ر-۲) در جدول (۸-۴) آمده است :

شرابط فرآیند	Q (m^3/hr)	Q ($gallon/min$)	$\Delta P_{100}(psi)$
لحظه توقف	۱۴۴۰/۵	۶۳۴۲/۳	۰/۰۵۵۰
قبل از توقف	۱۷۵۳/۹	۷۷۲۲/۲	۰/۰۷۱۰
لحظه رفع توقف	۲۲۲۳/۸	۹۷۹۱/۱	۰/۱۱۵۰
بیشینه حجم لوله ۲۶ اینچ	۱۹۶۸/۶	۸۶۶۷/۵	۰/۰۹۱۰
در شرائط بهینه	۱۸۶۱/۶	۸۱۹۵/۳	۰/۰۸۷۰

جدول (۸-۴) افت فشار در هر صد فوت (ΔP_{100}) در حالت جریان آشفته

۴-۵ پیشنهاد مسیر جایگزین برای رفع توقف پیگ در سهراهه

در رانش پیگ (فسار، سرعت و اصطکاک) دخالت دارند.

فشاررانش به دلیل عدم یکسان بودن اندازه فشاردردو طرف پیگ ایجاد شده و قابل تغییر نیست. سرعت نیز به طور مستقیم به دبی وابسته بوده و با معلوم بودن اندازه دبی جریانی به راحتی از رابطه پیوستگی محاسبه می شود و تنها عامل قابل تغییر اصطکاک است.

گوشه ها تنها نقاطی در اتصالات فرایند پیگرانی هستند که تحت تأثیر عامل اصطکاک، بیشترین سرعت را دارا بوده و به خاطر اغتشاش بالا، هم جدایش سیال و هم متمایل شدن ذرات مایع به پشت شیر ۱۸ اینچ منی فولد اتفاق می افتد.

به دلایل ذیل:

أ. کمی باز بودن شیرها، افزایش قابل ملاحظه اتلافات را به دنبال دارد. (۴۹)

ب. حفظ شرائط استاندارد دریافت پیگ

ج. رفع توقف مشابه حالت ده درصد باز بودن شیر منی فولد ؟

لازم است که از مسیری جایگزین طبق توضیحات ذیل استفاده شود:

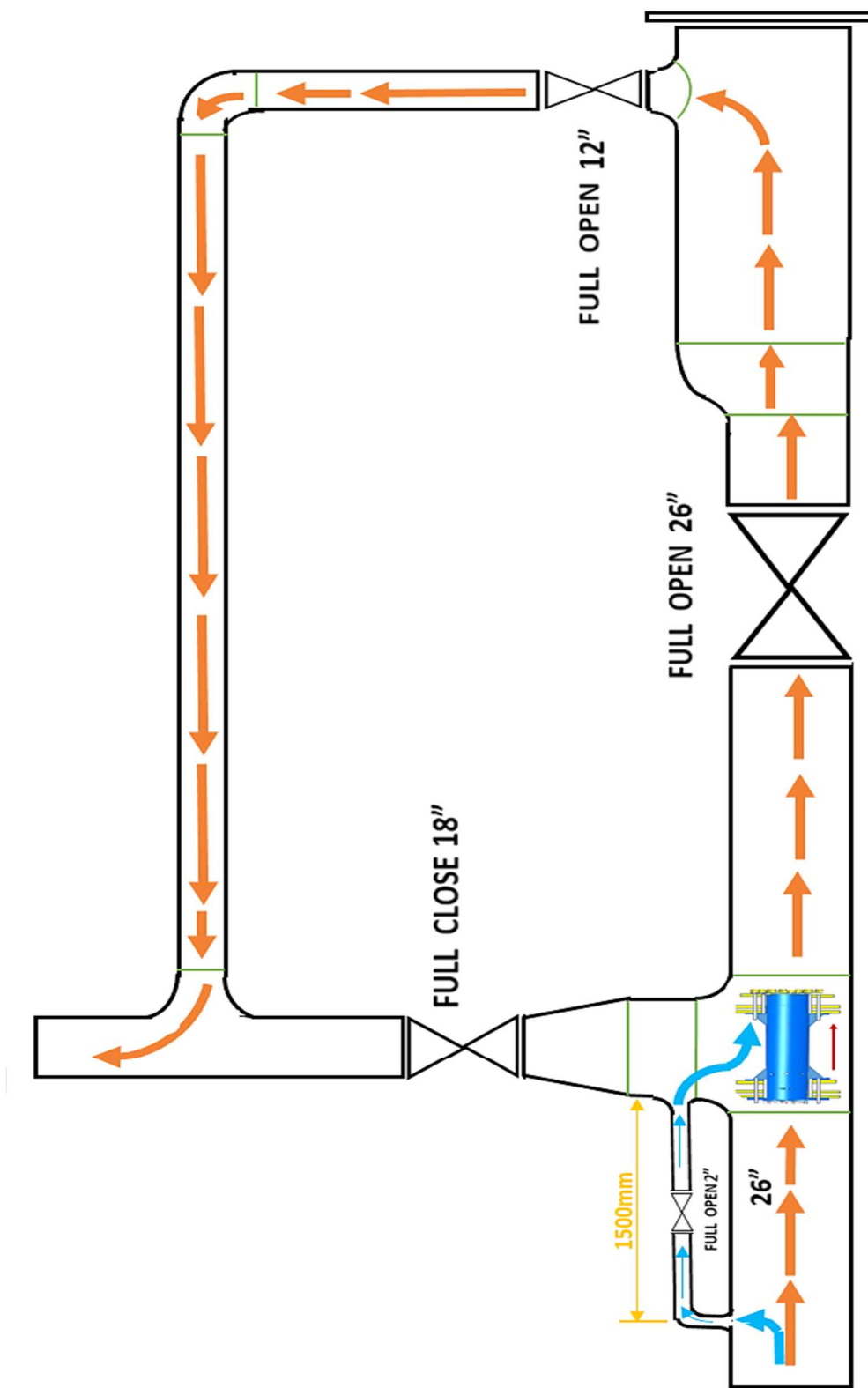
شیر ۱۸ اینچی سمت منی فولد به طور کامل بسته می باشد و به دلیل این که طول پیگ ۹۰ سانتی متر است از لوله ای با طولی بیشتر (به طور مثال ۱۵۰ سانتی متر) استفاده می شود؛ زیرا، انتخاب لوله طولانی تر افزایش افت فشار در مسیر جایگزین را بدنبال دارد.

این مسیر از ۱۵۰ سانتی متری سهراهه لوله کشی شده و تا نزدیکترین نقطه به گوشه بالایی سهراهه امتداد می یابد.

با توجه به اینکه ده درصد قطرداخلی شیر ۱۸ اینچی معادل ۱/۸ اینچ است؛ لذا، قطر لوله ۲ اینچ در نظر گرفته شده و برای کترل مکانیکال جریان سیال در این مسیر از شیرکشوئی ۲ اینچ و یک فشارسنج استفاده می شود.

در شکل (۴-۳۰) محل دقیق این مسیر پیشنهادی مشخص شده است.

شکل (۴-۳) محل دقیق مسیر جاگزین



۶-۴ بهینه سازی سرعت و دبی

۶-۱ سرعت بهینه

پیش‌بینی سرعت مناسب قبل از حرکت پیگ کمک می‌نماید تا پیش از تلاقي، با کنترل فشار جلو آن و کاستن سرعت، از توقف جلوگیری شود. سرعت این دستگاه ابتدا ناگهان به طور ناپایدار افزایش یافته و سپس با کاهش به صورت نزولی، پس از مدتی به حالت پایدار می‌رسد.

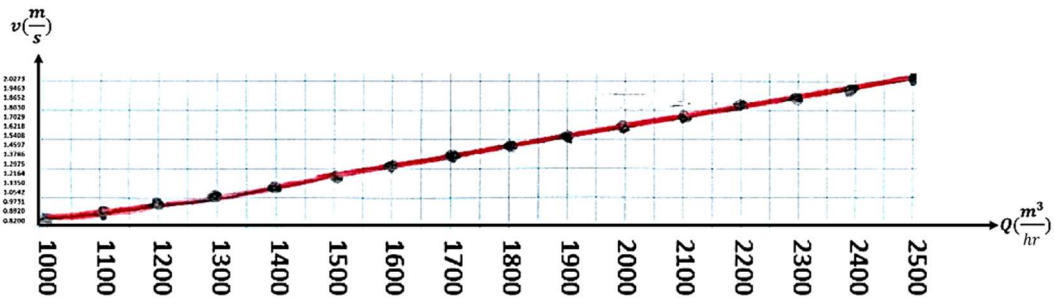
چون سیال تراکم ناپذیر است ابتدا باید سرعت متناظر براساس قطر داخلی لوله ۱۲۶ اینچ دردبی‌های معمول در شرائط مختلف بهره برداری، تعیین شود: (مراجعه به پیوست ز) (۲۳)

$$S \left(\frac{m}{s} \right) = (0/00081) Q \left(\frac{m^3}{hr} \right) \quad (1-4)$$

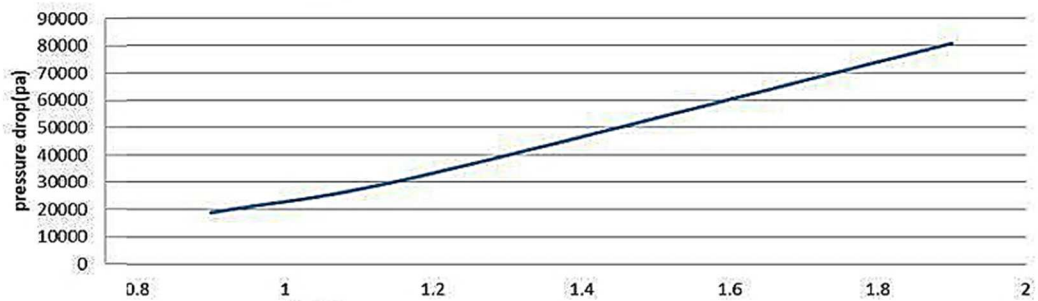
توضیحات	$Q \left(\frac{m^3}{hr} \right)$	$S \left(\frac{m}{s} \right)$
شرط دبی در محل وقوع حادثه در زمان تغییر فرآورده در مرکز انتقال پائین دستی	۱۰۰۰	۰/۸۱۰۰
	۱۱۰۰	۰/۸۹۰۹
کمترین دبی قابل تصور برای محل وقوع حادثه در حال بهره برداری	۱۲۰۰	۰/۹۷۲۰
	۱۳۰۰	۱/۰۵۳۰
	۱۴۰۰	۱/۱۳۴۰
در لحظه گیر کردن پیگ	۱۴۴۰/۵	۱/۱۶۶۸
	۱۵۰۰	۱/۲۱۵۰
	۱۶۰۰	۱/۲۹۶۰
	۱۷۰۰	۱/۳۷۷۰
قبل از گیر کردن پیگ	۱۷۵۳/۹	۱/۴۲۰۸
	۱۸۰۰	۱/۴۵۸۰
مقدار دبی در حالت جابجا نمودن سیال با حداکثر ظرفیت خط	۱۸۵۷/۷	۱/۵۰۴۷
	۱۹۰۰	۱/۵۳۹۰
	۲۰۰۰	۱/۶۲۰۰
بیشترین دبی قابل تصور برای محل وقوع حادثه در حالت بهره برداری	۲۱۰۰	۱/۷۰۰
	۲۲۰۰	۱/۷۸۱۹
در لحظه آغاز نرمال شدن خط	۲۲۲۳/۸	۱/۸۰۱۲
	۲۳۰۰	۱/۸۶۳۰
	۲۴۰۰	۱/۹۴۴
در حالت تزویق روان کننده به خط	۲۵۰۰	۲/۰۲۵۰

جدول (۶-۴) سرعت متناظر با دبی (محاسباتی) در شرائط مختلف بهره برداری (نویسنده)

طبق جدول (۶-۴) [[عدد و ارقام متنج از محاسبات] و دامنه عملی سرعت (۲-۰/۸) متربر ثانیه انتقال فرآورده در محل وقوع حادثه؛ نمودار (۶-۱۰) ترسیمی تغییرات سرعت حرکت پیگ، بر اساس دبی [متنج از محاسبات دستی] با نمودار (۶-۱۱) بدست آمده از حل CFD مطابقت دارد.



نمودار(۴-۱۰) تغییرات سرعت حرکت پیگ ، بر اساس اندازه دبی (متنج از محاسبات دستی) (نویسنده)



نمودار(۴-۱۱) تغییرات سرعت حرکت پیگ ، طبق افت فشاردوطوف آن (متنج از حل CFD)

بیشینه سرعت سیال در حالتی که خط ۲۶ اینچ با بالاترین ظرفیت ممکن فرآورده را انتقال می دهد [با این توضیحات و با استناد به جدول (۴-۴)] $1/5047 \text{ متربرثانیه}$ بوده و با توجه به اینکه قبل از توقف پیگ در سه راهه سرعت $1/4208 \text{ متربرثانیه}$ می باشد؛ با استناد به اندازه سرعت $1/1740 \text{ متربرثانیه}$ در لحظه توقف، مقدار سرعت معقول برای آنکه پیگ در سه راهه گیر نکند می باشد (رجوع به پیوست ز)

۴-۶-۲-دبی بهینه

با کنترل دبی سیال در رقم $1/805/8$ مترمکعب بر ساعت) و با استناد به سرعت $1/4627 \text{ متر بر ثانیه}$ ، پیگ در سه راهه قبل از تله متوقف نخواهد شد. (رجوع به پیوست ز)

۴-۷-۱- راهکارهای پیشنهادی برای حذف عوامل توقف

۱-۷-۱- استفاده از لوله های هدایت کننده خط جریان در سیلندر پیگ

۲-۷-۱- کاربست لایه پوششی نانو در سطحی از کاپ که با دیواره در تماس است.

فصل پنجم

پیشنهادات و دستاوردها

۵- اپیشنها در برای اشکال پیگ در تله

۱-۱-۵ با نزدیک شدن پیگ به ۵۰۰ متری تله ورودی اقدامات احتیاطی جهت کاهش سرعت از جمله کاهش اندازه جریان و فشار رانش پیگ و جلوگیری از برخورد آن به درب تله و خرابی یا ترکیدگی خط لوله باید صورت پذیرد.

۲-۱-۵ در لحظه توقف راه حل کلیدی کاهش فشار جلو و افزایش فشار پشت سر پیگ است.

۳-۱-۵ به لحاظ وزن پیگ و اصطکاک زیاد رسوبات با جداره لوله؛ پیگ در پشت سرخود به نیروی رانش قابل ملاحظه‌ای جهت حرکت نیاز دارد که پس از حرکت آن به خصوص در انتهای خط مجموعه وزن پیگ و مواد درون خط در سرعت سیال ضرب شده و نیروی زیادی را بوجود می‌آورد که اگر این نیرو کنترل نشود پیگ به شدت به درب تله آسیب وارد می‌کند.

۴-۱-۵ کاربست سه راهه قبل از تله ورودی برای کنترل جریان و کاستن از سرعت پیگ می‌باشد اما ممکن است در این اتصال قبل از رسیدن پیگ به انتهای مسیر، چرخش جریان پیش آید.. تعییه میله‌های استحفاظی در رفع این پدیده و توقف پیگ مؤثر است.(لازم به ذکر است که کاربست این میله‌ها شرط لازم است ولی کافی نیست)



شکل (۵) میله‌های استحفاظی (۲۵)(۱۱)

۵-۱-۵ در جلوی پیگ‌ها بوشنهای وجود دارد که باید در پوش آنها در نفت خام باز شود تا مقداری جریان از آنها عبور کرده و از تبدیل واژه دریل تمام سیال به نیرو در پشت این وسیله ممانعت شود. این عمل سرعت پیشروی را کاهش داده و از توقف پیگ جلوگیری خواهد شد.

۶-۱-۵ سرعت پیگ در مایعات باید با 200 تا 300 فوت در دقیقه یا 1 تا 5 متر بر ثانیه کنترل شود.

۷-۱-۵ رهاسازی پیگ به سمت زمین در زمان خارج نمودن آن از تله باعث ضربه دیدن نگهدارنده‌های کاپ‌ها شده و انحرافی هرچند بسیار کوچک در این قسمت، از دست دادن شرائط طبیعی این دستگاه و توقف آن در پیگ رانی‌های بعدی را به دنبال دارد. در این حالت باید از جرثقیل‌هایی که برای جایه‌جایی پیگ در محل نزدیک به تله پیش‌بینی شده استفاده شود.

^۱Guide Bars

۲-۵ دستاوردها

۱-۵ مسیر جایگزین، در عمل ضمن تعديل نیروی واردہ به پشت کاپ دوم و همچنین افت فشار در کاهنده، با هدایت بخشی از سیال ورودی به پشت کاپ اول، از سرعت گرفتن پیگ در لحظه ورود به تله و آسیب رسانی به درب آن به طور قابل ملاحظه‌ای جلوگیری می‌نماید. به عبارتی این مسیر کمک می‌نماید که بدون دخالت شیر سمت منی فولد کمبود فشار اطراف سیلندر پیگ را جبران نماید و همزمان با اعمال نیرو به پشت پیگ به وسیله سیال جاری در مسیر اصلی، با متعادل شدن فشار دو طرف آن بدون کمترین خسارati پیگ به سمت تله هدایت شود. این راه حل مجموعه را از کاربست میله‌های استحفاظی در محل ورودی منی فولد بی نیاز کرده و کمک بسزائی در عبور یکنواخت و مطمئن پیگ از سه راهه می‌نماید. بهره برداری شیر منی فولد در حالت ده در صدی بازبودن بندآور در شرائط اضطراری (مانند انتقال فرآورده با دبی پائین) توصیه می‌گردد.

۲-۵ سرعت در سیال تراکم ناپذیر در طول مسیر به صورت لحظه‌ای است ولی در پشت پیگ به صورت متوسط می‌باشد. پس سرعتی که باعث می‌شود که پیگ بدون توقف حرکت نموده و به طور یکنواخت از اتصالات بین راهی عبور نماید سرعت متوسط می‌باشد. دستاورده بهینه سازی سرعت و دبی کنترل جریان داخل لوله از مبداء و کاهش صدمات ناشی از رفتار سیال (ضریبه قوچ) بر پیگ رانده شده است. حفظ این شرایط بهینه تا مقصد، عبور سالم و بدون خطر پیگ از سه راهه را به همراه دارد.

۳-۵ تقویت نیروی رانش در پشت کاپ جلویی ورفع توقف با تمرکز نیروی جانبی در بدنه سیلندر پیگ با هدف تامین نیروی شناوری لازم دستاورده پیشنهاد کاربست لوله‌های هدایت کننده خط جریان می‌باشد.

این راهکار شرائطی مانند بند ۱-۲-۵ را فراهم می‌نماید؛ با این تفاوت که، در آن نیروی جانبی درون سیلندر متتمرکز شده در حالی که در مسیر جایگزین اطراف سیلندر می‌باشد.

۴-۵ کاربست لایه پوششی نانو در سطحی از کاپ که با دیواره در تماس است می‌تواند از وقوع پدیده سایش در این فصل مشترک به طور قابل ملاحظه‌ای جلوگیری نماید. دستاورده ترکیب بندهای ۳-۲-۵ و ۴-۲-۵ کاهش تعداد کاپ‌ها و سبکتر شدن پیگ بلحاظ وزنی و به صفر رساندن احتمال توقف آن هم در سه راهه و هم در طول مسیر می‌باشد.

فهرست منابع

- ۱- کاوه، رضا و همکاران، شبیه سازی جریان سیال اطراف پیگ متحرک در لوله با استفاده از دینامیک سیالات محاسباتی، دو ماهنامه پژوهش نفت، سال ۲۶، شماره ۸۶، ۱۳۹۵
- ۲- Www.ioptc.ir
- ۳- نرم افزار چند رسانه ای دوره آموزشی آشنایی با شیر های صنعتی، اداره کل آموزش و تجهیز منابع انسانی شرکت ملی صنایع پتروشیمی
- ۴- Www.petrosafe.in/pigging.html
- ۵ - حیدرزاده، مهدی، دینامیک سیالات محاسباتی کاربردی با ANSYS Fluent، دانشگاهی کیان، تهران، چاپ اول، ۱۳۹۴
- ۶- Booklets Didactic of training Pigging I.O.P.T.C.
- ۷ - دانش مسلک، اشکان، مقدمه ای بر پیگرانی خطوط لوله، تهران، هامش با همکاری نشریه خطوط لوله نفت و گاز، چاپ اول، ۱۳۹۶
- ۸ - رجب، شیرازی، مروری بر شیرهای مورد نیاز در صنعت نفت و استاندارد API ۶D، نورنگ، تهران، چاپ اول، مهر ۱۳۹۱
- ۹- شرکت مهندسی قدس نیرو، برنامه آموزش خط لوله گازترش پنجم سراسری، فصل ایمنی و عملیات پیگرانی، شهریور ۱۳۸۸
- ۱۰- جعفری جوزانی، یاسر [و دیگران] ، محاسبات سرانگشتی خط لوله جلد اول، تهران، کیان، چاپ دوم، ۱۳۸۷
- ۱۱- موحدی، محمد، جزوی پیگرانی، شرکت ملی گاز ایران، مرداد ۱۳۹۴
- ۱۲- جعفری جوزانی، یاسر [و دیگران] ، مدیریت طراحی و اجرای پروژه های خطوط لوله جلد دوم فصل پانزدهم ، عملیات Pigging و شناسائی خرابی در خطوط لوله ، تهران ، چاپ اول ، ۱۳۹۵
- ۱۳- Jay G. Doshi, ((Pigging and Its Techniques)), International Journal of Humanities and Applied Sciences (IJHAS) Vol. ۰, No. ۲, ۲۰۱۶ ISSN ۲۲۷۷ – ۴۳۸۶
- ۱۴- دکتروطنی، علی وربانی، آرش، پیگرانی هوشمند (مشکلات عملیاتی خطوط لوله انتقال نفت و گاز و راهکارهای عملی برای رفع آن)، انتشارات سازمان جهاد دانشگاهی، چاپ اول، تابستان ۱۳۹۴
- ۱۵ - T.D. Williamson, Inc. is ISO ۹۰۰۱ Certified.((Guide to Pigging))
- ۱۶ - Www. smartpigs.net
- ۱۷ - Www.inpipeproducts.com/product/leak-detection-pigs/
- ۱۸ - Douglas Combe & David Hair, ((Problems with Operational Pigging in Low Flow Oil Pipelines)), the SPE Offshore Europe Oil and Gas Conference and Exhibition held in Aberdeen, UK, ۶–۸ September ۲۰۱۱.

- ۱۹ - Robert Davidson & Thomas Redares, ((Pigging for Flow Assurance in Oil and Gas Pipelines)), Offshore World, ۲۲ April - May ۲۰۱۵
- ۲۰ - Liu, Henry, ((Pipeline engineering)), the Taylor & Francis e-Library, ۲۰۰۰.
- ۲۱-Victor C.G.Freitas Et al, PIG Detection with Pressure Transducers, Vol.۵, Issue۹, September ۲۰۱۶
- ۲۲- سلیمانی دیلمانی، کاوه، اصول طراحی P.F.D. P & I.D مجتمع فنی عالی نوین پارسیان.
- ۲۳- <http://rahandazi.mihanblog.com/post/۳۱>
- ۲۴- جعفری جوزانی، یاسر[ودیگران]، مدیریت طراحی و اجرای پروژه های خطوط لوله جلد اول، کیان، چاپ اول، ۱۳۹۵.
- ۲۵- شیخ زاده، بیژن، جزو پیگ و پیگرانی، آموزش نیروی انسانی شرکت ملی گاز ایران، ۱۳۷۸.
- ۲۶- اکبرزاده عمران، سعید، مدرس دوره های حین خدمت و ناظر و عضو کارگروه تخصصی توپک هوشمند شرکت ملی گاز ایران و مسئول پژوهش و فناوری منطقه ۹ عملیات انتقال گاز، جزو پیگرانی در خطوط لوله.
- ۲۷ - A. denHeijer Et Frictional behaviour of pigs in motion part ۲ & ۳ April ۲۵, ۲۰۱۶
- ۲۸ - اچ.شمز، اروینگ، مکانیک سیالات، فصل ششم، نوپردازان، تهران، چاپ یازدهم، زمستان ۱۳۸۶.
- ۲۹ - موحدی، محمد حسن، اصول اندازه گیری جريان سیالات، شرکت آسیا ابزار دقیق، آبنوس، چاپ دوم، زمستان ۱۳۹۱.
- ۳۰ - چالکش امیری، محمد، اصول مکانیک سیالات، اصفهان، ارکان دانش، چاپ اول زمستان ۱۳۸۹.
- ۳۱ - م. وايت، فرانک، مکانیک سیالات، فصل ششم، جهان فردا، مشهد، چاپ اول، زمستان ۱۳۸۶.
- ۳۲ - ملکی نژاد، حسین، هیدرولیک جريان در خطوط لوله (پمپ ها، شیر ها، کاویتاسیون، ناپایداری)، سازمان انتشارات جهاد دانشگاهی، چاپ اول، ۱۳۸۹.
- ۳۳ - [Www.valvemart.ir](http://www.valvemart.ir)
- ۳۴ - <https://my.all.biz/through-conduit-gate-valve-mv7-g33100>
- ۳۵ - [Www.dictionary.abadis.ir](http://www.dictionary.abadis.ir)
- ۳۶ - [Www.oildoc.ir](http://www.oildoc.ir)
- ۳۷ - [Www.quizlet.com](http://www.quizlet.com)
- ۳۸ - [Www.pipingguide.net](http://www.pipingguide.net)
- ۳۹ - روحانی، احمد، انتقال مایعات و طراحی خطوط مایع، بنیاد فرهنگی رضوی، مشهد، فصل شیرآلات و اتصالات، چاپ اول، ۱۳۷۲.
- ۴۰-[Www.industrialvalvestore.com](http://www.industrialvalvestore.com)
- ۴۱ - سازمان مدیریت و برنامه ریزی، معاونت امور فنی، مشخصات فنی عمومی کارهای خطوط لوله آب و فاضلاب شهری، شماره ۳۰۳، ۱۳۸۴.
- ۴۲-[Www.karoonkhozestan.com](http://www.karoonkhozestan.com)
- ۴۳ - جعفری جوزانی، یاسر، محاسبات سرانگشتی خط لوله جلد سوم، تهران، واژگان، چاپ اول، ۱۳۸۷.
- ۴۴ - Y. Nakayama and R. F. Boucher, ((introduction to Fluid Mechanics)), Japan, ۱۹۹۹
- ۴۵ - گروه مؤلفان، مکانیک سیالات و هیدرولیک جلد دوم، فصل ششم، سازمان سنجش و اموزش کشور، تهران، چاپ اول، خرداد ۱۳۹۱.

۴۶ - اکبر زاده عمران، سعید، ناظر و عضو کارگروه تخصصی پیگ هوشمند شرکت ملی گاز، جزوه تکنولوژی پیگرانی در خط لوله .

۴۷ - Aidan O'Donoghue, ((Why pigs get stuck and how to avoid it)), Pipeline Research Limited, Glasgow, UK

۴۸ - فاکس، رابرت دبليو، مقدمه اى بر مكаниك سيارات، فصل هشتم، نشر كتاب دانشگاهى، تهران، چاپ دهم، ۱۳۸۶.

پیوست ها

پیوست الف

حجم مواد در هر کیلو متر از خط ۲۶ اینچ مذکور عبارتست از:

$$ID = OD - (2 \times \text{wall})$$

$$ID = ۲۷" - (2 \times .۳۷۴") = ۲۵/۲۵۱" = ۰/۶۴۱۴ m$$

یا:

$$V = A \times L$$

$$V = m^r = ۰/۳۲۳ \text{ litre}$$

به طور تقریبی این مقدار حجم چنین محاسبه می شود:

$$V = \frac{\pi D^3}{4}$$

$$V = \frac{(251/25)^3}{4} = ۳۱۹ \text{ litre}$$

پیوست ب

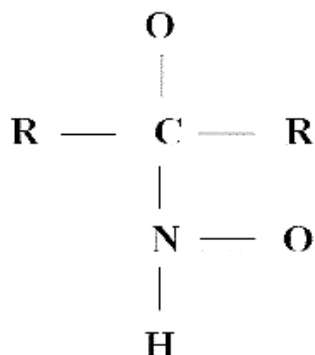
عایق پلی اورتان

لاستیک‌ها نوعی پلیمر^۱ با خاصیت ارتجاعی و کشسانی تا چند برابر طول اولیه هستند و از انواع آنها مانند: نوپرین^۲، نیتریل^۳، اتیلن پروپیلن دایان مونومر^۴، ویتون^۵، پلی اورتان^۶ در ساخت کلاهک و صفحات آب بندی^۷ و تیغه‌ها^۸ در صنایع پیگ سازی استفاده می‌شود که پلی اورتان بیشترین کاربرد را داشته و متنوع ترین نوع مواد مصنوعی بشمار می‌آید.

نام تجاری	نام علمی	چگالی (g/cm³)	استحکام کششی (MPa)	ازدیاد طول نسبی (%)	درجه حرارت مجاز (C)	فرمول
پلی اورتان	پلی اتر اورتان (EU) (Polyether urethane) پلی استر اورتان (AU) (Polyester urethane)	۱/۰۵ ۱/۲۳	۶۰ ۷۰	۶۵۰ ۷۵۰	-۳۰ ۸۰	$\begin{array}{c} \text{O} \quad \text{O} \\ \quad \\ -\text{O}-\text{C}-\text{N}-\text{C}_6\text{H}_5-\text{N}-\text{C}-\text{CH}_2-\text{CH}_2- \\ \quad \\ \text{H} \quad \text{H} \end{array}$

جدول (ب-۱) خصوصیات پلی اورتان ها

تولید پلی اورتان ها به صورت الیافی^۹ و به هم چسبیده^{۱۰} است و چون در ترکیب زنجیره مولکولی آنها حلقه زنجیره اورتان^{۱۱} وجود دارد به این نام خوانده می‌شوند. با توجه به قابلیت عالی ذخیره سازی انرژی در استومرها، دارای خاصیت بازگشت پذیری^{۱۲} هستند.

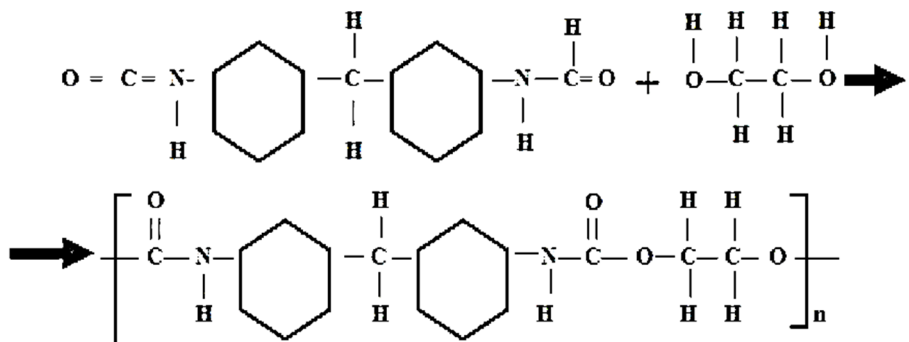


شکل (ب-۱) حلقه زنجیره اورتان در پلی اورتان

^۱ Polymer
^۲ Neoprene
^۳ Nitrile
^۴ EPDM
^۵ Viton
^۶ Polyurethane
^۷ Cups and Disks
^۸ Blades
^۹ Fiber
^{۱۰} Adhesive
^{۱۱} Urethane
^{۱۲} Elastomeric

پلی اورتان (ترکیب دی ایزو سیانیت^۱ با دی الکل^۲) با نیدروژن بسیار بلوری^۳ و اکنش داده و برای ایجاد خواص مطلوب در برخی از قطعات دو پلی مری^۴ با ترکیب پلی مرآن با پلی مرهای لاستیکی نرم، قطعه‌ای با خواص لاستیک ترمومولاستیک^۵ تولید می‌شود.

4,4 di Isocyanate di Phenyl Methane Ethylene Glycol



شکل (ب-۲) ساختار پلی اورتان

مزایا:

- نسبت ۱ به ۵۰ مقاومت سایشی^۶ در قطعات با پوشش پلی اورتان و مقاومت عالی در برابر اکسیژن، ازن، نورخورشید و شرائط عمومی آب و هوایی
- مناسب برای ساخت تسمه های گردان^۷، پوشش غلطک ها^۸، نشت گیرها^۹، اتصالات پرقدرت^{۱۰}، وصله های جذب شوک^{۱۱} و پوشش کابل الکتریکی محدودیت ها و راهکارها:
- کنترل انتشار گازهای کلرو فلورو کربن^{۱۲} به عنوان عامل اسفنج ساز^{۱۳} در صنایع پلی اورتان با مواد جایگزین دیگری مانند هیدروکلروفلوروکربن^{۱۴} در اکثر روش های تولید
- اثرات زیست محیطی دور ریز آشغال های اسفنج پلی اورتان بر روی اکوسیستم
- کاهش آتش گیری با افزودن برخی مواد به عایق پلی اورتان (۱۱)

^۱ Di-isocyanate

^۲ Di-alcohols

^۳ Crystalline

^۴ Copolymer

^۵ Thermoplastic Elastomers

^۶ Wear Resistance

^۷ Drive Belts

^۸ Roller Covers

^۹ Gaskets

^{۱۰} Heavy Duty Couplings

^{۱۱} Shock Pads

^{۱۲} CFC

^{۱۳} Blowing Agents

^{۱۴} HCFC

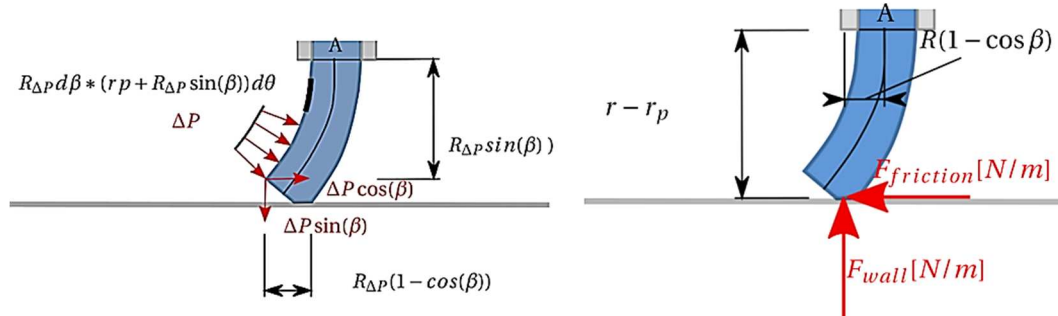
پیوست ج

نیروهای خارجی

مولفه های نیروهای خارجی ناشی از افت فشار بر روی آب بند پیگ:

$$x = \Delta P \sin(\beta) \quad (\text{موازی با نیروی دیواره})$$

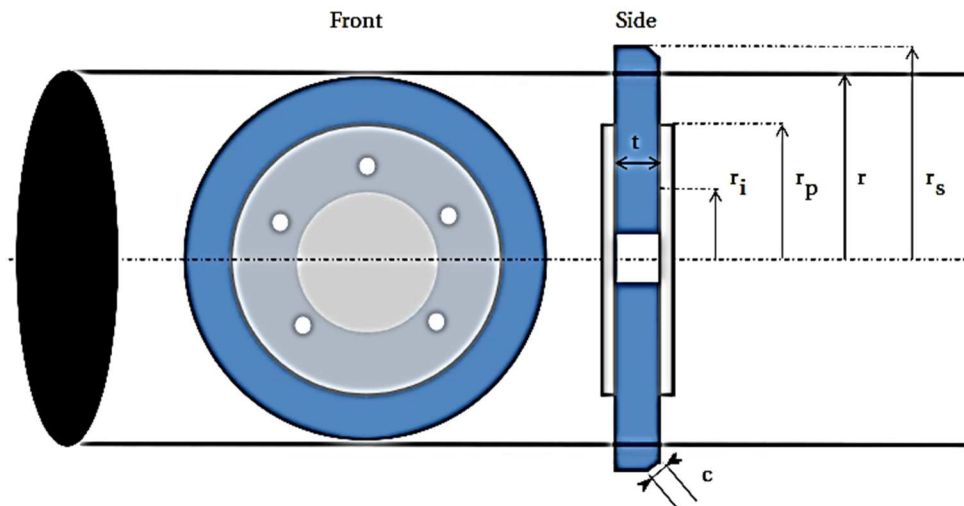
$$y = \Delta P \cos(\beta) \quad (\text{موازی با نیروی اصطکاک})$$



شکل (ج-1) نیروهای خارجی و فشاری ایجاد شده به طور لحظه ای

ضریب اصطکاک عبارتست از:

$$\mu = \frac{F_{friction}}{F_{wall}} \quad (ج)$$



شکل (ج-2) شعاع ها و ضخامت کاپ

مومنتوم دیواره و اصطکاک برای راست با حاصل ضرب نیروی هر کدام در بازوی مماس در آنها:

$$M_w = F_{wall} \left(R(1 - \cos(\beta)) - \frac{t \cos \beta}{2} \right) rd\theta \quad (ج-2)$$

$$M_f = F_{friction}(r - r_p) rd\theta \quad (ج-3)$$

$$dA = R_{\Delta P} d\beta \times \left(r_p + (R - t/2) \cos(\beta) \right) \quad (ج-4)$$

ضخامت کاپ، $t - r_p$ (شعاع اصطکاکی) و dA ناحیه بینهایت کوچک سطح آب بند است.

مُؤلفه‌های نیروهای فشاری بر روی آب‌بند پیگ:

$$x = R_{\Delta P} \times (1 - \cos(\beta))$$

$$y = R_{\Delta P} \sin(\beta)$$

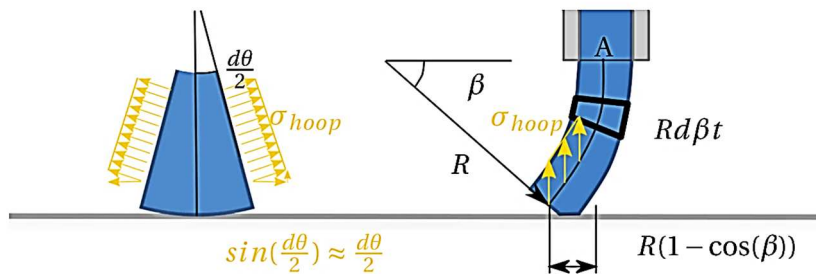
در هر لحظه مومنتوم فشاری با توجه به مُؤلفه‌ها واژیکارجه کردن β بدست می‌آید:

$$M_{\Delta P} = \Delta P R^r \Delta P d\theta = \left(\frac{R_{\Delta P} \beta}{2} + r_p \times (1 - \cos(\beta)) \right) \quad (ج-5)$$

نیروهای داخلی

مومنتوم اینرسی^۱ در اطراف نقطه A می‌تواند محاسبه شود:

$$M_c = \left(\frac{E}{R} \right) I = \frac{Et^r r_p d\theta}{2\pi R} \quad \text{و} \quad I = \int_0^{t/r} y^r dy r_p d\theta = \frac{t^r r_p d\theta}{2\pi} \quad (ج-6)$$



شکل (ج-۳) مومنتوم فشردگی درجهت μ یا M_μ

همراه با خم، آب‌بند درجهت μ فشرده می‌شود. هنگامی که فقط اجزای μ و r به دست می‌آید این تنש موسوم به تنش حلقوی است:

$$\sigma_\theta = \frac{E}{1-\nu} (\epsilon_\theta + \nu \epsilon_r) \quad (ج-7)$$

کرنش محوری و ϵ_r کرنششعاعی است.

$$\epsilon_\theta = \frac{\text{کرنش بعد از تغییرات}}{\text{کرنش قبل از تغییرات}} = \frac{\pi(\beta R + r_p) - \pi(R \sin(\beta) + r_p)}{\pi(\beta R + r_i)} = \frac{\beta - \sin(\beta)}{\beta + r_p/R} \quad (ج-8)$$

نیرو با استفاده از $\sin \theta \approx d\theta$ به صورت ذیل بدست می‌آید:

$$dA = R t d\beta d\theta \quad \text{و} \quad dFd\theta = \frac{E}{1-\nu} \frac{\beta - \sin(\beta)}{\beta + r_p/R} dA \quad (ج-9)$$

اگر $dFd\theta(1 - \cos(\beta)) = dM$ باشد در نتیجه:

$$dM = \frac{E}{1-\nu} \frac{\beta - \sin(\beta)}{\beta + r_p/R} R t (1 - \cos(\beta)) d\beta d\theta \quad (ج-10)$$

پس:

$$M_\theta = \frac{Ed\theta R t}{1-\nu} \int_{\beta}^{\beta} \frac{\beta - \sin(\beta)}{\beta + r_p/R} (1 - \cos(\beta)) d\beta d\theta \quad (ج-11)$$

زیرا $M_\theta = \int_{\beta}^{\beta} dF (1 - \cos(\beta)) d\theta$ است. (۲۷)

^۱ $M_{compressive}$ Or M_c

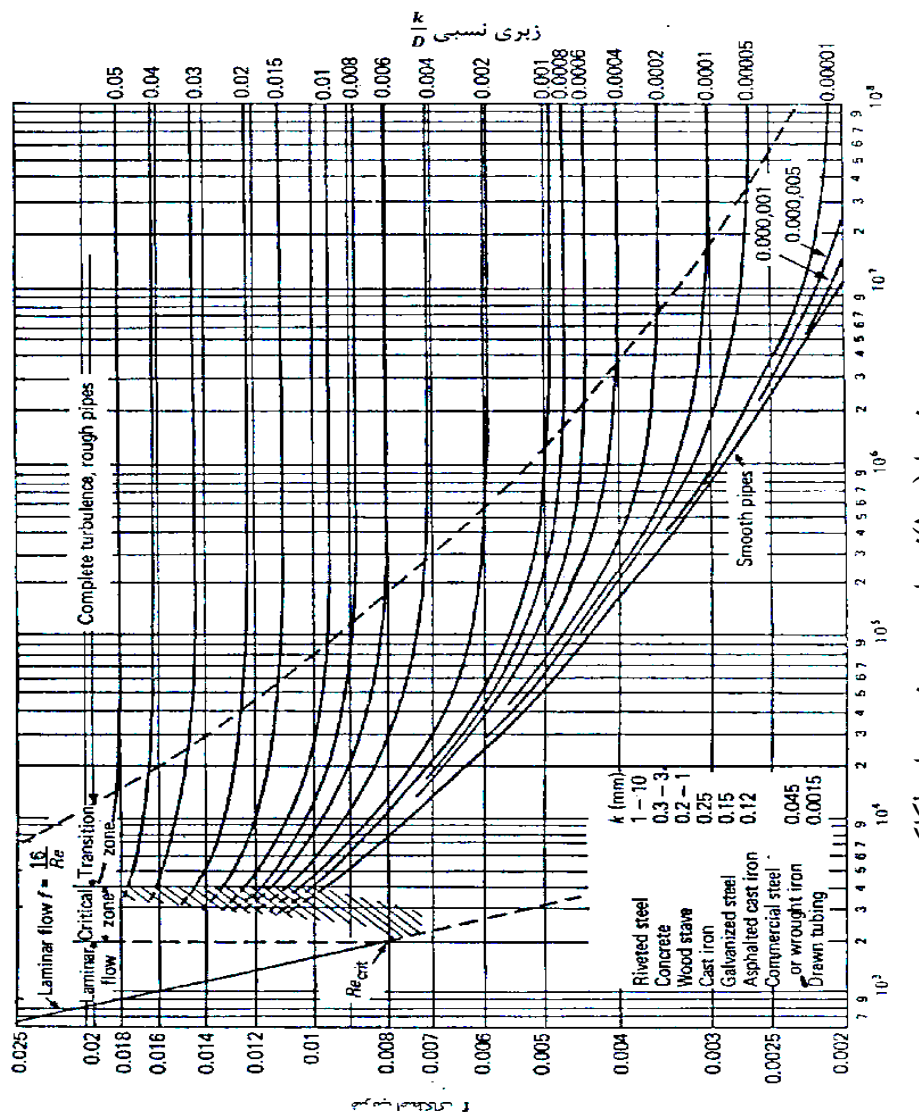
پیوست ۵

نمودار مودی

نمودار مودی متداول ترین روش یافتن ضریب اصطکاک است که از امتداد محل برخورد مقدار زیری نسبی (پارامتر سنجش ناهمواری و ناصافی سطح) و Re ، به قسمت چه نمودار بدهست می‌آید. در جریان لایه‌ای زیری نسبی بی‌اثر است و براساس جنس لوله از جدول خوانده می‌شود که با افزایش آن، ضریب اصطکاک [علاوه بر مستقل شدن از شرائط لوله] افزایش می‌یابد و نیز ضریب اصطکاک طبق رابطه $\frac{f}{Re} = \frac{L}{D} \frac{U^2}{g}$ فقط به Re وابسته بوده ولی در حالت آشفته این شرائط برقرار نیست.

ضریب اصطکاک فانینگ به صورت $f = \frac{h_f}{\frac{L}{D} \frac{U^2}{g}}$ و ضریب اصطکاک دارسی یک چهارم این

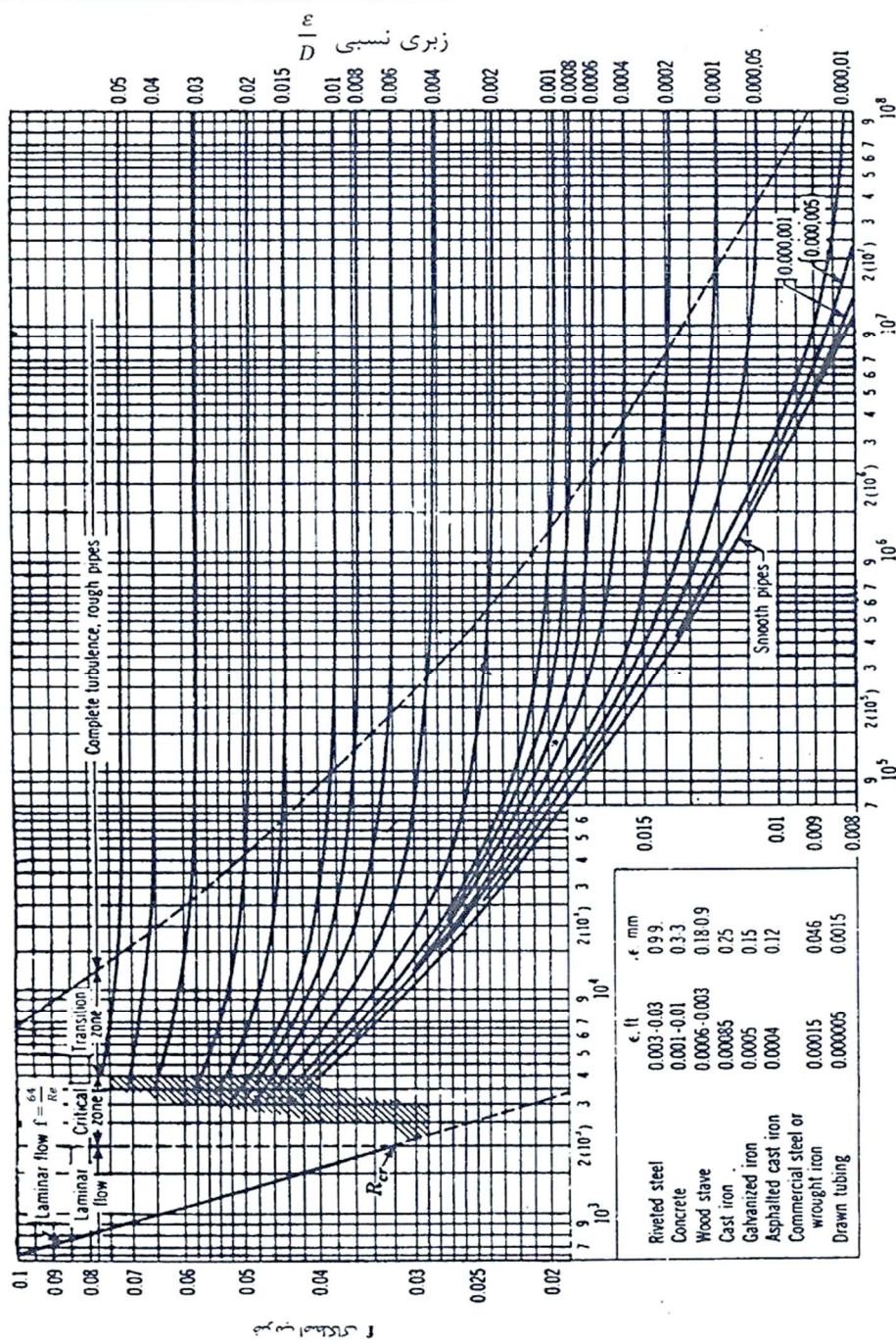
مقدار است. (۳۰)



نمودار (د-) نمودار مودی و ضریب اصطکاک

نمودار (د-۱) نمودار مودی و ضریب اصطکاکی دارسی

$$Re = \frac{\rho V D}{\mu}$$



پیوست ذ

آشنائی با برخی معادلات افت فشار خطوط لوله نفت و مشتقان آن

$$\Delta P = \frac{f s Q^2}{d^4} , \quad \left(\frac{\text{psi}}{\text{mile}} \right) = \frac{\text{bbl/day}}{\text{in}}$$

نوع جریان	ضریب اصطکاک [f]	عدد رینولدز اصلاح شده [r]
جریان ویسکوز (آرام)	$0.00207 \times \left(\frac{L}{r}\right)$	$\frac{Re}{7,742} \rightarrow r \left[0.0119 \times \left(\frac{Q}{d \times v}\right) \right]$ $1 < r < 0.135$ جریان آشفته (درهم) $r > 0.4$ جریان میانی (گذر) $0.135 < r < 0.4$
جریان آشفته (درهم)	$0.0018 + 0.00662 \times \left(\frac{L}{r}\right)^{0.355}$	
جریان میانی (گذر)	$0.0018 + 0.00662 \times \left(\frac{L}{r}\right)^{0.355}$	
$\Delta P = \left[\frac{B \times Z^{1.14} \times S^{0.48}}{0.871 \times K \times d^{2.656}} \right]^{1.812}$ & $B = \frac{0.871 \times K \left(\frac{1}{Z^{1.14}} \right) (\Delta P^{0.552} d^{0.956})}{S^{0.48}}$		T.R. Aude. Equ.
$Q = 0.1692 \left(\frac{d^5 \times P}{S} \right)^{0.5} \left[\log \left(\frac{d^5 \times S \times \Delta P}{Z^4} \right) + 4.35 \right]$		Benjamin miller Equ.
توضیحات		
$Z = \text{مطلق} \times \text{سینماتیکی} = \text{ویسکوزیته} / \text{استوکس}$ $K = \text{ضریب بازده}$		
ΔP (psi/mile)	Q (bbl/day)	B (bbl/hr)
		d (in)

جدول (ذ-۱) روابط افت فشار کاربردی در خطوط لوله و مشتقان آن (۴۳)

پیوست ر

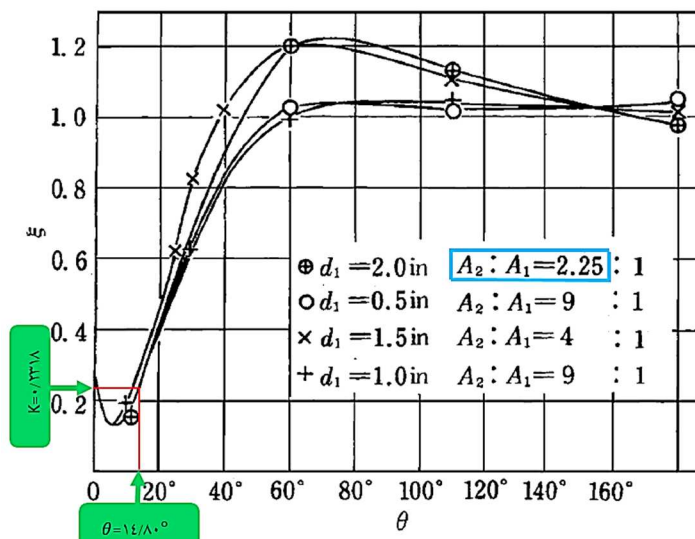
اتصالات و افت فشار جریان مایع آشفته ($\Delta P_{\text{..}}(h_f)$) در فرایند پیگرانی

محاسبه k (ضریب مقاومت شیرآلات و اتصالات):

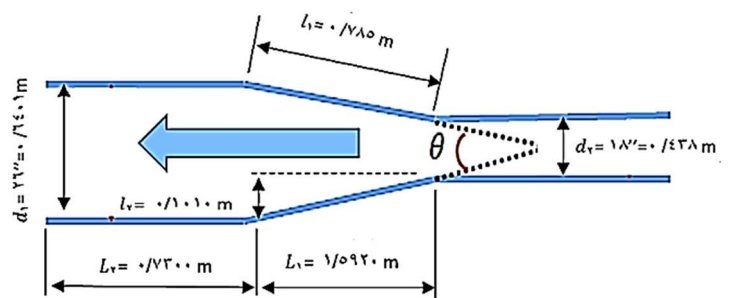
: K_{diff} تعیین

روش اول (از نمودار ۳-۵):

$$\frac{A_2}{A_1} = \left(\frac{ID_{18''}}{ID_{11''}}\right)^2 = \left(\frac{1.7413}{1.4445}\right)^2 \cong 2/0.815 \quad \theta = 14/80^\circ$$

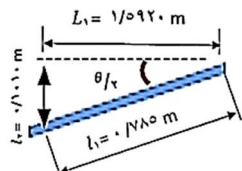


روش دوم:



$$\sin \theta = \frac{d_2 - d_1}{l_1} = \frac{1.8 - 1.8}{1.1} = 0/1.1 = 0/12.87$$

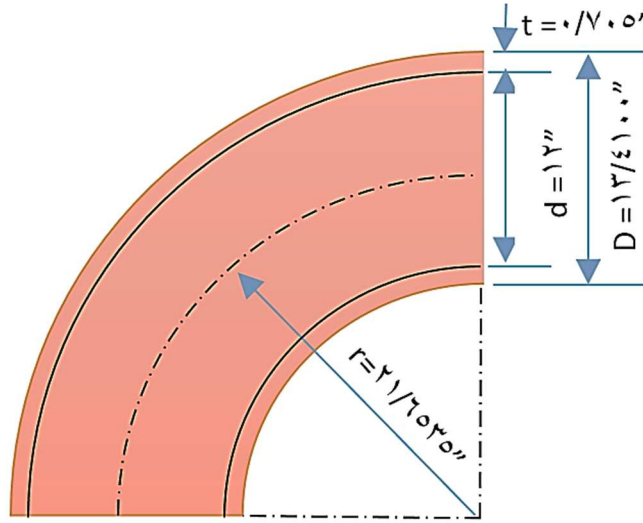
$$\theta = \text{ArcSin} \frac{l_1}{R} = 0/12.87 = 0/8.0^\circ \rightarrow \theta = 14/80^\circ$$



شکل (ر-۱) یافتن زاویه θ برای کاهنده

$$\text{If } \theta \leq 45^\circ \rightarrow K_{\text{diff}} = \frac{k_1}{\beta^{\epsilon}} = \frac{1/\epsilon(\sin \theta / \gamma) \left(1 - \frac{d_2}{d_1}\right)}{\left(\frac{d_2}{d_1}\right)^{\epsilon}} = \frac{1/\epsilon(1/12.87) [1 - (1.8/1.8)^2]}{(1.8/1.8)^{\epsilon}} = 0.2318$$

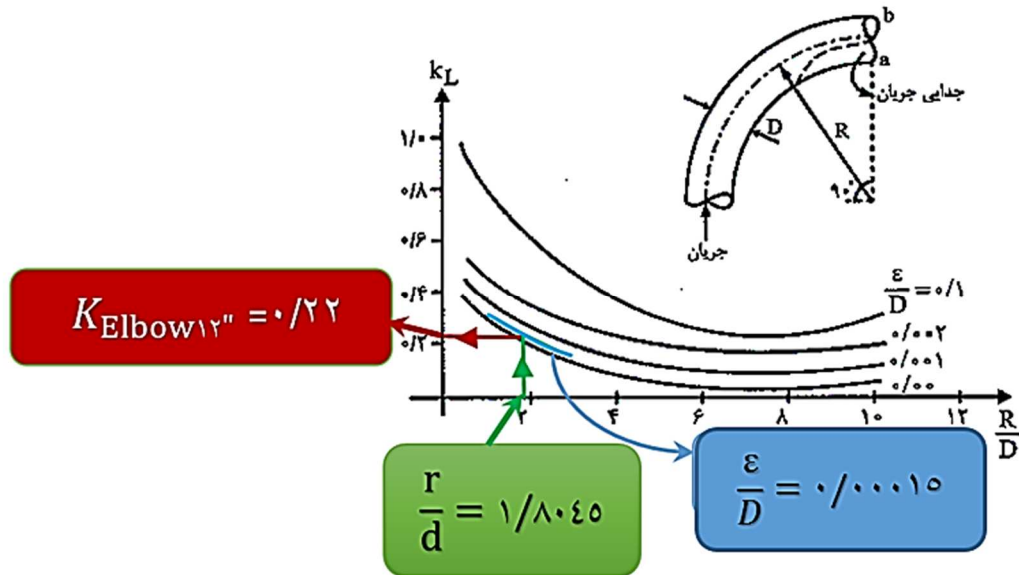
تعیین $K_{\text{Elbow} 12''}$



شکل (ر-۲) مشخصات زانوی ۱۲ اینچ

از شکل (ر-۲) و جدول (ر-۳) مقادیر $\frac{r}{d}$ و $\frac{\epsilon}{D}$ برای زانوی ۱۲ اینچ به ترتیب 0.00015 و 0.0045

بدست می آید که در نتیجه از نمودار (ر-۴) ضریب افت جریان زانویی 0.22 قرائت می گردد:



تعیین $K_{\text{Gate Valve} 11''}$ و $K_{\text{Gate Valve} 18''}$ و $K_{\text{Gate Valve} 12''}$ و $K_{\text{Gate Valve} 18''}$ (10% open)

If $\beta = 1$, $\theta = 90^\circ \rightarrow$ For Gate Valve $K_1 = \lambda f_T$

$$\left. \begin{array}{l}
 2'' = 0.019 \rightarrow K_{\text{Gate Valve} 18''} \text{ (10% open)} = K_1 = 0.152 \\
 12'' = 0.0130 \rightarrow K_{\text{Gate Valve} 12''} = 0.1040 \\
 18'' = 0.0120 \rightarrow K_{\text{Gate Valve} 18''} = 0.0960 \\
 26'' = 0.011 \rightarrow K_{\text{Gate Valve} 26''} = 0.0880
 \end{array} \right\} (f_T) \text{ For Normal Size}$$

تعیین $K_{Tee\text{ ۱۱"}}$:

$$(\text{Flow thru run}) K_{K_{Tee\text{ ۱۱" }}} = 2 \cdot f_T = 20 \times 0/0110 = 0/2200$$

محاسبه K_{Total} و h_f (بر حسب ft) برای حالت‌های مختلف فرایند پیگرانی:

$$h_f = K_{\text{Total}} \frac{v^2}{2g}$$

$$K_{\text{Total}} = K_{\text{diff}} + K_{\text{Gate Valve ۱۲" اینچ}} + K_{\text{Gate Valve ۱۸" }} + K_{\text{Gate Valve ۲۱" }} + K_{\text{Tee}} + \\ K_{\text{Gate Valve ۱۸" (۱۰% open)}} + K_{\text{Elbow ۱۲" }}$$

$$K_{\text{Total}} = 0/2318 + 0/1040 + 0/0880 + 0/2200 + 0/2200 = 0/8637$$

$$v_1 = 1/7400 m/s = 5/70.87 ft/s \rightarrow h_{f1} = K_{\text{Total}} \frac{v_1^2}{2g} = 0/4370$$

$$K_{\text{Total}} = 0/2318 + 0/1040 + 0/0880 + 0/2200 + 0/1520 + 0/2200 = 1/0158$$

$$v_2 = 1/7400 m/s = 5/70.87 ft/s \rightarrow h_{f2} = K_{\text{Total}} \frac{v_2^2}{2g} = 0/5140$$

$$K_{\text{Total}} = K_{\text{Total}} = K_{\text{Total}} = 0/2318 + 0/0960 + 0/2200 + 0/2200 = 0/7678$$

$$v_3 = 1/4223 m/s = 4/6686 ft/s \rightarrow h_{f3} = K_{\text{Total}} \frac{v_3^2}{2g} = 0/2600$$

$$v_4 = 1/8030 m/s = 5/9104 ft/s \rightarrow h_{f4} = K_{\text{Total}} \frac{v_4^2}{2g} = 0/4172$$

$$v_5 = 1/5410 m/s = 5/0558 ft/s \rightarrow h_{f5} = K_{\text{Total}} \frac{v_5^2}{2g} = 0/3047$$

با توجه به مقادیر k برای شیرآلات، اتصالات فرایند پیگرانی و قطر مربوط به آنها از نمودار (ر-۱)، طول‌های معادل L ، نسبت L/D استخراج می‌شود:

$$K_{\text{diff}} = 0/2318 \rightarrow \frac{L}{D} = 20 \text{ و } L = 43 ft$$

$$K_{\text{Gate Valve ۱۲" }} = 0/1040 \rightarrow \frac{L}{D} = 8 \text{ و } L = 8 ft$$

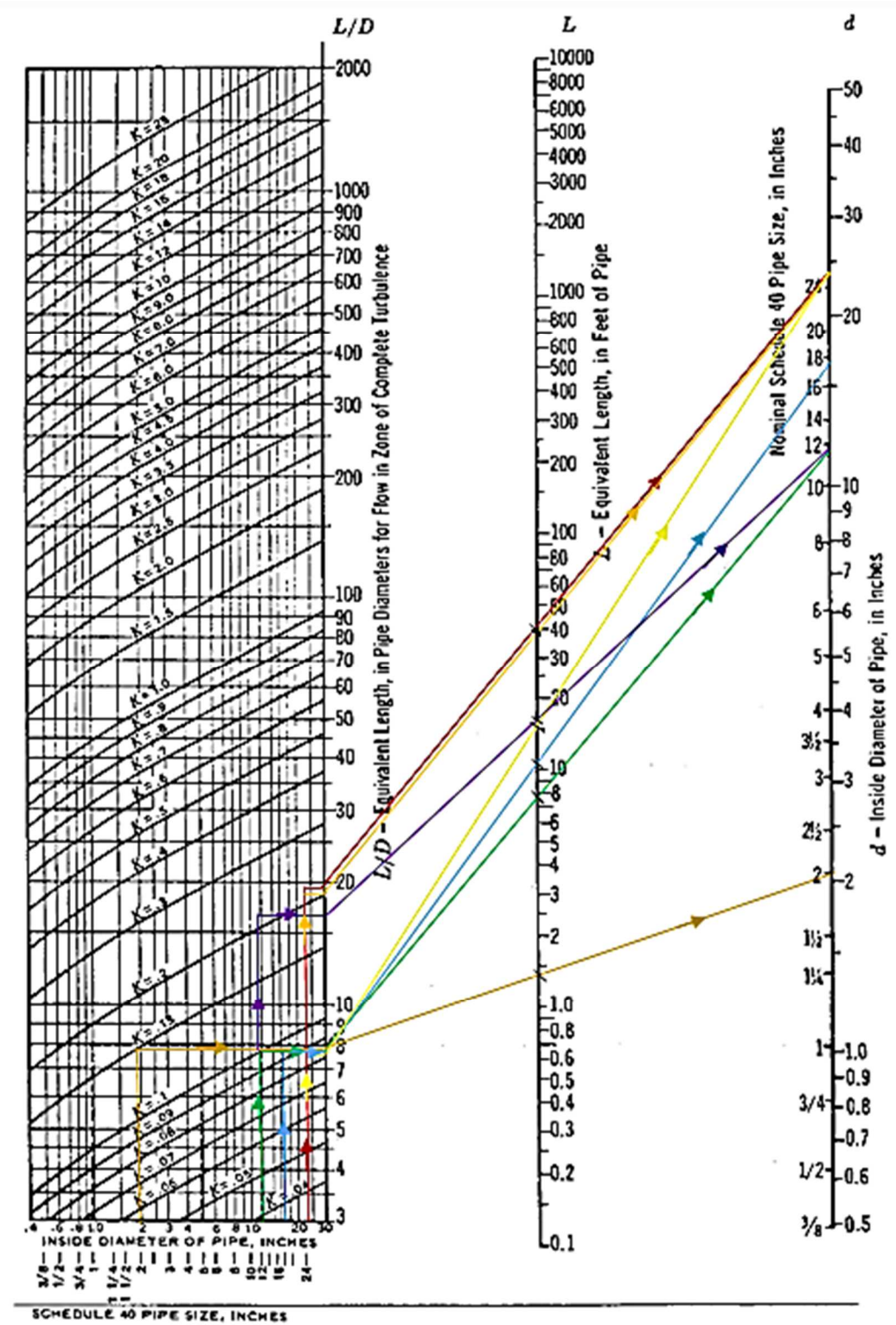
$$K_{\text{Gate Valve ۱۸" }} = 0/0960 \rightarrow \frac{L}{D} = 7/8 \text{ و } L = 12 ft$$

$$K_{\text{Gate Valve ۲۱" }} = 0/0880 \rightarrow \frac{L}{D} = 7/7 \text{ و } L = 16 ft$$

$$K_{\text{Gate Valve ۱۸" (۱۰% open)}} = K_2 = 0/1520 \rightarrow \frac{L}{D} = 8 \text{ و } L = 15 ft$$

$$(\text{Flow thru run}) K_{K_{Tee\text{ ۱۱" }}} = 0/2200 \rightarrow \frac{L}{D} = 18 \text{ و } L = 18 ft$$

$$K_{\text{Elbow ۱۲" }} = 0/2200 \rightarrow \frac{L}{D} = 17/5 \text{ و } L = 17/5 ft$$



نمودار(ر-۱) طول های معادل L ، نسبت L/D و ضریب مقاومت K (۴۳)

روش دوم محاسبه طول معادل :

به خاطر شکل خاص اتصالات، افت فشار دقیق درون آنها به راحتی قابل محاسبه نیست. طول معادل برخی اتصالات که در صنعت بکار می‌رond در جدول (ر-۱) آورده شده است.

Fitting Type	Equivalent Length of pipe
90deg elbow	30D
60deg elbow	25D
45deg elbow	16D
45deg way	60D
Running tee	20D
Branch tee	50D
Gate valve ,full open	8D
Butterfly valve(4" to 14")	40D
Butterfly valve to $\geq 14"$	30D
Swing check valve	100D
Bull valve full bore full open	3D

جدول (ر-۱) طول معادل اتصالات (D = قطر داخلی)(۱۰)

$$L_{\text{Gate Valve } 12"} = \lambda D = 8 ft$$

$$L_{\text{Gate Valve } 18"} = \lambda D = 12 ft$$

$$L_{\text{Gate Valve } 26"} = \lambda D = 16/83 ft$$

$$L_{\text{Gate Valve } 18" (\text{10% open})} = K_v = \lambda D = 1/33 ft$$

$$L_{Tee} (\text{Flow thru run}) = 20 D = 41/68 ft$$

با یافتن ضریب اصطکاک ۰/۰۱۳۰ (ر-۲) از نمودار برای لوله‌های تجاری به قطر داخلی ۲۵۰/۲۵۰ اینچ،

مقدار افت فشار در هر صد فوت (ΔP_{100}) در حالت جریان آشفته با فرض وزن مخصوص $860 \frac{m^3}{kg}$

برای شرایط مختلف از نمودار (ز-۳) نتیجه می‌شود:

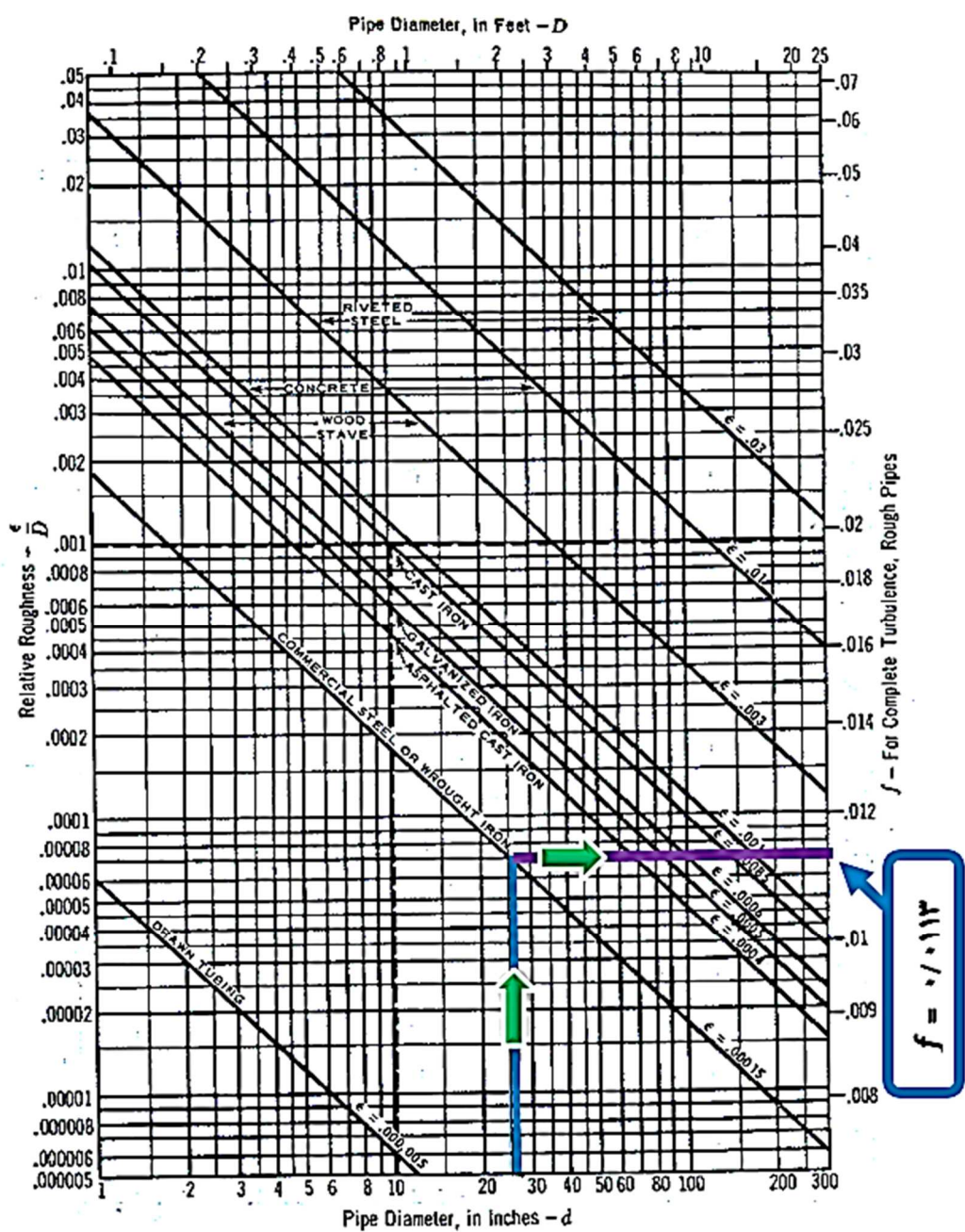
$$Q = 1440/5 \frac{m^3}{hr} = 288 \frac{\text{gallon}}{\text{min}} \longrightarrow \Delta P_{1..} = 0/050 psi$$

$$Q = 1752/9 \frac{m^3}{hr} = 194.67 \frac{\text{gallon}}{\text{min}} \longrightarrow \Delta P_{1..} = 0/071 psi$$

$$Q = 2222/8 \frac{m^3}{hr} = 277.75 \frac{\text{gallon}}{\text{min}} \longrightarrow \Delta P_{1..} = 0/115 psi$$

$$Q = 1968/7 \frac{m^3}{hr} = 281.14 \frac{\text{gallon}}{\text{min}} \longrightarrow \Delta P_{1..} = 0/091 psi$$

$$Q = 1861/10 \frac{m^3}{hr} = 186.1 \frac{\text{gallon}}{\text{min}} \longrightarrow \Delta P_{1..} = 0/087 psi$$



نمودار (ر-۲) زبری نسبی و ضریب اصطکاک لوله در جریان به طور کامل آشفته (۴۳)

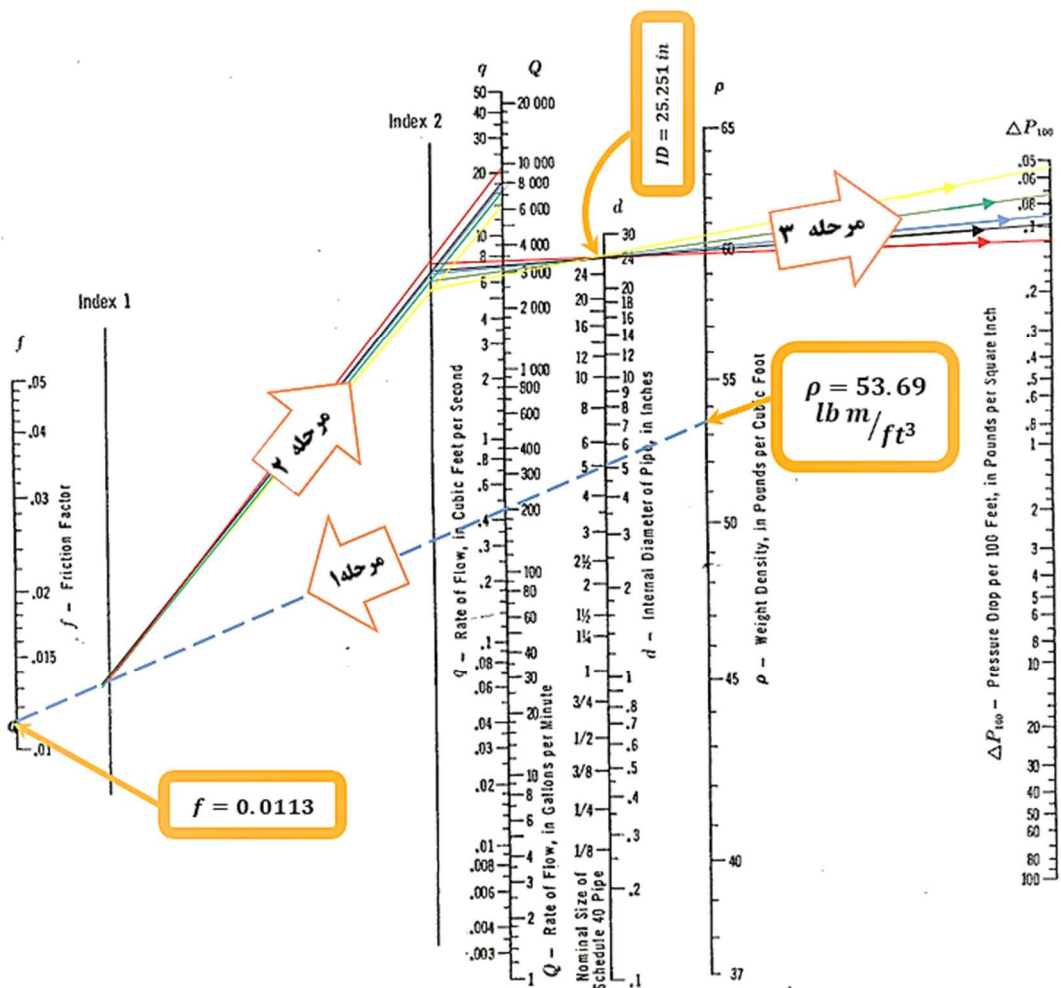
روش دوم یافتن ضریب اصطکاک:

ازبخش (۴-۶-۲-۲-۳):

$$(f_T) \text{ For Normal Size} = \begin{cases} 10'' = 0.0140 \\ 12-16'' = 0.0130 \\ 18-24'' = 0.0120 \end{cases}$$

$$f_T \text{ For } 26-32'' \cong 0.0110$$

با مقایسه اعداد بالا نتیجه می شود که :



نمودار (ر-۳) افت فشار خط لوله برای مایعات در جریان آشفته (۴۳)

پیوست ز

رابطه $S = \frac{m}{s} = (0/00081) Q \left(\frac{m}{hr} \right)$ که مقدار کل حجم خط لوله بین محل وقوع حادثه و مرکز انتقال نفت پائین دستی آن می باشد به روش های ذیل قابل اثبات است.

روش اول: از طریق رابطه پیوستگی

$$Q \left(\frac{m}{hr} \right) = S \left(\frac{m}{s} \right) \left(\frac{s}{hr} \right) \times \left[\frac{(ID)^2 \times \pi}{4} \right] (m^2) \quad (z-1)$$

$$S \left(\frac{m}{s} \right) = \frac{Q \left(\frac{m}{hr} \right) [\frac{1}{hr} \times sec]}{\left[\frac{(25/251 \times 2/54 \times 0.01)^2 \times \pi}{4} \right] (m^2)} = (0/00081) Q \left(\frac{m}{hr} \right)$$

روش دوم: از طریق رابطه سرعت پیگ در مایع (سیستم متريک)

$$S \left(\frac{m}{s} \right) = \frac{Q \left(\frac{litr}{min} \right)}{0.017 \times d^2 (mm^2)} \quad (z-2)$$

$$S \left(\frac{m}{s} \right) = \frac{Q \left(\frac{litr}{min} \times \frac{m}{litr} \times \frac{min}{hr} \times \frac{hr}{3600} \right)}{0.017 \times [(25/251 \times 2/54 \times 0.01)^2] (mm^2) \times \frac{1 - m}{mm^2}} = (0/00081) Q \left(\frac{m}{hr} \right)$$

روش سوم: از طریق رابطه سرعت براساس قطر داخلی ودبی

$$S \left(\frac{m}{s} \right) = \frac{\epsilon \times Q \left(\frac{m}{hr} \right)}{3600 \times \pi \times (ID)^2 (m^2)} \quad (z-3)$$

$$S \left(\frac{m}{s} \right) = \frac{\epsilon \times Q \left(\frac{m}{hr} \right)}{3600 \times \pi \times (25/251 \times 2/54 \times 0.01)^2 (m^2)} \cong (0/00081) Q \left(\frac{m}{hr} \right)$$

بیشینه سرعت سیال در خط ۲۶ اینچ بین محل وقوع حادثه و مرکز انتقال پائین دستی با تأثیر مستقیم مسافت بین دو مرکز [۱۳۸ km] مشخص می شود:

$$Q_1 = \frac{V}{24hr} = 1857/\sqrt{hr}$$

با توجه به رابطه (z-3):

$$S_1 = (0/00081) Q_1 = (0/00081)(1857/\sqrt{hr}) = 1/5047 \frac{m}{s}$$

سرعت متناظر با توجه به دبی قبل از گیر کردن پیگ ($Q_2 = 1753/9 \frac{m}{hr}$) عبارتست از:

$$S_2 = (0/00081) Q_2 = (0/00081)(1753/9) = 1/4208 \frac{m}{s}$$

در نتیجه:

$$S = \frac{S_1 + S_2}{2} = 1/4627 \frac{m}{s}$$

$$Q = \frac{Q_1 + Q_2}{2} = 1805/\sqrt{hr}$$

با دبی و سرعت بهینه اخیر می توان از توقف پیگ در تله جلوگیری نمود. (۴۳)(۱۱)

Abstract

Pigging guarantees durability and improvement of efficiency and span of pipelines, provides safety for neighboring communities and industries and an environmental protector in this transfer chain in accordance with the type of product shipped periodically with scheduling.

Unfortunately, contrary to the advantages mentioned, pig stalling is the main challenge stops the flow and imposes a large and unacceptable cost to the set, and with the achievement of operational and scientific results, its probability reaches zero.

In this research, the field information of the pigging incident was analyzed after collecting in the ANSYS FLUENT software. Subsequently, the output of the software with the prevailing conditions according to the principle of (maintaining standard steps of pigging) was overlapped in the mechanical framework, and ultimately, the latest outcomes have resulted in complete mechanical innovations as well as speed and flood optimization.

The software output was investigated in three stages and the 10% manifold side valve openness was introduced as the first solution. It was then equated with a 100% mechanical design (alternative track) to maintain the standard pigging requirements and to divide the force behind the pig's front cup. In the end, considering the actual flow and speed before and at the moment of stalling, a computational solution for optimal flow and speed was proposed.

Using the pipelines leading the flow line in the cylinder pig can be considered as a way to strengthen the thrust force behind the front cup and avoid suspension.

Using the nanosecond coating layer at the level of the cup that is in contact with the wall can significantly reduce the wear phenomenon in this common area and prevent the breakage of the pigment in the effect of abrasion friction.

Keywords:

Pigging, ThreeWay, Pig Motion Dynamic, pig get stuck, Fluid, Receiver, Launcher



Energy Institute for Higher Education
Faculty of Engineering
Department Of Mechanical Engineering - Energy Conversion
Thesis For
Degree of Master of Science (M. Sc)

Tittle:

Investigating Practical Solutions for Optimization of Pig Movement in a Fluidized Tubing to Prevent Pausing in the Three Way before Entering the Receiver Trap

Super visor:

Dr. Ahmad Gharib Garakani - Dr. Hossein Tamim

Advisor:

Dr. Heidar Maddah

By:

Fazel Ghamari

March 2018

